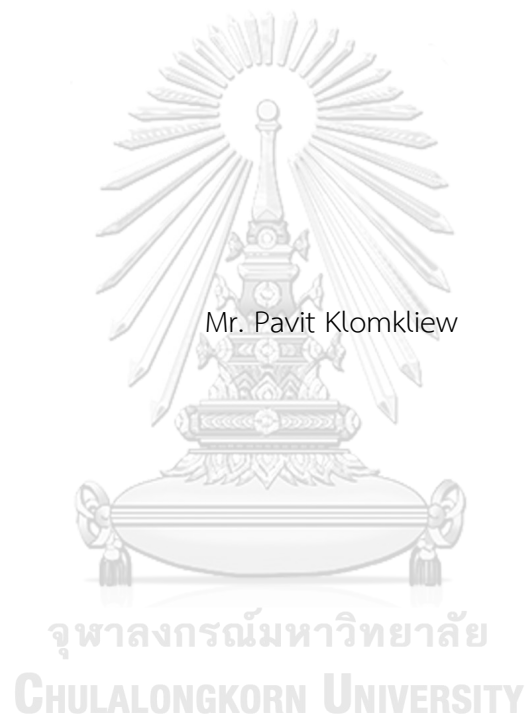


สังคมแบคทีเรียและเมแทบอลิซึมในทางเดินอาหารของหนอนพยาธิตัวกลม (*Ascaris lumbricoides*)  
ในผู้ป่วยไทย



วิทยานิพนธ์นี้เป็นส่วนหนึ่งของการศึกษาตามหลักสูตรปริญญาวิทยาศาสตรมหาบัณฑิต  
สาขาวิชาชีวสารสนเทศศาสตร์และชีววิทยาเชิงคอมพิวเตอร์ (สหสาขาวิชา) สหสาขาวิชาชีวสารสนเทศ  
ศาสตร์และชีววิทยาทางคอมพิวเตอร์  
บัณฑิตวิทยาลัย จุฬาลงกรณ์มหาวิทยาลัย  
ปีการศึกษา 2564  
ลิขสิทธิ์ของจุฬาลงกรณ์มหาวิทยาลัย

Gut Bacteriome and Metabolome of Large roundworm (*Ascaris lumbricoides*) in Thai patients



A Thesis Submitted in Partial Fulfillment of the Requirements  
for the Degree of Master of Science in Bioinformatics and Computational Biology  
Inter-Department of Bioinformatics and Computational Biology

GRADUATE SCHOOL

Chulalongkorn University

Academic Year 2021

Copyright of Chulalongkorn University

หัวข้อวิทยานิพนธ์	สังคมแบคทีเรียและเมแทบอลิซึมในทางเดินอาหารของ หนอนพยาธิตัวกลม ( <i>Ascaris lumbricoides</i> ) ในผู้ป่วยไทย
โดย	นายปวิช กลมเกลียว
สาขาวิชา	ชีวสารสนเทศศาสตร์และชีววิทยาเชิงคอมพิวเตอร์ (สห สาขาวิชา)
อาจารย์ที่ปรึกษาวิทยานิพนธ์หลัก	รองศาสตราจารย์ ดร.สัญญาชัย พยุงกร

---

บัณฑิตวิทยาลัย จุฬาลงกรณ์มหาวิทยาลัย อนุมัติให้บัณฑิตวิทยานิพนธ์ฉบับนี้เป็นส่วนหนึ่งของการศึกษาตามหลักสูตรปริญญาวิทยาศาสตรมหาบัณฑิต

.....	คณบดีบัณฑิตวิทยาลัย (รองศาสตราจารย์ ดร.ยุทธนา ฉัพพรรณรัตน์)
คณะกรรมการสอบวิทยานิพนธ์	.....
.....	ประธานกรรมการ (ศาสตราจารย์ ดร.ศุภจิตรา ชัชวาลย์)
.....	อาจารย์ที่ปรึกษาวิทยานิพนธ์หลัก (รองศาสตราจารย์ ดร.สัญญาชัย พยุงกร)
.....	กรรมการ (รองศาสตราจารย์ ดร.นราพร สมบูรณ์นะ)
.....	กรรมการภายนอกมหาวิทยาลัย (รองศาสตราจารย์ ดร.อรภัค เรียมทอง)



# # 6282026020 : MAJOR BIOINFORMATICS AND COMPUTATIONAL BIOLOGY

KEYWORD: *Ascaris lumbricoides*, Gut bacteriome, Metabolome, Next-generation sequencing (NGS), Ultra-high-performance liquid chromatography tandem mass spectrometry (UHPLC-MS)

Pavit Klomkiew : Gut Bacteriome and Metabolome of Large roundworm (*Ascaris lumbricoides*) in Thai patients. Advisor: Assoc. Prof. SUNCHAI PAYUNGPORN, Ph.D.

Ascariasis is an intestinal helminth infection caused by large roundworms (*Ascaris lumbricoides*), which is commonly found in developing countries and tends to increase resistance against anthelmintic treatment in humans. With current knowledge, the gut bacteriome contributes a fundamental role in host physiology and immunity. However, helminths and bacteria in guts share the same environment, and it is unclear how they interact. To further understand these complex interactions, the bacteriome in the gut of helminths and fecal samples of participants were analyzed by next-generation sequencing (NGS). Results showed that the ascariasis status was associated with the bacterial composition in the gut of helminths. Moreover, the metabolomes in the gut of helminths were characterized as metabolites based on ultra-high performance liquid chromatography-mass spectrometry (UHPLC-MS). Increasing levels of essential biomolecules including amino acids, lipids, and nucleotide precursors were observed in the helminths isolated from heavy infected patients, implying that these metabolites might be related to the production of helminth eggs and ascariasis pathogenicity. Interestingly, our findings are the first step to a better understanding of mechanisms by which bacteriome in the gut helminths may reveal novel and more effective approaches to the therapy of parasite disease.

Field of Study: Bioinformatics and Computational Biology Student's Signature .....

Academic Year: 2021 Advisor's Signature .....

## กิตติกรรมประกาศ

วิทยานิพนธ์ฉบับนี้สามารถสำเร็จลุล่วงไปได้ด้วยร่างกาย แรงใจ และความอนุเคราะห์จากผู้มีอุปการะคุณหลายฝ่ายที่คอยช่วยผลักดันให้เกิดความสำเร็จในการศึกษาครั้งนี้

ขอขอบพระคุณ รองศาสตราจารย์ ดร.สฤษฎ์ พยุงภร อาจารย์ที่ปรึกษาวิทยานิพนธ์ที่ให้ความรู้ และคำปรึกษาในการแก้ไขปัญหา ตลอดจนเป็นแรงผลักดันตลอดการศึกษานี้

ขอขอบพระคุณคณะกรรมการสอบวิทยานิพนธ์ ได้แก่ ศาสตราจารย์ ดร. ศุภจิตรา ชัชวาลย์ ประธานกรรมการสอบวิทยานิพนธ์ รองศาสตราจารย์ ดร.นราพร สมบูรณ์นะ กรรมการผู้ทรงคุณวุฒิภายในหลักสูตร และ รองศาสตราจารย์ ดร.อรภัค เรียมทอง กรรมการผู้ทรงคุณวุฒิภายนอกมหาวิทยาลัย ที่ให้คำแนะนำในการทำวิทยานิพนธ์นี้สมบูรณ์ครบถ้วน

ขอขอบพระคุณบัณฑิตวิทยาลัย จุฬาลงกรณ์มหาวิทยาลัย ที่เป็นผู้มอบทุนอุดหนุนการศึกษา ระดับบัณฑิตศึกษา จุฬาลงกรณ์มหาวิทยาลัย เพื่อเฉลิมฉลองวโรกาสที่พระบาทสมเด็จพระเจ้าอยู่หัวทรงเจริญพระชนมายุครบ 72 พรรษา ซึ่งเป็นผู้สนับสนุนทุนการศึกษา และค่าใช้จ่ายในการเรียนระดับมหาบัณฑิต

ขอขอบพระคุณสมาชิกในหน่วยปฏิบัติการวิจัยจุลชีววิทยาเชิงระบบ คณะแพทยศาสตร์ จุฬาลงกรณ์มหาวิทยาลัย ที่สนับสนุนเครื่องมือ และความช่วยเหลือตลอดระยะเวลาในการศึกษา

ขอขอบพระคุณสมาชิกในหน่วยปฏิบัติการจากภาควิชาชีวโมเลกุลและพันธุศาสตร์โรคเขตร้อน คณะเวชศาสตร์เขตร้อน มหาวิทยาลัยมหิดล ที่ดำเนินการเก็บตัวอย่างจากอาสาสมัครในจังหวัดตาก

สุดท้ายนี้ขอขอบพระคุณบิดา มารดา และสมาชิกในครอบครัวทุกท่าน ที่คอยเป็นกำลังใจ และเป็นแรงผลักดันที่ดี รวมถึงให้ความรัก ความเข้าใจ และคอยสนับสนุนตลอดการศึกษา

ปวิช กลมเกลียว

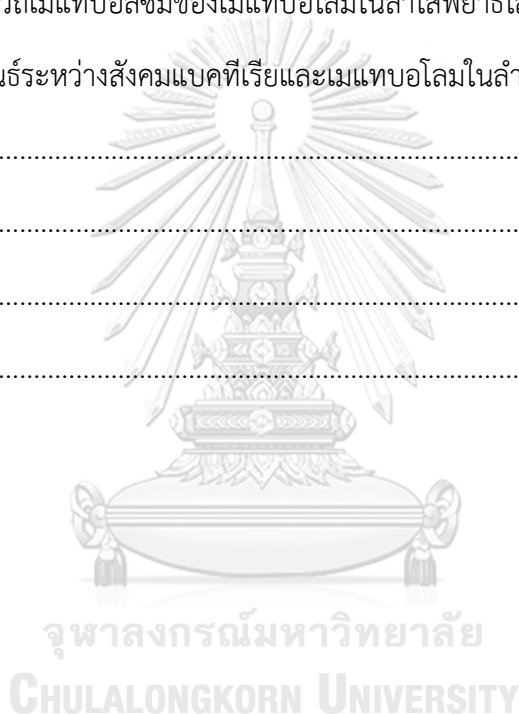
## สารบัญ

	หน้า
บทคัดย่อภาษาไทย.....	ค
บทคัดย่อภาษาอังกฤษ.....	ง
กิตติกรรมประกาศ.....	จ
สารบัญ.....	ฉ
สารบัญตาราง.....	ฅ
สารบัญภาพ .....	ญ
คำอธิบายสัญลักษณ์และคำย่อ .....	1
บทที่ 1 บทนำ .....	3
ความสำคัญและที่มาของปัญหาทางานวิจัย (Background and Rationale).....	3
คำถามงานวิจัย (Research Questions).....	4
วัตถุประสงค์ของงานวิจัย (Objectives) .....	4
สมมติฐานการวิจัย (Hypothesis).....	4
ขอบเขตของงานวิจัย.....	4
วิธีดำเนินการวิจัย (Research workflow).....	5
คำสำคัญ.....	6
บทที่ 2 เอกสารและงานวิจัยที่เกี่ยวข้อง .....	7
โรคพยาธิไส้เดือน .....	7
รูปร่างลักษณะของพยาธิไส้เดือน .....	7
ชนิดและลักษณะของพยาธิไส้เดือน.....	8
วงจรชีวิตของพยาธิไส้เดือน.....	9
พยาธิสภาพและอาการของโรคพยาธิไส้เดือน.....	10

การวินิจฉัยโรคพยาธิไส้เดือน .....	11
การรักษาโรคพยาธิไส้เดือน.....	11
การศึกษาสังคมจุลชีพในปัจจุบัน.....	12
การประยุกต์ใช้เทคโนโลยีวิเคราะห์ลำดับเบสต่อการศึกษาสังคมแบคทีเรีย .....	13
หลักการและทฤษฎีของเทคโนโลยีวิเคราะห์ลำดับเบสยุคใหม่ด้วยเครื่องอัลลูมินา .....	13
การศึกษาเมแทบอลิซึมในปัจจุบัน.....	15
หลักการและทฤษฎีของเทคโนโลยีวิเคราะห์อัลตราไฮเพอร์ฟอร์แมนซ์ลิวิดโครมาโทกราฟี-แมสส์ สเปกโตรเมตรี .....	16
เทคนิคแยกสารอัลตราไฮเพอร์ฟอร์แมนซ์ลิวิดโครมาโทกราฟี .....	17
เทคนิควิเคราะห์โครงสร้างทางเคมีด้วยเทคนิคแมสส์สเปกโตรเมตรี .....	17
บทที่ 3 วิธีดำเนินการวิจัย.....	20
รูปแบบการวิจัย (Research Design).....	20
เครื่องมือและวัสดุที่ใช้ในการวิจัย.....	20
สารเคมีที่ใช้ในงานวิจัย.....	21
แหล่งที่มาของตัวอย่างในงานวิจัย.....	22
การวิเคราะห์ทางห้องปฏิบัติการ .....	23
1. การศึกษาสังคมแบคทีเรียด้วยวิธีเมตาจีโนมิกส์.....	23
2. การศึกษาเมแทบอลิซึมด้วยวิธีเมแทโบลอมิกส์.....	31
3. การศึกษาปฏิสัมพันธ์ระหว่างสังคมแบคทีเรียและเมแทบอลิซึมในลำไส้ของหนอนพยาธิ ..	34
บทที่ 4 ผลการศึกษา.....	35
ข้อมูลจากการหาลำดับเบสด้วยเครื่องอัลลูมินา.....	35
ชนิดและความหลากหลายของสังคมแบคทีเรียในลำไส้มนุษย์ .....	36
ชนิดและความหลากหลายของสังคมแบคทีเรียในพยาธิไส้เดือน .....	38
เปรียบเทียบชนิดและความหลากหลายของสังคมแบคทีเรียระหว่างมนุษย์กับพยาธิไส้เดือน .....	38



ความแตกต่างทางความซุกของสังคมแบบที่เรียในลำไส้พยาธิต่อสถานะการติดเชื้อ .....	42
เมแทบอลิซึมในตัวอย่างลำไส้พยาธิที่ระดับสถานะการติดเชื้อรุนแรงมากและน้อย .....	43
วิถีเมแทบอลิซึมในลำไส้ของพยาธิไส้เดือนที่สถานะการติดเชื้อรุนแรงมากและน้อย .....	46
ปฏิสัมพันธ์แบบเครือข่ายระหว่างสังคมแบบที่เรียและเมแทบอลิซึมในลำไส้ของหนอนพยาธิ .....	47
บทที่ 5 สรุปผลการวิจัยและอภิปรายผลการทดลอง .....	49
การศึกษาชนิดและความหลากหลายของสังคมแบบที่เรียในลำไส้มนุษย์และพยาธิไส้เดือน .....	49
การศึกษาชนิดและวิถีเมแทบอลิซึมของเมแทบอลิซึมในลำไส้พยาธิไส้เดือน .....	50
การศึกษาปฏิสัมพันธ์ระหว่างสังคมแบบที่เรียและเมแทบอลิซึมในลำไส้ของพยาธิ .....	51
ข้อเสนอแนะ .....	52
ภาคผนวก.....	53
บรรณานุกรม.....	63
ประวัติผู้เขียน.....	69



## สารบัญตาราง

### หน้า

ตารางที่ 1 แสดงรายละเอียดทางการแพทย์ของอาสาสมัครในจังหวัดตากที่มีการระบาดโรคพยาธิไส้เดือน .....	23
ตารางที่ 2 แสดงลำดับไพรเมอร์ที่ใช้ในปฏิกิริยาลูกโซ่โพลีเมอเรสบริเวณ V4 บนยีน 16S rRNA.....	25
ตารางที่ 3 แสดงสารเคมีที่ใช้ในปฏิกิริยาลูกโซ่โพลีเมอเรสบริเวณ V4 บนยีน 16S rRNA.....	26
ตารางที่ 4 แสดงสภาวะที่ใช้ในปฏิกิริยาลูกโซ่โพลีเมอเรสบริเวณ V4 บนยีน 16S rRNA .....	26
ตารางที่ 5 แสดงสารเคมีที่ใช้ในปฏิกิริยาลูกโซ่โพลีเมอเรสต่อการเชื่อมปลายด้วยอะแดปเตอร์ .....	27
ตารางที่ 6 แสดงสภาวะที่ใช้ในปฏิกิริยาลูกโซ่โพลีเมอเรสต่อการเชื่อมปลายด้วยอะแดปเตอร์ .....	27
ตารางที่ 7 แสดงลำดับไพรเมอร์ที่ใช้ในการวิเคราะห์ความเข้มข้นของคลั่งดีเอ็นเอต้นแบบ .....	29
ตารางที่ 8 แสดงสารเคมีที่ใช้ในปฏิกิริยาเรียลไทม์พีซีอาร์.....	29
ตารางที่ 9 แสดงสภาวะที่ใช้ในปฏิกิริยาเรียลไทม์พีซีอาร์ .....	30
ตารางที่ 10 แสดงสภาวะที่ใช้ในการวิเคราะห์ด้วยเทคโนโลยีอัลตราไฮเพอร์ฟอร์แมนซ์ลิควิด .....	32
ตารางที่ 11 แสดงอัตราส่วนที่เหมาะสมของเฟสเคลื่อนที่ต่อเวลา.....	33
ตารางที่ 12 แสดงรายละเอียดในเชิงปริมาณของข้อมูลสายลำดับเบส .....	35

## สารบัญภาพ

	หน้า
ภาพที่ 1 แสดงลักษณะภายนอกของพยาธิไส้เดือนตัวเต็มวัยเพศผู้และเมีย .....	8
ภาพที่ 2 แสดงชนิดและลักษณะของไข่พยาธิ .....	9
ภาพที่ 3 แสดงวงจรชีวิตของพยาธิไส้เดือน .....	10
ภาพที่ 4 แสดงการเตรียมคลังดีเอ็นเอต้นแบบด้วยวิธีสะพานโค้งเชื่อมต่อ .....	14
ภาพที่ 5 แสดงการหาลำดับเบสโดยอาศัยหลักการการสังเคราะห์สายดีเอ็นเอร่วมกับคุณสมบัติการคืนสภาพกลับโดยการตัดหมู่เคมี .....	15
ภาพที่ 6 แสดงระบบทำงานของเทคโนโลยีวิเคราะห์อัลตราไฮเพอร์ฟอร์แมนซ์ลิควิดโครมาโทกราฟี-แมสส์สเปกโตรเมตรี .....	16
ภาพที่ 7 แสดงส่วนประกอบของเครื่องแมสสเปกโตรมิเตอร์แบบควอดรูโพล-ไทม์ออฟไฟล์ท .....	19
ภาพที่ 8 แสดงจำนวนชุดข้อมูลดิบของสายลำดับเบสในแต่ละตัวอย่างด้วยสีที่แตกต่างกัน โดยสายลำดับเบสดังกล่าวสามารถจัดกลุ่มเพื่อระบุชนิดของแบคทีเรียในระดับอนุกรมวิธาน .....	35
ภาพที่ 9 แสดงชนิดและความหลากหลายของสังคมแบคทีเรียในลำไส้มนุษย์ .....	37
ภาพที่ 10 แสดงชนิดและความหลากหลายของสังคมแบคทีเรียในลำไส้พยาธิและมนุษย์ .....	40
ภาพที่ 11 กราฟแท่งแสดงชนิดและปริมาณสัมพัทธ์ของแบคทีเรียในระดับไฟลัมและสกุลที่โดดเด่นในลำไส้ของพยาธิไส้เดือนบริเวณส่วนต้นและส่วนปลาย .....	41
ภาพที่ 12 แสดงความแตกต่างทางความชุกของสังคมแบคทีเรียในลำไส้พยาธิเทียบกับสถานะการติดเชื้อโรคพยาธิไส้เดือนด้วยการวิเคราะห์ผลกระทบในการจำแนกกลุ่มเชิงเส้น .....	42
ภาพที่ 13 แสดงผลวิเคราะห์เมแทบอลอมโปรจุบวกในตัวอย่างลำไส้พยาธิที่สถานะการติดเชื้อโรครุนแรงมากและน้อย .....	44
ภาพที่ 14 แสดงผลวิเคราะห์เมแทบอลอมโปรจุบวกในตัวอย่างลำไส้พยาธิที่สถานะการติดเชื้อโรครุนแรงมากและน้อย .....	45
ภาพที่ 15 แสดงผลการวิเคราะห์วิถีเมแทบอลิซึมในลำไส้ของพยาธิไส้เดือน .....	46

ภาพที่ 16 แสดงปฏิสัมพันธ์แบบเครือข่ายระหว่างสังคมแบบคหิเรียวและเมแทบอลิซึมในลำไส้ของพยาธิ

..... 48



จุฬาลงกรณ์มหาวิทยาลัย  
**CHULALONGKORN UNIVERSITY**

## คำอธิบายสัญลักษณ์และคำย่อ

คำย่อ	ความหมาย
16S rRNA	16S ribosomal RNA
APCI	Atmospheric pressure chemical ionization source
bp	Base pair
CEM	Channel electron multiplier
cm	Centimeter
ESI	Electrospray ionization source
HVR	Hypervariable regions
Hz	Hertz
kg	Kilogram
LC	Liquid chromatography
LDA score	Linear discrimination analysis score
LEfSe	Linear discriminant analysis effect size
mg	Milligram
min	minutes
mL	Milliliter
mm	Millimeter
MS	Mass spectrometry
m/z	Mass-to-charge ratio
NGS	Next-generation sequencing
nM	Nanomolar
OTUs	Operational taxonomic units
PCR	Polymerase chain reaction
PCoA	Principal coordinate analysis
PLS-DA	Partial least squares-discriminant analysis
pM	Picomolar
ppm	Part Per Million
Q30	Quality score
qPCR	Quantitative Polymerase Chain Reaction

sec	seconds
SGSTs	Second generation sequencing technologies
SNPs	Single nucleotide polymorphisms
STHs	Soil-transmitted helminths
TGSTs	Third generation sequencing technologies
tRNA	transfer RNA
V4	Fourth hypervariable region
U	Unit
UHPLC-MS	Ultra-high performance liquid chromatography-mass spectrometry
$\mu\text{g}$	Microgram
$\mu\text{L}$	Microliter
$\mu\text{M}$	Micromolar
%v/v	Percent by volume
$^{\circ}\text{C}$	Celsius



## บทที่ 1 บทนำ

### ความสำคัญและที่มาของปัญหาทางวิจัย (Background and Rationale)

โรคพยาธิไส้เดือน (Ascariasis) เกิดจากการติดเชื้อด้วยพยาธิไส้เดือน (*Ascaris lumbricoides*) บริเวณลำไส้ จากรายงานการติดเชื้อพยาธิในลำไส้ขององค์การอนามัยโลก (1) พบผู้ติดเชื้อมากถึง 1 พันล้านคนทั่วโลกคิดเป็นร้อยละ 10 ของผู้ติดเชื้อที่พบในประเทศกำลังพัฒนา เนื่องจากขาดการจัดการสุขาภิบาลและสุขอนามัยที่ได้มาตรฐาน ในปัจจุบันการรักษาโรคพยาธิไส้เดือนนิยมให้ผู้ป่วยรับประทานยาต้านพยาธิ (Anthelmintic drug) เพื่อบรรเทาอาการของโรคผ่านการลดจำนวนไข่และตัวพยาธิในลำไส้ (2) รวมไปถึงการศึกษาอิทธิพลต่อการยับยั้งด้วยยาต้านพยาธิของโรคพยาธิไส้เดือนในประเทศรวันดา (3) และระยะเวลาที่ใช้ในการรักษาด้วยยา (4) ให้เห็นถึงแนวโน้มต่อการดื้อยาที่เพิ่มขึ้น ก่อให้เกิดข้อสงสัยต่อประสิทธิภาพของยาต้านพยาธิในการรักษาโรคพยาธิไส้เดือน

ปัจจุบันการศึกษาสังคมแบคทีเรียด้วยวิธีเมตาจีโนมิกส์ (Metagenomics) ที่ศึกษาดีเอ็นเอของแบคทีเรียทั้งหมดในระบบชีวภาพตามธรรมชาติ เพื่อระบุชนิดของแบคทีเรียผ่านยีน 16S rRNA อย่างจำเพาะ โดยจะนำส่วนของยีนที่เพิ่มขึ้นดังกล่าวมาวิเคราะห์ลำดับเบสเพื่อจำแนกชนิดของแบคทีเรียที่พบในระดับอนุกรมวิธานด้วยเทคโนโลยีวิเคราะห์ลำดับเบสยุคใหม่ (NGS; Next-generation sequencing) ผลการศึกษสามารถอธิบายความสัมพันธ์ของแบคทีเรียได้เป็นอย่างดี โดยการประยุกต์ใช้วิธีเมตาจีโนมิกส์สามารถนำมาอธิบายภาวะสุขภาพของมนุษย์ กับชนิดของแบคทีเรียที่พบในร่างกายของสิ่งมีชีวิต (5) รวมถึงประยุกต์ใช้เพื่อรักษาโรคอ้วนชนิดเรื้อรังในมนุษย์ได้อย่างมีประสิทธิภาพ (6) ซึ่งผลที่ได้จากการศึกษาด้วยวิธีดังกล่าวสามารถใช้ต่อยอดความรู้เพื่อศึกษาความสัมพันธ์ระหว่างสังคมแบคทีเรียกับวิถีเมแทบอลิซึม (Metabolic pathway) ผ่านการศึกษาด้วยวิธีเมแทโบลอมิกส์ (Metabolomics) ที่เกี่ยวข้องกับการวิเคราะห์เพื่อระบุชนิดและปริมาณของสารเมแทบอลิต์ (Metabolite) ด้วยเทคโนโลยีอัลตราไฮเพอร์ฟอร์แมนซ์ลิกวิดโครมาโทกราฟี-แมสสเปกโตรเมตรี (UHPLC-MS; Ultra-high performance liquid chromatography-mass spectrometry) (7) โดยเทคนิคประยุกต์ร่วมระหว่างวิธีเมตาจีโนมิกส์และเมแทโบลอมิกส์ ได้รับการยอมรับและตีพิมพ์ผลงานในระดับนานาชาติอย่างกว้างขวาง อาทิ การศึกษาความสัมพันธ์ระหว่างสังคมแบคทีเรีย และสารเมแทบอลิต์ในตัวอย่างน้ำลายและอุจจาระของมนุษย์ (8) เป็นต้น

อย่างไรก็ตามเมื่อนำข้อสันนิษฐานเกี่ยวกับการดื้อยาต้านพยาธิในโรคพยาธิไส้เดือนผนวกกับองค์ความรู้เกี่ยวกับชนิดและสัดส่วนของแบคทีเรียที่พบในลำไส้มนุษย์สัมพันธ์กับภาวะสุขภาพที่อาจนำไปสู่โรคเรื้อรังชนิดต่าง ๆ (9, 10) รวมไปถึงแนวคิดที่ได้จากการผนวกวิธีศึกษาระหว่างเมตาจีโนม

มิกส์และเมแทโบโลมิกส์ตั้งที่กล่าวไปข้างต้น นำไปสู่ข้อสมมติฐานในการหาความสัมพันธ์ระหว่างสังคมแบคทีเรียและเมแทบอลิซึมในลำไส้ของมนุษย์และพยาธิไส้เดือน เพื่อในอนาคตจะนำความรู้ที่ได้ไปประยุกต์ใช้รักษาโรคทางพยาธิต่อไป

### คำถามงานวิจัย (Research Questions)

1. แบคทีเรียในลำไส้ของมนุษย์และพยาธิไส้เดือนมีความสัมพันธ์กับสถานะการติดเชื้อโรคพยาธิอย่างไร
2. เมแทบอลิซึมในลำไส้ของพยาธิไส้เดือนมีความสัมพันธ์กับสถานะการติดเชื้อโรคพยาธิอย่างไร

### วัตถุประสงค์ของงานวิจัย (Objectives)

1. เพื่อแสดงความสัมพันธ์ระหว่างแบคทีเรียในลำไส้ของมนุษย์และพยาธิไส้เดือนผ่านการศึกษานิตและรูปแบบสังคมแบคทีเรียด้วยเทคโนโลยีวิเคราะห์ลำดับเบสยุคใหม่
2. เพื่อแสดงวิถีเมแทบอลิซึมในลำไส้ของพยาธิไส้เดือนผ่านการศึกษานิตและปริมาณของสารเมแทบอลิต์ด้วยเทคโนโลยีอัลตราไฮเพอร์ฟอร์แมนซ์ลิกวิดโครมาโทกราฟี-แมสส์สเปกโตรเมตรี

### สมมติฐานการวิจัย (Hypothesis)

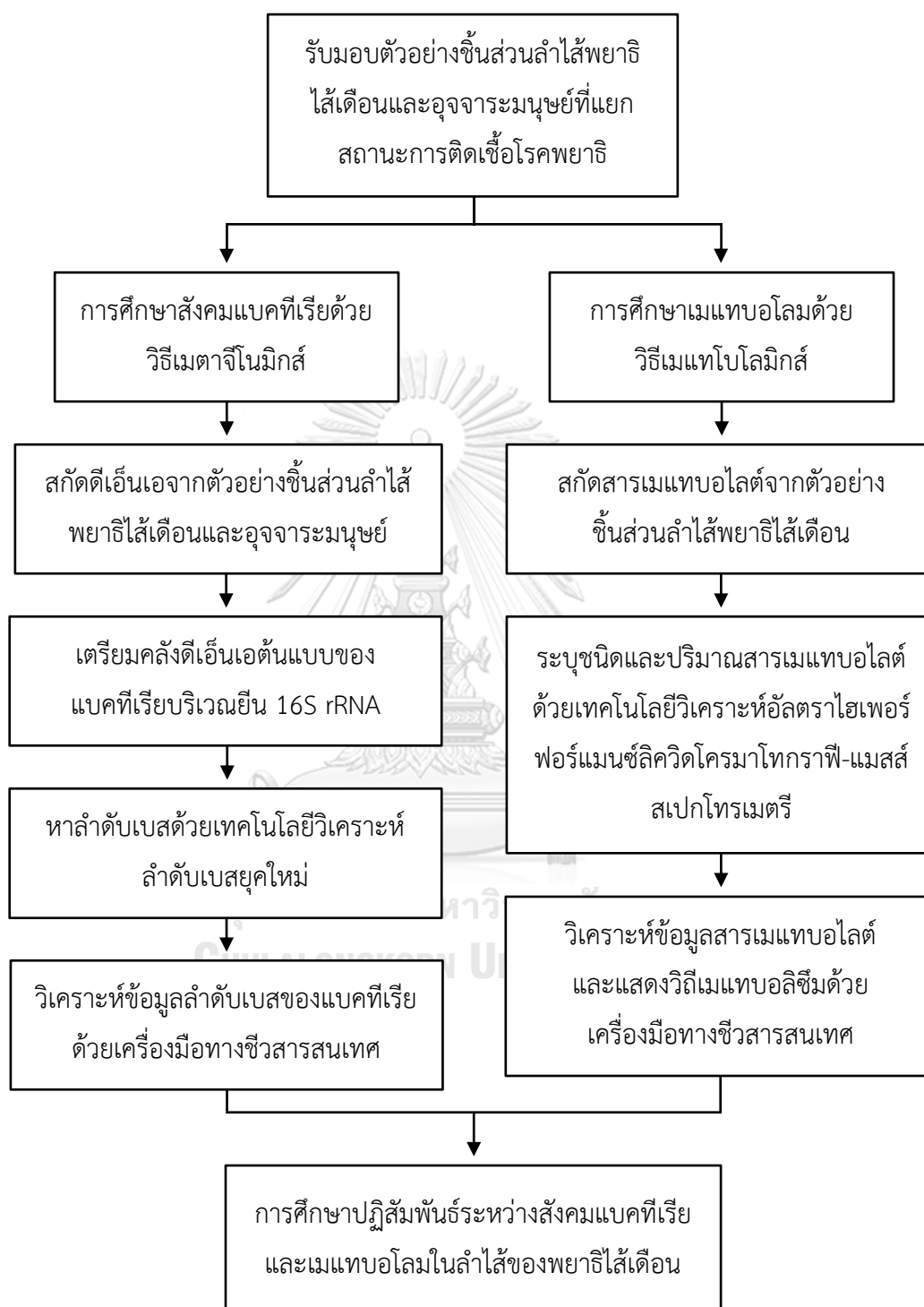
สังคมแบคทีเรียและเมตาบอลิซึมในลำไส้ของพยาธิไส้เดือนมีความสัมพันธ์กับสถานะการติดเชื้อโรคพยาธิ

### ขอบเขตของงานวิจัย CHULALONGKORN UNIVERSITY

งานวิจัยชิ้นนี้ศึกษาสังคมแบคทีเรียและเมแทบอลิซึมในลำไส้ของมนุษย์และพยาธิไส้เดือนที่สถานะการติดเชื้อโรคพยาธิแตกต่างกัน โดยใช้เทคโนโลยีวิเคราะห์ลำดับเบสยุคใหม่ ร่วมกับอัลตราไฮเพอร์ฟอร์แมนซ์ลิกวิดโครมาโทกราฟี-แมสส์สเปกโตรเมตรีตามลำดับ



## วิธีดำเนินการวิจัย (Research workflow)



**คำสำคัญ**

- *Ascaris lumbricoides*
- Gut bacteriome
- Metabolome
- Next-generation sequencing (NGS)
- Ultra-high-performance liquid chromatography tandem mass spectrometry (UHPLC-MS)



## บทที่ 2 เอกสารและงานวิจัยที่เกี่ยวข้อง

### โรคพยาธิไส้เดือน

โรคพยาธิไส้เดือน คือภาวะที่ลำไส้เกิดการติดเชื้อจากพยาธิไส้เดือน ปัจจุบันสถานการณ์ของโรคพยาธิยังเป็นปัญหาที่น่ากังวล จากการสำรวจขององค์การอนามัยโลกพบผู้ป่วยติดเชื้อพยาธิในลำไส้มากถึง 1 ใน 4 ของประชากรโลก โดยพบมากในประเทศแถบร้อนชื้น หรือแหล่งชุมชนที่มีระบบจัดการสุขาภิบาลไม่ได้มาตรฐาน อาทิ การบริโภคผักหรือผลไม้สดที่มีไข่พยาธิปะปนอยู่ในดิน อันเกิดจากอุปนิสัยการถ่ายอุจจาระลงดิน หรือการนำอุจจาระไปทำปุ๋ยทางการเกษตร โดยสภาพแวดล้อมของดินจะเอื้อให้เกิดการเจริญเติบโตของพยาธิไส้เดือนในระยะแรก สามารถพบการระบาดดังกล่าวได้ เช่นเดียวกับพยาธิที่ติดต่อผ่านดินชนิดอื่น ๆ (STHs; Soil-transmitted helminths) (11) ดังนั้นการรับประทานพืชผลทางการเกษตรจึงควรล้าง หรือปรุงด้วยความร้อนให้ถูกสุขอนามัยเสียก่อน

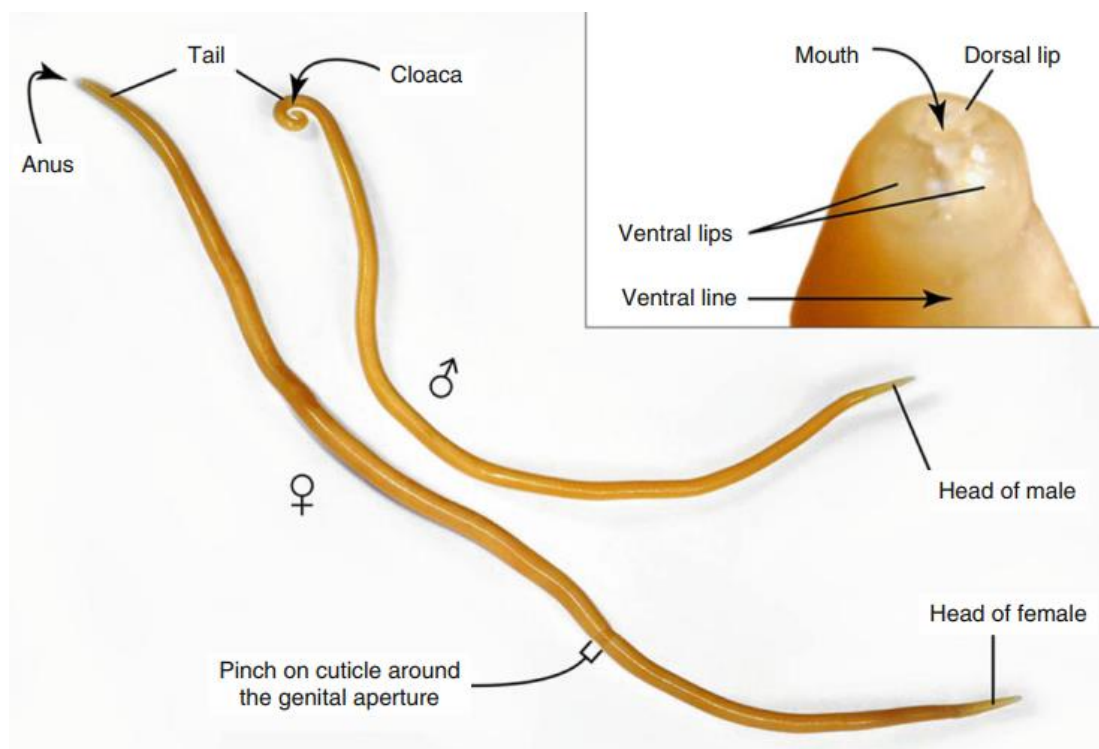
สำหรับประเทศไทยพบการติดเชื้อพยาธิไส้เดือนมากในเด็ก และสามารถพบได้ทั่วทุกภูมิภาคของประเทศ อย่างไรก็ตามยังไม่มีรายงานแสดงอัตราการติดเชื้อที่ครอบคลุมทั้งประเทศ ในการศึกษาล่าสุดที่ทำการสำรวจความชุกของโรคพยาธิไส้เดือนในจังหวัดนราธิวาสและน่าน พบการระบาดในประชากรร้อยละ 38.72 (12) และ 21.7 (13) ตามลำดับ ซึ่งถือว่าเป็นโรคจากพยาธิที่พบมากในภาคใต้เป็นอันดับ 4 รองจาก พยาธิปากขอ พยาธิแส้ม้า และพยาธิเข็มหมุด

### รูปร่างลักษณะของพยาธิไส้เดือน

พยาธิไส้เดือนเป็นพยาธิตัวกลมที่มีขนาดใหญ่ที่สุด มีลำตัวกลมยาวคล้ายไส้เดือนดิน ผิวลำตัวเรียบ สีขาวนวลปนเหลืองชมพู ที่บริเวณปลายหัวที่เรียวกกลมมีริมฝีปาก 3 อัน ประกอบด้วยริมฝีปากตรงกลาง (Dorsal lip) และริมฝีปากล่าง (Ventral lips) 1 คู่ ประกอบรอบช่องปากเป็นรูปสามเหลี่ยมต่อกับลำตัวเรียวยาวไปจนถึงลำไส้ที่มีระบบทางเดินอาหารสมบูรณ์ และทวารหนักบริเวณปลายหาง

เมื่อโตเต็มวัยพยาธิตัวผู้จะมีเส้นผ่านศูนย์กลางตั้งแต่ 2-4 mm และมีขนาดยาว 15-30 cm ลักษณะที่บ่งชี้เพศสามารถสังเกตได้จากปลายหางที่โค้งงอไปด้านท้อง รวมไปถึงระบบสืบพันธุ์ 1 ชุด ประกอบด้วยอวัยวะ ท่อนำอสุจิ ต่อมสร้างน้ำเลี้ยงอสุจิ และท่อหลังน้ำอสุจิ ที่ขดเป็นเกลียวอยู่บริเวณปลายหางติดกับทวารรวม (Cloaca) โดยบริเวณนี้จะพบแก่งอวัยวะสืบพันธุ์ 1 คู่ขนาด 2-3.5 mm

ในขณะที่พยาธิตัวเมียจะมีเส้นผ่านศูนย์กลางประมาณ 4-6 mm และมีขนาดยาวเฉลี่ย 22-35 cm บริเวณปลายหางที่ตรงไม่เหมือนเพศผู้ มีระบบอวัยวะสืบพันธุ์ 2 ชุดประกอบด้วยรังไข่ ท่อนำไข่ และมดลูก ซึ่งมดลูกทั้งสองจะบรรจบกันที่ช่องคลอดสืบพันธุ์ ขดพับไปมาบริเวณตอนกลางลำตัวทำให้พยาธิตัวเมียสามารถออกไข่ได้มากถึง 200,000 ฟองต่อวัน (ภาพที่ 1) (11, 14, 15)



ภาพที่ 1 แสดงลักษณะภายนอกของพยาธิตัวตืดตัวเต็มวัยเพศผู้และเมีย (14)

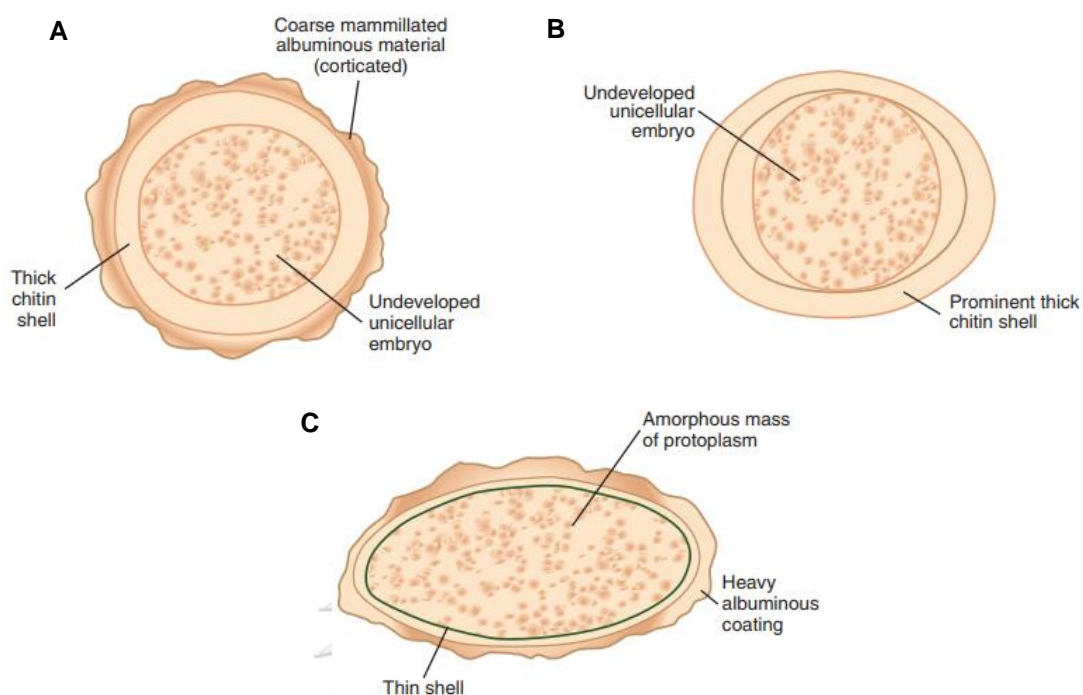
### ชนิดและลักษณะของพยาธิตัวตืด

ลักษณะของไข่พยาธิตัวตืดสามารถแบ่งได้ 3 ชนิด โดยขึ้นอยู่กับสภาวะการผสมพันธุ์หรือสภาพของเปลือกหุ้มเซลล์ไข่ (15) อันสังเกตได้จากอุจจาระที่ปนเปื้อนไข่พยาธิตัวตืดนี้ (ภาพที่ 2)

1. ไข่ที่ผสมพันธุ์แล้ว (Fertilized egg) ลักษณะภายนอกทรงกลมรี (ขนาด  $40-75 \times 30-50 \mu\text{m}^2$ ) ผิวหนาขรุขระ และมีสีเหลืองน้ำตาลอันเกิดจากการย้อมด้วยน้ำดีภายในลำไส้มนุษย์ โดยเปลือกไข่ประกอบด้วย 3 ชั้น คือ เปลือกชั้นนอกทำหน้าที่ปกป้องไข่จากสภาพแวดล้อมภายนอก เปลือกชั้นกลางทำหน้าที่เสริมความแข็งแรงและรักษารูปร่างของไข่พยาธิตัวตืด และสุดท้ายเปลือกชั้นในทำหน้าที่ห่อหุ้มสารจำพวกไขมันและตัวอ่อนพยาธิตัวตืด

2. ไข่ที่ไม่ได้รับการผสมพันธุ์ (Unfertilized egg) ลักษณะภายนอกกลมรียาว (ขนาด  $85-95 \times 38-45 \mu\text{m}^2$ ) และมีสีเหลืองน้ำตาล โดยเปลือกไข่ประกอบด้วย 2 ชั้น คือ เปลือกชั้นนอกที่เป็นชั้นโปรตีนอัลบูมิน และเปลือกชั้นกลางที่ห่อหุ้มของเหลวภายในเซลล์ไข่พยาธิตัวตืด

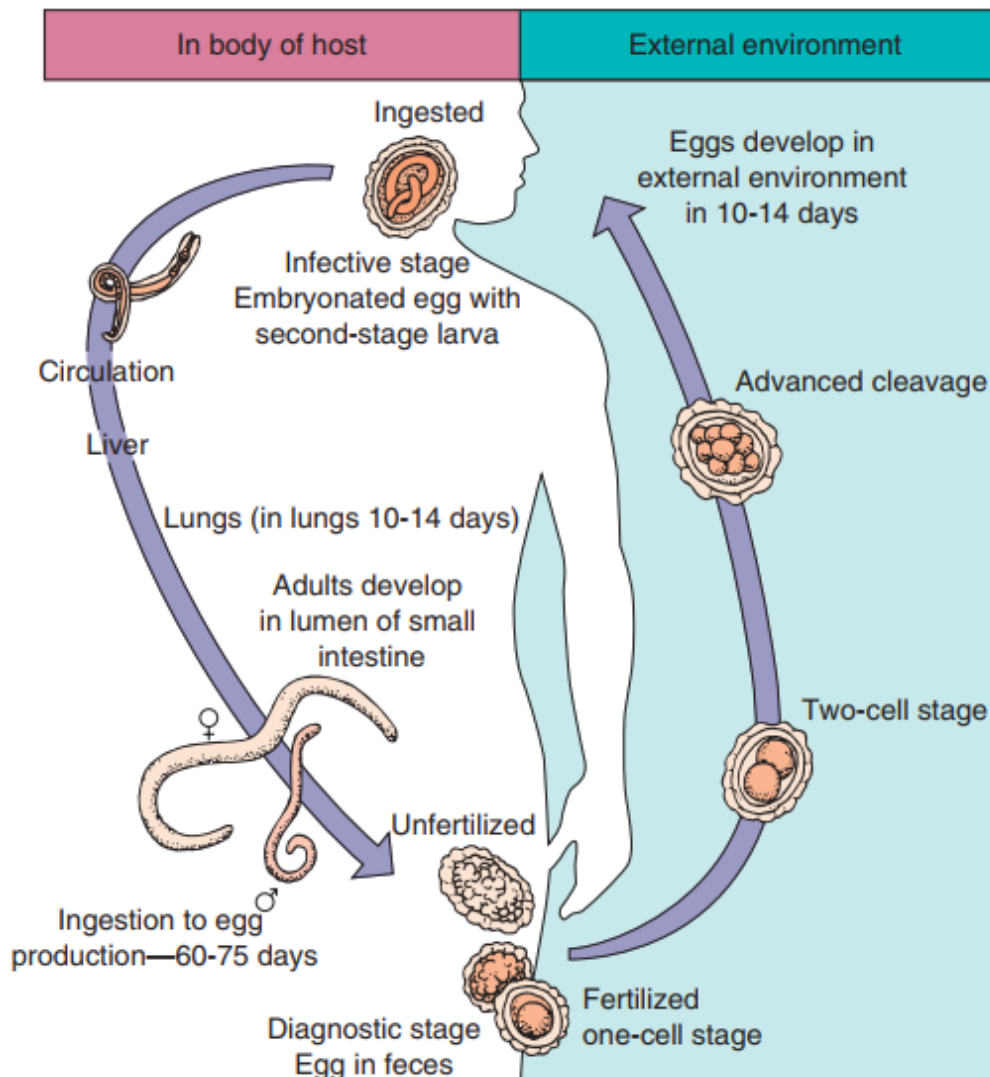
3. ไข่ที่เปลือกชั้นนอกหลุดออก (Decorticated egg) จะเห็นเปลือกนอกเรียบใสไม่มีสีสามารถพบได้ทั้งไข่ผสมพันธุ์แล้วและไม่ได้ผสมพันธุ์ เนื่องจากชั้นโปรตีนอัลบูมินหลุดลอกไปนั้นทำให้ไข่ชนิดนี้ถูกทำลายได้ง่ายส่งผลต่อโอกาสที่ไข่จะเจริญเป็นพยาธิตัวเต็มวัยลดลงด้วย



ภาพที่ 2 แสดงชนิดและลักษณะของไข่พยาธิผสมพันธุ์แล้ว (A) ไข่ที่เปลือกชั้นนอกหลุดออก (B) และไข่ที่ไม่ได้รับการผสมพันธุ์ (C) (15)

### วงจรชีวิตของพยาธิไส้เดือน

เมื่อพยาธิตัวเต็มวัยผสมพันธุ์กัน พยาธิไส้เดือนตัวเมียจะออกไข่ปะปนออกมาที่อุจจาระของมนุษย์ เมื่อไข่ลงสู่พื้นดินที่มีความชื้นและอุณหภูมิเหมาะสม เซลล์ภายในจะเจริญเป็นตัวอ่อนอยู่ 10-21 วัน เมื่อมนุษย์ได้รับไข่ที่ผ่านการเจริญเป็นตัวอ่อนหรือไข่ระยะติดต่อกัน (Infective egg) เข้าสู่ร่างกายผ่านการรับประทานอาหารหรือน้ำดื่มที่ไม่ถูกสุขลักษณะจะถูกน้ำย่อยในกระเพาะอาหารและลำไส้เล็กย่อยเปลือกหุ้มทำให้ตัวอ่อนพยาธิฟักตัวบริเวณลำไส้เล็กตอนต้น ก่อนไข่ตัวผ่านผนังลำไส้เล็กเข้าสู่ตับผ่านกระแสเลือด และเข้าไปเจริญอยู่ภายในปอดประมาณ 10-14 วัน ก่อนเคลื่อนตัวผ่านผนังถุงลมและทางเดินอาหารเพื่อเจริญเป็นตัวเต็มวัยภายในลำไส้เล็กส่วนกลางในที่สุด ระยะเวลาตั้งแต่มนุษย์ได้รับไข่พยาธิระยะติดต่อกันเจริญเป็นตัวเต็มวัยใช้เวลาประมาณ 2-3 เดือน โดยพยาธิโตเต็มวัยมีช่วงอายุโดยเฉลี่ย 1-2 ปี (ภาพที่ 3) (11, 16)



จุฬาลงกรณ์มหาวิทยาลัย  
ภาพที่ 3 แสดงวงจรชีวิตของพยาธิตัวตืด (16)

### พยาธิสภาพและอาการของโรคพยาธิตัวตืด

โรคที่เกิดจากการติดเชื้อพยาธิตัวตืดสามารถแบ่งลักษณะการติดเชื้อได้ 2 ลักษณะ (17) จากระยะเวลาเจริญของพยาธิดังนี้

1. การติดเชื้อจากพยาธิระยะตัวอ่อน กล่าวคือขณะที่ตัวอ่อนไชตัวผ่านผนังลำไส้เล็กไปสู่ตับ หัวใจซีกขวา และเข้าไปเจริญอยู่ภายในปอด (18) ส่งผลให้อวัยวะดังกล่าวเกิดการอักเสบ และมีไข้เล็กน้อย ในกรณีที่พยาธิเจริญอยู่ภายในปอดมากจะส่งผลต่ออาการที่รุนแรงขึ้นทำให้ปอดอักเสบ มีไข้สูง หายใจหอบ ไปจนถึงภาวะไอเป็นเลือด

2. การติดเชื้อจากพยาธิระยะตัวเต็มวัย กล่าวคือกลไกการเกิดโรคในพยาธิระยะนี้จะส่งผลโดยตรงกับลำไส้เล็กทำให้ระบบทางเดินอาหาร และภาวะโภชนาการของมนุษย์ถูกรบกวนแบ่งออกได้ 3 ลักษณะดังนี้

2.1 ภาวะแย่งสารอาหาร (Robbing effect) โดยอาการของภาวะนี้จะขึ้นอยู่กับความรุนแรงของโรคที่กำหนดได้จากจำนวนพยาธิในลำไส้ ส่งผลให้มีอาการปวดท้อง คลื่นไส้ อาเจียน น้ำหนักลดเนื่องจากขาดสารอาหาร

2.2 ภาวะเสียหายโดยตรงต่ออวัยวะของมนุษย์ (Direct injurious effect) เกิดจากการที่พยาธิขดตัวเป็นก้อนอุดตันอยู่ในลำไส้เล็กทำให้เกิดไส้สูง ส่งผลให้พยาธิใช้ตัวทะลุผนังลำไส้เข้าสู่อวัยวะข้างเคียงก่อให้เกิดการภาวะเยื่อช่องท้อง และตับอักเสบ

2.3 ภาวะอาการแพ้จากสารพิษที่ผลิตมาจากตัวพยาธิ (Allergic effect) ในผู้ป่วยบางรายอาจเกิดอาการแพ้เนื่องจากร่างกายดูดซึมสารพิษเข้าสู่กระแสเลือด ส่งผลให้เกิดอาการผื่นแดงบริเวณผิวหนังหรืออวัยวะต่างๆ อาทิ ลำไส้เล็ก หลอดลม ปอด เป็นต้น

### การวินิจฉัยโรคพยาธิไส้เดือน

ผู้ที่มีอาการเข้าข่ายติดเชื้อจากพยาธิไส้เดือนทางแพทย์จะวินิจฉัยโรคด้วย 2 วิธีดังนี้

1. การตรวจอุจจาระเพื่อหาไข่พยาธิ เป็นวิธีที่ได้ผลดีเนื่องจากพยาธิจะวางไข่จำนวนมากปะปนกับอุจจาระของผู้ป่วย จึงสะดวกต่อการนำตัวอย่างอุจจาระไปส่องด้วยกล้องจุลทรรศน์เพื่อตรวจหาชนิดและจำนวนไข่พยาธิ เพื่อช่วยประเมินความรุนแรงและติดตามผลการรักษาโรค อย่างไรก็ตามวิธีนี้อาจใช้ไม่ได้หากผู้ป่วยติดเชื้อจากพยาธิไส้เดือนเพศผู้เท่านั้น

2. การตรวจโดยการถ่ายภาพทางการแพทย์ เพื่อตรวจหาพยาธิในช่องท้อง ทรวงอก และตับด้วยเทคโนโลยีการถ่ายภาพเอกซเรย์ (X-ray) การทำอัลตราซาวด์ (Ultrasound) เป็นต้น (19) ที่ช่วยตรวจสอบระยะการเจริญของพยาธิทำให้แพทย์สามารถประเมินความเสี่ยงที่จะเกิดภาวะแทรกซ้อนและวางแผนการรักษาได้อย่างเหมาะสม

### การรักษาโรคพยาธิไส้เดือน

ในผู้ป่วยบางรายที่มีการติดเชื้อรุนแรงและภาวะแทรกซ้อน อาทิ ลำไส้อุดตันหรือไส้ติ่งอักเสบ อันเกิดจากพยาธิ แพทย์อาจเสนอวิธีการรักษาเป็นการผ่าตัดเอาพยาธิออกจากร่างกายพร้อมทั้งรักษาบาดแผลบริเวณอวัยวะโดยรอบ (20) ในขณะที่ผู้ป่วยติดเชื้อไม่รุนแรงแพทย์นิยมใช้ยาต้านพยาธิในการขับพยาธิออกจากร่างกาย (2, 21) โดยกลุ่มยาดังกล่าวมีดังนี้

1. ยาอัลเบนดาโซล (Albendazole) ขนาดที่ใช้ 400 mg รับประทานครั้งเดียวสำหรับผู้ใหญ่ และเด็กอายุ 2 ปีขึ้นไป ห้ามใช้ในหญิงตั้งครรภ์ โดยยาจะออกฤทธิ์ยับยั้งการดูดซึมน้ำตาลกลูโคสในลำไส้ของพยาธิ ส่งผลให้ไกลโคเจนที่สะสมไว้เพื่อใช้เป็นพลังงานขาดแคลนจนพยาธิตายในที่สุด
2. ยามีเบนดาโซล (Mebendazole) ขนาดที่ใช้ 100 mg รับประทานวันละ 2 ครั้ง ติดต่อกัน 3 วัน ใช้ในผู้ใหญ่และเด็กอายุ 2 ปีขึ้นไป ห้ามใช้ในหญิงตั้งครรภ์ โดยยาจะออกฤทธิ์ยับยั้งการดูดซึมน้ำตาลกลูโคสในลำไส้ของพยาธิ และยับยั้งการใช้ฟอสฟอรัสในไมโทคอนเดรียของพยาธิ ส่งผลให้พยาธิตายเนื่องจากขาดแคลนพลังงาน และเกิดการขาดแคลนบริเวณผิวหนัง ตามลำดับ
3. ยาไอเวอร์เมคติน (Ivermectin) ) ขนาดที่ใช้ 150-200 µg/kg (น้ำหนักตัว) รับประทานครั้งเดียวในผู้ใหญ่และเด็กที่มีน้ำหนักมากกว่า 15 kg ห้ามใช้ในหญิงตั้งครรภ์ โดยยาออกฤทธิ์ยับยั้งการส่งกระแสประสาทเนื่องจากการดูดซึมสารประกอบคลอไรด์ที่เยื่อหุ้มเซลล์มากจนผิดปกติ ทำให้พยาธิเคลื่อนไหวไม่ได้และตายในที่สุด
4. ยาไพแรนเทลพามูเอต (Pyrantel pamoate) ขนาดที่ใช้ 10 mg/kg (น้ำหนักตัว) รับประทานครั้งเดียว ห้ามใช้ในหญิงตั้งครรภ์ โดยยาจะออกฤทธิ์ต่อระบบประสาทและกล้ามเนื้อของพยาธิส่งผลให้พยาธิเป็นอัมพาตและตายในที่สุด

### การศึกษาสัณฐานจุลชีพในปัจจุบัน

ร่างกายของสิ่งมีชีวิตทุกชนิดเป็นแหล่งที่อยู่ของจุลชีพนับแสนล้านชนิดประกอบรวมกันเป็น สัณฐานจุลชีพ (Microbiome) ที่สามารถแยกย่อยได้อีกตามชนิดของจุลชีพ อาทิ สัณฐานแบคทีเรีย (Bacteriome) สัณฐานไวรัส (Virome) เป็นต้น ซึ่งกลุ่มของจุลชีพดังกล่าวมักพบในลำไส้ของมนุษย์ โดยมีมากกว่าจุลชีพทั้งหมดในร่างกายรวมกันถึง 10 เท่า (22) ทำให้บทบาทของสัณฐานจุลชีพในลำไส้สามารถอธิบายภาวะสุขภาพของมนุษย์ได้ (5) ตั้งแต่ การส่งเสริมการทำงานของระบบภูมิคุ้มกันในลำไส้ผ่านการยับยั้งแบคทีเรียก่อโรค (23) รวมถึงการประยุกต์ใช้รักษาโรคอ้วนเรื้อรังในมนุษย์ในปัจจุบัน (6)

จากการศึกษาในสัตว์เคี้ยวเอื้องแสดงให้เห็นถึงการมีอยู่ของพยาธิสัมพันธ์กับสัณฐานแบคทีเรียในลำไส้มนุษย์ โดยพบว่าชนิดและสัดส่วนของแบคทีเรียสามารถใช้ทำนายภาวะติดเชื้อของกลุ่มพยาธิที่ติดต่อผ่านดินได้แม่นยำถึง 80% (24) และจากการศึกษาความสัมพันธ์ของแบคทีเรียต่อพยาธิตัวกลมในกลุ่มฟิลาเรียอันเป็นสาเหตุของโรคเท้าช้างโดยมียุงลายเสือเป็นพาหะ พบว่าความสามารถในการเจริญพันธุ์ของพยาธิดังกล่าวขึ้นอยู่กับการมีอยู่ของแบคทีเรียในสกุลวูลบาคีเลีย (*Wolbachia*) จากความสัมพันธ์ระหว่างสัณฐานแบคทีเรียกับพยาธิตามที่กล่าวไปข้างต้น นำไปสู่กระแสในการศึกษาเพื่อค้นคว้าวิธีการรักษาโรคเท้าช้างและโรคพยาธิแบบใหม่ (25)



### การประยุกต์ใช้เทคโนโลยีวิเคราะห์ลำดับเบสต่อการศึกษาสังคมแบคทีเรีย

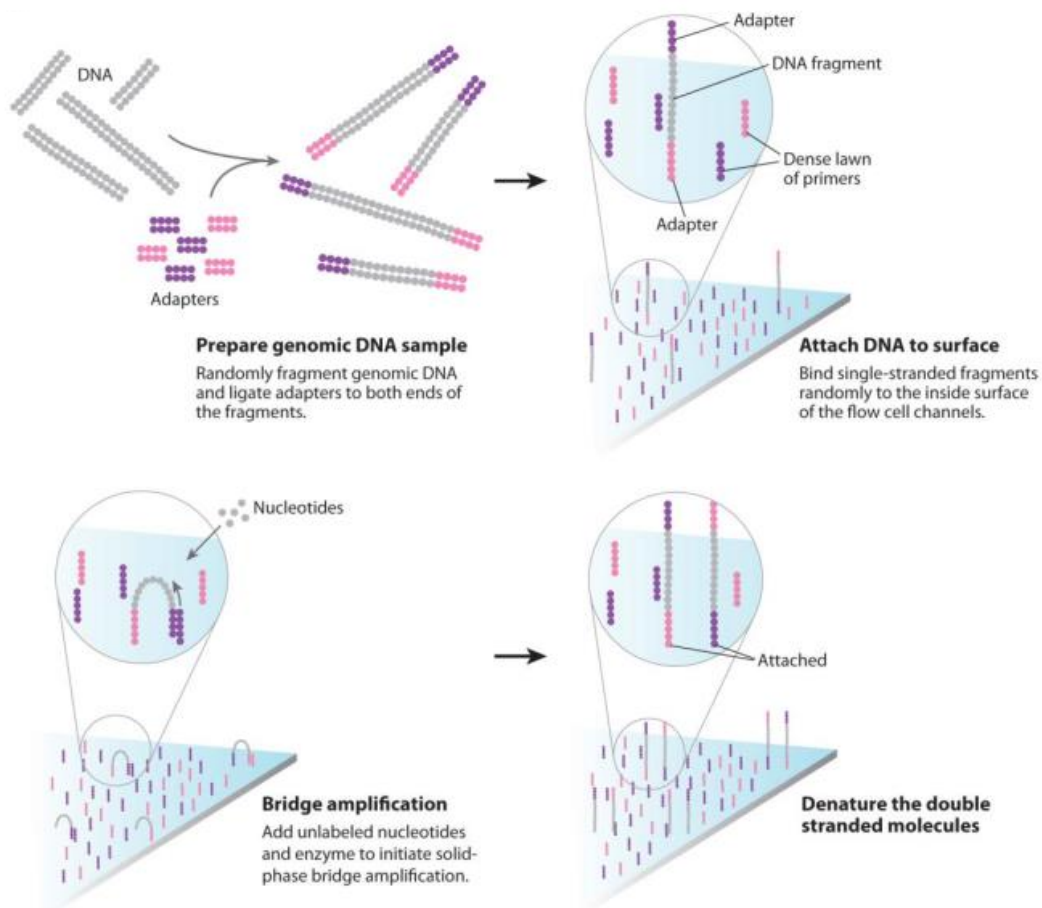
ปัจจุบันศาสตร์ที่ใช้ศึกษาสังคมจุลชีพเรียกว่า เมตาจีโนมิกส์ที่เป็นการศึกษาสารพันธุกรรมของจุลชีพทั้งหมดในสิ่งแวดล้อมอย่างจำเพาะ โดยไม่จำเป็นต้องใช้วิธีดั้งเดิมในการแยกและเพาะเลี้ยงเชื้อ (Culture dependent technique) ที่มีข้อจำกัดด้านสภาพแวดล้อมในการเพาะเลี้ยง ทำให้สามารถหาความสัมพันธ์ของจุลชีพในระบบชีวภาพตามธรรมชาติได้มากยิ่งขึ้น โดยกระบวนการศึกษาดังกล่าวสามารถนำมาประยุกต์ใช้ได้หลากหลายผ่านการวิเคราะห์ยีนที่จำเพาะต่อสิ่งมีชีวิต อาทิ การใช้เทคโนโลยีวิเคราะห์ลำดับเบสยุคใหม่ หรือเทคโนโลยีวิเคราะห์ลำดับเบสยุคที่สอง (SGSTs; Second generation sequencing technologies) ต่อยีน 16S rRNA ของแบคทีเรีย เพื่อบ่งชี้ความแตกต่างและความหลากหลายทางพันธุกรรม ทั้งนี้เนื่องจากยีนนี้มีบริเวณอนุรักษ์สูง ความผันแปรทางวิวัฒนาการต่ำ และมีขนาดโมเลกุลที่เหมาะสมต่อการจำแนกแบคทีเรีย (ประมาณ 1,500 นิวคลีโอไทด์) (26) อย่างไรก็ตามข้อจำกัดของเทคโนโลยีวิเคราะห์ดังกล่าวส่งผลกระทบต่อความแม่นยำในการจัดกลุ่มแบคทีเรียในระดับสปีชีส์ (Species) ก่อให้เกิดการพัฒนาเทคโนโลยีจนสามารถสังเคราะห์สารพันธุกรรมสายยาวด้วยเทคโนโลยีวิเคราะห์ลำดับเบสยุคที่สาม (TGSTs; Third generation sequencing technologies) เพื่อแก้ปัญหาความคลาดเคลื่อนจากการสังเคราะห์สารพันธุกรรมในหลอดทดลองและทำลายข้อจำกัดในการจำแนกกลุ่มแบคทีเรีย อย่างไรก็ตามเทคโนโลยีดังกล่าวยังมีข้อจำกัดเกี่ยวกับความแม่นยำในการถอดลำดับเบสที่ต่ำกว่าเทคโนโลยีวิเคราะห์ยุคที่สอง (27) ก่อให้เกิดข้อถกเถียงด้านประสิทธิภาพและการเลือกใช้เทคโนโลยีวิเคราะห์ลำดับเบสในปัจจุบัน

### หลักการและทฤษฎีของเทคโนโลยีวิเคราะห์ลำดับเบสยุคใหม่ด้วยเครื่องอิลลูมินา

เทคโนโลยีวิเคราะห์ลำดับเบสยุคใหม่ด้วยเครื่องอิลลูมินา (Illumina) (28) ใช้หลักการสังเคราะห์สายดีเอ็นเอเพื่อหาลำดับเบสร่วมกับการใช้นิวคลีโอไทด์ที่ผ่านการดัดแปลงให้มีคุณสมบัติหยุดการสังเคราะห์สายดีเอ็นเอและสามารถคืนสภาพกลับเพื่อให้ต่อสายดีเอ็นเอได้ (Reversible terminator nucleotide)

การวิเคราะห์ลำดับเบสจะเริ่มจากเตรียมคลังดีเอ็นเอต้นแบบ (DNA library) โดยการเพิ่มปริมาณดีเอ็นเอบนแผ่นโฟลว์เซลล์ (Flow cell) ด้วยวิธีเพิ่มปริมาณแบบสะพานโค้งเชื่อมต่อ (Bridge amplification) สามารถทำได้โดยตัดดีเอ็นเอให้มีขนาดสั้น หรือการสังเคราะห์ยีนที่มีขนาดสั้น อาทิ บริเวณที่แปรผันสูง (HVR; Hypervariable regions) ของยีน 16S rRNA ของแบคทีเรีย จากนั้นนำดีเอ็นเอสายสั้นมาเชื่อมส่วนปลายด้วยอะแดปเตอร์ (Adaptors) ที่ปลายทั้งสองข้าง (29) โดยดีเอ็นเอที่มีความยาวประมาณ 200 คู่เบสจะถูกนำมาเพิ่มปริมาณด้วยปฏิกิริยาลูกโซ่พอลิเมอเรส (PCR, Polymerase chain reaction) ก่อนนำดีเอ็นเอต้นแบบสายเดี่ยวตรึงบนแผ่นกระจกสไลด์ที่เคลือบด้วยอะแดปเตอร์ที่เป็นเบสคู่สมกับปลายของสายดีเอ็นเอต้นแบบ ซึ่งทำหน้าที่เป็นไพรเมอร์ (Primer)

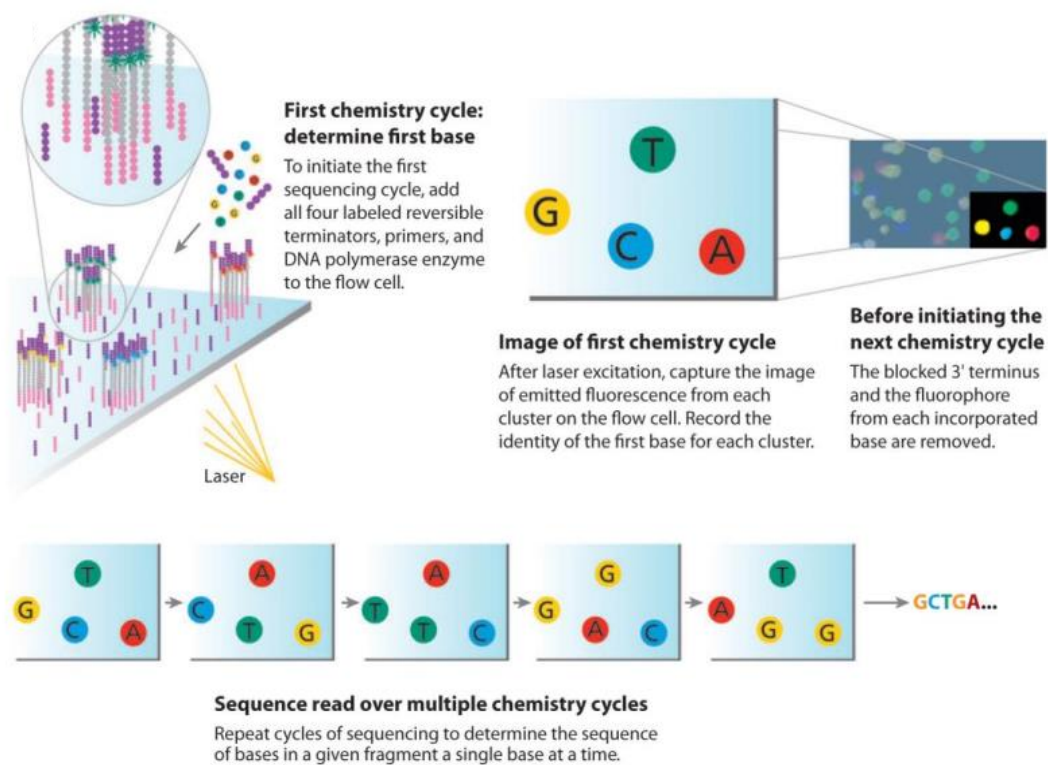
ในการเพิ่มปริมาณแบบสะพานโค้งเชื่อมต่อจนได้สายคู่ดีเอ็นเอต้นแบบ และในช่วงท้ายจะทำการแยกสายดีเอ็นเอเป็นสายเดี่ยวเพื่อใช้เป็นคลังดีเอ็นเอต้นแบบสำหรับการวิเคราะห์ลำดับเบสต่อไป (ภาพที่ 4)



ภาพที่ 4 แสดงการเตรียมคลังดีเอ็นเอต้นแบบด้วยวิธีสะพานโค้งเชื่อมต่อ (28)

เมื่อได้คลังดีเอ็นเอต้นแบบสายเดี่ยวแล้วการหาลำดับเบสของเครื่องอิลลูมินาจะใช้หลักการสังเคราะห์สายดีเอ็นเอ (Sequencing by synthesis) โดยอาศัยไพโรเมอร์ เอนไซม์ดีเอ็นเอพอลิเมอเรส (DNA polymerase) และนิวคลีโอไทด์ทั้งสี่ชนิดที่ผ่านการติดฉลากด้วยสารเรืองแสงและตัดแปลงหมู่เคมีที่ป้องกันการต่อสายบริเวณปลาย 3' OH ให้มีคุณสมบัติหยุดสังเคราะห์สายดีเอ็นเอและสามารถคืนสภาพเพื่อให้ต่อสายดีเอ็นเอ โดยนิวคลีโอไทด์ที่เหลือจากปฏิกิริยาสังเคราะห์สายดีเอ็นเอจะถูกล้างออก แล้วทำการบันทึกภาพการปลดปล่อยสารเรืองแสงของนิวคลีโอไทด์แต่ละชนิดที่เข้าคู่กับดีเอ็นเอต้นแบบ จากนั้นจะเกิดกระบวนการตัดฉลากเรืองแสง และหมู่เคมีที่ป้องกันการต่อสายที่ปลาย 3' OH ออกทำให้ปลายนิวคลีโอไทด์กลับมาปกติ หลังจากนั้นเติมนิวคลีโอไทด์ที่ผ่านการ

ดัดแปลงชุดใหม่ รวมถึงเอนไซม์ดีเอ็นเอพอลิเมอร์เรสเพื่อสังเคราะห์สายดีเอ็นเอในรอบต่อไป โดยแต่ละรอบของการสังเคราะห์ (Cycle) จะเป็นตัวกำหนดลำดับเบสที่อ่านได้ในแต่ละครั้ง (ภาพที่ 5)



ภาพที่ 5 แสดงการหาลำดับเบสโดยอาศัยหลักการการสังเคราะห์สายดีเอ็นเอร่วมกับคุณสมบัติการคืนสภาพกลับโดยการตัดหมู่เคมี (28)

ความยาวของสายดีเอ็นเอที่ได้จากเครื่องอิลลูมินาจะมีขนาดเท่ากันหมด โดยสามารถอ่านความยาวสายดีเอ็นเอได้ถึง 150 คู่เบส ด้วยความแม่นยำสูง (มากกว่าร้อยละ 99.5) โดยเครื่องอิลลูมินาเหมาะสำหรับงานที่ต้องการปริมาณสายดีเอ็นเอมากและขนาดสายดีเอ็นเอที่สั้น อาทิ การวิเคราะห์ลำดับเบสเพื่อค้นหาสโนป (SNPs; Single nucleotide polymorphisms) หรือการศึกษาสังคมจุลชีพ เป็นต้น

### การศึกษาเมแทบอลิซึมในปัจจุบัน

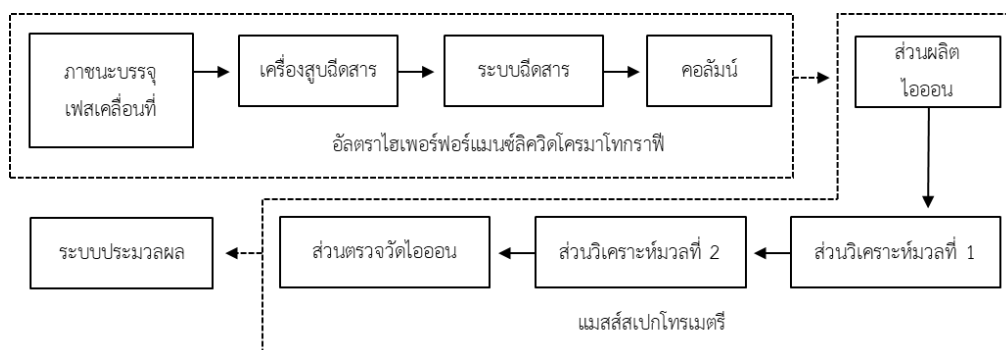
เมแทบอลิซึมเป็นศาสตร์ในการวิเคราะห์สารเมแทบอลิต์หรือสารประกอบเคมีขนาดเล็กในสิ่งมีชีวิตหรือระบบชีวภาพชนิดใดชนิดหนึ่ง อาทิ กรดนิวคลีอิก กรดอะมิโน กรดไขมัน สารประกอบฟีนอลิก สารประกอบอะโรมาติกไฮโดรคาร์บอน เป็นต้น โดยเทคโนโลยีเมแทบอลิโอมิกส์ได้รับการพัฒนาขึ้นเพื่อนำมาใช้ในงานวิจัยด้านวิทยาศาสตร์การแพทย์ เช่น การวิเคราะห์เพื่อหาความสัมพันธ์

ระหว่างเมตาโบโลมกับลักษณะทางพยาธิวิทยาที่เกี่ยวข้องต่อการวินิจฉัยโรค เช่น ปัสสาวะ หรือ สารคัดหลั่งที่ได้จากผู้ป่วย (30)

ในปัจจุบันเทคโนโลยีเคมีวิเคราะห์สามารถจำแนกชนิด และตรวจหาปริมาณสารเมแทบอไลต์ได้แบบไม่จำเพาะเจาะจงที่ความละเอียดสูงจึงให้ข้อมูลครอบคลุมชนิดของสารที่เป็นองค์ประกอบจำนวนมากในรูปแบบเมแทบอโลม โดยนิยมใช้เทคนิคการแยกสารร่วมกับเทคนิคทางเคมีวิเคราะห์ อาทิ การใช้เทคโนโลยีแยกสารลิควิดโครมาโตกราฟี (LC; Liquid chromatography) ร่วมกับเทคโนโลยีเคมีวิเคราะห์แมสสเปกโตรเมตรี (MS; Mass spectrometry) (31) ซึ่งต้องอาศัยการประมวลผลด้วยเทคนิคทางคอมพิวเตอร์ (Computational) เพื่อวิเคราะห์หารูปแบบความสัมพันธ์ของข้อมูลเมตาโบโลมระหว่างกลุ่มตัวอย่างด้วยวิธีการวิเคราะห์ทางสถิติหลายตัวแปร (Multivariate statistical analysis) (32) อีกทั้งสามารถประยุกต์ใช้ข้อมูลดังกล่าวร่วมกับชีวสารสนเทศศาสตร์ (Bioinformatics) เพื่อให้เข้าใจกระบวนการเมตาบอลิซึมภายใต้การเปลี่ยนแปลงสภาวะแวดล้อมที่จะเกิดขึ้นในสิ่งมีชีวิตควบคู่ไปกับการทดลองในห้องปฏิบัติการได้

### หลักการและทฤษฎีของเทคโนโลยีวิเคราะห์อัลตราไฮเพอร์ฟอร์แมนซ์ลิควิดโครมาโตกราฟี-แมสสเปกโตรเมตรี

อัลตราไฮเพอร์ฟอร์แมนซ์ลิควิดโครมาโตกราฟี-แมสสเปกโตรเมตรีเป็นเทคนิคควบคู่กันระหว่างเทคนิคอัลตราไฮเพอร์ฟอร์แมนซ์ลิควิดโครมาโตกราฟีในการแยกสารเคมีตามคุณสมบัติ อาทิ ความมีขั้ว โดยอาศัยสมดุลระหว่างเฟสหยุดนิ่ง (Stationary phase) ในคอลัมน์ และเฟสเคลื่อนที่ (Mobile phase) ที่เป็นตัวทำละลายในการพาสารเข้าและออกจากคอลัมน์ ร่วมกับเทคนิคแมสสเปกโตรเมตรีที่วิเคราะห์โครงสร้างเคมีโดยอาศัยหลักการแตกตัวเป็นไอเพื่อวัดค่ามวลต่อประจุ ( $m/z$ ) ที่จำเพาะต่อชนิดของสารเคมี ทำให้เทคนิคประยุกต์นี้สามารถวิเคราะห์ทั้งในเชิงคุณภาพและปริมาณได้อย่างมีประสิทธิภาพ (ภาพที่ 6)



ภาพที่ 6 แสดงระบบทำงานของเทคโนโลยีวิเคราะห์อัลตราไฮเพอร์ฟอร์แมนซ์ลิควิดโครมาโตกราฟี-แมสสเปกโตรเมตรี

### เทคนิคแยกสารอัลตราไฮเพอร์ฟอร์แมนซ์ลิควิดโครมาโทกราฟี

เทคนิคแยกสารอัลตราไฮเพอร์ฟอร์แมนซ์ลิควิดโครมาโทกราฟี (33) ใช้สำหรับแยกสารประกอบผสมโดยอาศัยสมดุระหว่างตัวทำละลายที่ทำหน้าที่เป็นเฟสเคลื่อนที่ในการพาสารเข้าและออกจากคอลัมน์ ร่วมกับคอลัมน์ขนาดสั้นที่ทำหน้าที่เป็นเฟสหยุดนิ่ง ทำให้ความสามารถในการแยกออกจากกันได้ของสารประกอบผสมนั้นขึ้นอยู่กับความเข้ากันได้ดีของสารตัวอย่างกับเฟสเคลื่อนที่ หรือเฟสหยุดนิ่ง โดยสารที่เข้ากันได้ดีกับเฟสเคลื่อนที่จะถูกแยกออกมาก่อน และสารที่แยกออกมานี้จะถูกตรวจวัดสัญญาณ แสดงผลในรูปแบบของกราฟโครมาโทแกรม (Chromatogram) ที่อธิบายความสัมพันธ์ระหว่างความเข้มข้นและระยะเวลาที่สารแต่ละชนิดถูกตรึงไว้กับเฟสคงที่ เพื่อเป็นประโยชน์ต่อการวิเคราะห์เชิงคุณภาพและปริมาณของสารเคมี โดยมีรายละเอียดองค์ประกอบของเครื่องดังนี้

1. เครื่องสูบน้ำของเหลว (Pump) เป็นส่วนที่ควบคุมการไหลของเฟสเคลื่อนที่เข้าสู่คอลัมน์ โดยสามารถแบ่งรูปแบบการประยุกต์ใช้ได้ 2 วิธี คือ การผ่านเฟสเคลื่อนที่แบบไอโซครติก (Isocratic pump) ซึ่งเป็นการใช้เฟสเคลื่อนที่ในอัตราผสมคงที่ตลอดการทดลอง หรือการผ่านเฟสเคลื่อนที่แบบเกรเดียนท์ (Gradient pump) ที่สามารถควบคุมการเปลี่ยนแปลงอัตราส่วนผสมของเฟสเคลื่อนที่ตลอดการทดลอง
2. ระบบฉีดของเหลว (Injection system) ทำหน้าที่ฉีดสารตัวอย่างเข้าสู่คอลัมน์โดยไม่รบกวนการไหลของเฟสเคลื่อนที่ ซึ่งปัจจุบันนิยมใช้เครื่องฉีดสารอัตโนมัติโดยควบคุมด้วยระบบคอมพิวเตอร์
3. คอลัมน์ (Column) ในปัจจุบันมีให้เลือกใช้หลายประเภทขึ้นอยู่กับคุณสมบัติของเฟสเคลื่อนที่ โดยงานวิจัยนี้ใช้เฟสเคลื่อนที่ชนิดผิวนกลับ (Reversed phase) ซึ่งเป็นที่นิยมสำหรับการแยกสารตามสภาพขั้ว โดยเป็นการใช้คอลัมน์เฟสหยุดนิ่งที่ไม่มีสภาพขั้ว กับสารละลายเฟสเคลื่อนที่สภาพขั้วสูง ทำให้สารเคมีตัวอย่างที่ถูกชะออกมาก่อนมีสภาพขั้วสูงเนื่องจากความสามารถในการละลายในเฟสเคลื่อนที่

### เทคนิควิเคราะห์โครงสร้างทางเคมีด้วยเทคนิคแมสสเปกโทรเมตรี

เป็นเทคนิควิเคราะห์โครงสร้างเคมีโดยการเปลี่ยนรูปโมเลกุลสารให้อยู่ในรูปไอออน (34) ก่อนทำการตรวจวัดค่ามวลต่อประจุและบันทึกข้อมูลในรูปของแมสสเปกตรัม ซึ่งเทคนิคดังกล่าวเป็นที่นิยมเนื่องจากความแม่นยำในการวิเคราะห์ที่สูง โดยมีรายละเอียดองค์ประกอบของเครื่องดังนี้ (ภาพที่ 7)

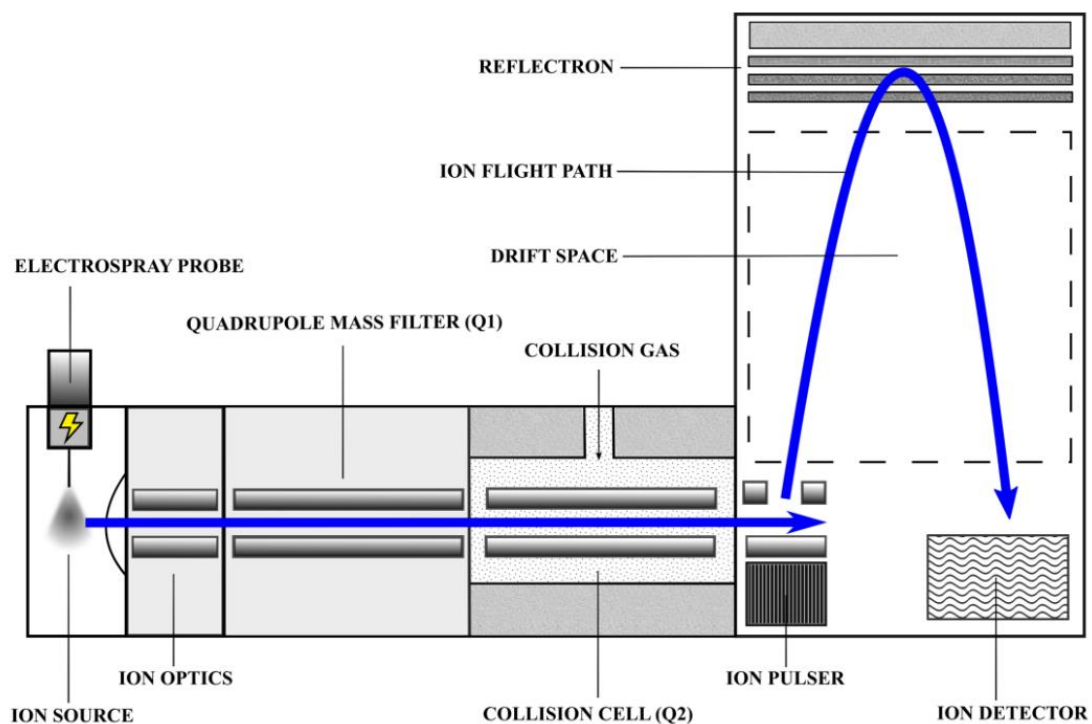
1. ส่วนผลิตไอออน (Ion source) เป็นส่วนที่ทำหน้าที่ผลิตไอออนภายใต้ภาวะความดันบรรยากาศสูง ส่วนผลิตไอออนที่นิยมใช้ในปัจจุบันมี 2 ประเภท ได้แก่ วิธีอิเล็กโตรสเปร์รี่ไอออนไนเซชัน

ชั้น (ESI; Electrospray ionization source) เหมาะสำหรับการวิเคราะห์สารตัวอย่างในรูปไอออนในตัวทำละลาย โดยกระบวนการเริ่มจากการปั๊มสารละลายตัวอย่างผ่านหลอดแคปพิลลารีที่สนามไฟฟ้าแรงสูง ก่อนทำการระเหยเพื่อสร้างหยดประจุไอออน ซึ่งแตกต่างจากส่วนผลิตไอออนประเภทที่ 2 คือ ไอออนไนเซชันด้วยเคมีความดันบรรยากาศ (APCI; Atmospheric pressure chemical ionization source) ที่อาศัยแรงขับเคลื่อนของแก๊สไนโตรเจนหรือแก๊สเฉื่อยที่อุณหภูมิสูง โดยวิธีนี้เหมาะกับสารตัวอย่างที่ไม่ได้อยู่ในรูปไอออนในตัวทำละลาย หรือสารที่มีสภาพขี้้นน้อย เช่น สารกลุ่มไขมัน และกลุ่มวิตามินที่ละลายในไขมัน เป็นต้น

2. ส่วนวิเคราะห์มวล (Mass analyzer) ทำหน้าที่วิเคราะห์ค่ามวลต่อประจุ เพื่อทำการแยกไอออนของอนุภาคที่ส่งมาจากส่วนผลิตไอออนตามค่ามวลต่อประจุของไอออนนั้นๆ โดยงานวิจัยนี้ใช้ส่วนวิเคราะห์มวล 2 แบบ ได้แก่ ส่วนวิเคราะห์มวลแบบควอดรูโพล (Quadrupole mass analyzer) (35) ที่ประกอบด้วยแท่งโลหะกลม 4 แท่งเชื่อมต่อกันด้วยแรงทางไฟฟ้า เพื่อนำพาประจุไอออนเคลื่อนที่ผ่านช่องว่างระหว่างแท่งโลหะไปยังส่วนตรวจวัดได้อย่างจำเพาะตามค่าสนามไฟฟ้านั้นๆ เหมาะกับการวิเคราะห์ไอออนที่มีพลังงานต่ำ โดยมีข้อดีคือความเร็วต่อการวิเคราะห์สูงเนื่องจากสามารถตรวจจับไอออนได้แม่นยำและต่อเนื่องตลอดช่วงมวลที่ต้องการวิเคราะห์ ในปัจจุบันวิธีนี้สามารถประยุกต์ใช้ผ่านการนำส่วนวิเคราะห์มวล 3 ชุดมาต่อกันแบบอนุกรม เรียกว่า ทริเบิลควอดรูโพล (Triple quadrupole) ประกอบด้วย หน่วยวิเคราะห์มวลที่ 1 ซึ่งทำหน้าที่คัดเลือกไอออนตั้งต้น (Precursor ion) อย่างจำเพาะด้วยการปรับค่ามวลต่อประจุของสารที่ต้องการวิเคราะห์ ก่อนส่งไปยังหน่วยวิเคราะห์มวลที่ 2 ที่จะเหนี่ยวนำให้เกิดการแตกตัวเป็นไอออนผ่านการชนของแก๊สเฉื่อยพลังงานสูง และคัดเลือกมวลที่จำเพาะอีกครั้งด้วยหน่วยวิเคราะห์มวลที่ 3 นอกจากการวิเคราะห์มวลด้วยสนามไฟฟ้าอย่างจำเพาะแล้ว ในงานวิจัยนี้ยังประยุกต์ใช้ส่วนวิเคราะห์มวลแบบไทม์ออฟไฟลท์ (Time-of-Flight (TOF) mass analyzer) เพื่อวิเคราะห์มวลผ่านการแยกไอออนโดยอาศัยความเร็วในการเคลื่อนที่ โดยไอออนที่มีมวลน้อยจะเคลื่อนที่ได้เร็วและไปถึงส่วนตรวจวัดได้ก่อนไอออนที่มีมวลมาก ซึ่งทำให้การแยกไอออนด้วยวิธีนี้สามารถทำได้รวดเร็ว และมีความไว (Sensitivity) ค่อนข้างสูง เนื่องจากการไหลผ่านของไอออนไม่จำเป็นต้องผ่านช่องขนาดเล็ก รวมไปถึงการเบี่ยงเบนไอออนให้เข้าสู่ส่วนตรวจวัด ส่งผลให้ปริมาณไอออนสามารถเข้าสู่ส่วนวิเคราะห์มวลได้มาก อย่างไรก็ตามวิธีแยกไอออนดังกล่าวมีข้อจำกัดด้านความละเอียด (Resolution) ที่ต่ำ เนื่องจากการกระจายของพลังงานจลน์ในแต่ละช่วงการปลดปล่อยไอออนส่งผลให้ไอออนที่มีมวลเท่ากันวิ่งเข้าสู่ส่วนตรวจวัดที่เวลาต่างกัน

3. ส่วนตรวจวัดไอออน (Detector) โมเลกุลไอออนที่ผ่านการแยกอย่างจำเพาะด้วยส่วนวิเคราะห์มวล จะถูกตรวจวัดและสรุปผลเป็นกราฟสเปกตรัมที่แสดงความสัมพันธ์ระหว่างปริมาณของไอออนกับค่ามวลต่อประจุภายใต้สภาวะควบคุม โดยส่วนตรวจวัดที่นิยมใช้ในปัจจุบันคือ แชนแนล

อิเล็กตรอนมัลติพลายเออร์ (CEM; Channel electron multiplier) ซึ่งเป็นวิธีประยุกต์จากอิเล็กตรอนมัลติพลายเออร์ (Electron multiplier) ที่ประกอบด้วยหลอดโลหะผสมทองแดงขนาดเล็กหรือไดโอด (Dynode) ประมาณ 20 ชุด ซึ่งจะทำหน้าที่ขยายสัญญาณผ่านการกระทบของอิเล็กตรอนกับผนังไดโอด ส่งผลให้จำนวนอิเล็กตรอนสุดท้ายเพิ่มขึ้นกว่าเดิม  $10^6$  เท่า



ภาพที่ 7 แสดงส่วนประกอบของเครื่องแมสสเปกโตรมิเตอร์แบบควอดรูโพล-โทมอออฟไฟล์ท (35)

### บทที่ 3 วิธีดำเนินการวิจัย

#### รูปแบบการวิจัย (Research Design)

- การวิจัยโดยการทดลอง (Experimental Research)

#### เครื่องมือและวัสดุที่ใช้ในการวิจัย

- 0.1 mL qPCR 8-strip with attached flat caps, clear (Kirgen, China)
- 0.2 mL microcentrifuge tube (Kirgen, China)
- 1.5 mL microcentrifuge Protein low-bind tube (Eppendorf, Germany)
- 96-well microtiter plate (Eppendorf, Germany)
- Balance (Precisa, UK)
- Biosafety cabinet class 2a (Esco, Singapore)
- C18 reversed-phase column (ACQUITY UPLC HSST3, 2.1 × 100 mm, 1.8 μM, Waters)
- Centrifuge (1.5mL) (Eppendorf, Germany)
- Dounce tissue grinder set, 1 mL (Merck, Germany)
- Electrophoresis chamber set (Major science, USA)
- Freezer -20°C (Sanyo, Japan)
- Freezer -80°C (Panasonic, Japan)
- Gel Doc 1000 (Vilber Lourmat, Hong Kong)
- Heat block (Eppendorf, Germany)
- Illumina MiSeq platform (Illumina, USA)
- Incubator shaker (Biosan, Latvia)
- Mastercycler® Thermocycler (Eppendorf, Germany)
- NanoPhotometer C40 (Implen, Germany)
- Quadrupole time-of-flight mass spectrometer (Q-TOF-MS) (SCIEX, USA)
- Refrigerator 4°C (Panasonic, Japan)
- Single-channel microlitre pipette set (Eppendorf, Germany)
- Speed vacuum (Tomy Digital Biology, Japan)
- Stainless Steel Beads, 5 mm (Qiagen, Germany)



- StepOnePlus™ Real-Time PCR (Thermo fisher scientific, USA)
- TissueLyser LT (Qiagen, Germany)
- Ultra-high performance liquid chromatography (UHPLC) (Agilent, USA)
- Vortex mixer (Scientific industry, USA)
- Workstation Computer for Data Analysis

### สารเคมีที่ใช้ในงานวิจัย

1. สารเคมีที่ใช้ในการสกัดดีเอ็นเอจากอุจจาระมนุษย์และชิ้นส่วนลำไส้ของพยาธิไส้เดือน
  - GenUP™ gDNA extraction kit (Biotechrabbit, Germany)
2. สารเคมีที่ใช้ในการเตรียมคลังดีเอ็นเอต้นแบบของแบคทีเรียด้วยปฏิกิริยาลูกโซ่พอลิเมอไรเซชัน
  - 10X Reaction buffer (Biotechrabbit, Germany)
  - dNTPs 10 mM (Thermo Fisher Scientific, USA)
  - Dual-index (8x12) primers set (Illumina, USA)
  - Primer 16S 515F\_sp1 และ 16S 806R\_sp1 10 μM (Illumina, USA)
  - QIAquick gel extraction kit (Qiagen, Germany)
  - *Taq* DNA polymerase 5 U/μL (Biotechrabbit, Germany)
3. สารเคมีที่ใช้ในกระบวนการอะกาโรสเจลอิเล็กโทรโฟรีซิส
  - 100 bp DNA ladder (GeneDirex, Taiwan)
  - Agarose (Invitrogen, USA)
  - Boric acid (Merck, Germany)
  - Redsafe™ nucleic acid staining solution (Boca Scientific, USA)
  - Tris-base (Amresco, USA)
4. สารเคมีที่ใช้ในการทำให้คลังดีเอ็นเอต้นแบบจากปฏิกิริยาลูกโซ่พอลิเมอไรเซชันบริสุทธิ์
  - QIAquick gel extraction kit (Qiagen, Germany)
5. สารเคมีที่ใช้ในการเตรียมความเข้มข้นของคลังดีเอ็นเอต้นแบบ
  - DEPC-treated water (Thermo Fisher Scientific, USA)
  - KAPA Library Quantification Kit Illumina® Platforms (KAPA Biosystems, USA)

6. สารเคมีที่ใช้ในการวิเคราะห์ลำดับเบสยุคใหม่ด้วยเครื่องอิลลูมินา
  - MiSeq Reagent Kit v2 (500-cycles) (Illumina, USA)
  - PhiX control (Illumina, USA)
7. สารเคมีที่ใช้ในการสกัดสารเมแทบอลิต์จากชิ้นส่วนลำไส้ของพยาธิ
  - 100% methanol (Merck, Germany)
  - Deionized H<sub>2</sub>O (Sigma-Aldrich, USA)
8. สารเคมีที่ใช้ในเทคโนโลยีอัลตราไฮเพอร์ฟอร์แมนซ์ลิควิดโครมาโทกราฟี-แมสส์สเปกโทรเมตรี
  - Milli-Q water (Sigma-Aldrich, USA)
  - Formic acid (Merck, Germany)
  - Acetonitrile solution (Merck, Germany)

#### แหล่งที่มาของตัวอย่างในงานวิจัย

ตัวอย่างที่ใช้ในการศึกษาประกอบด้วยอุจจาระมนุษย์จำนวน 30 ชิ้น และชิ้นส่วนลำไส้พยาธิที่ถูกขับออกจากร่างกายผู้ป่วยจำนวน 19 ชิ้น โดยจะถูกแบ่งเป็นสองส่วนได้แก่ ลำไส้ส่วนต้น (Anterior gut) และส่วนปลาย (Posterior gut) เพื่อเปรียบเทียบความสัมพันธ์ของสังคมแบคทีเรียและเมแทบอลิซึมแต่ละบริเวณ โดยได้รับความอนุเคราะห์จากภาควิชาชีวโมเลกุลและพันธุศาสตร์โรคเขตร้อน คณะเวชศาสตร์เขตร้อน มหาวิทยาลัยมหิดล ที่ดำเนินการเก็บตัวอย่างจากอาสาสมัครในหมู่บ้านแม่สลิดหลวง และหมู่บ้านเกร๊ะคี จังหวัดตาก จากนั้นดำเนินการตรวจวินิจฉัยไข่พยาธิจากอุจจาระของมนุษย์ด้วยวิธีโมดิฟายด์คาโตแคท (Modified Kato Katz) พร้อมทั้งจัดระดับความรุนแรงหรือสถานะการติดเชื้อจากปริมาณไข่พยาธิในอุจจาระโดยแบ่งได้ 3 สถานะ ได้แก่ สถานะติดเชื้อรุนแรงมาก (มากกว่า 50,000 ฟองต่อกรัม) ปานกลาง (50,000-5,000 ฟองต่อกรัม) และน้อย (น้อยกว่า 5,000 ฟองต่อกรัม) ตามลำดับ ตลอดจนจำแนกชนิดของพยาธิด้วยการวิเคราะห์ทางสัณฐานวิทยาและการวิเคราะห์ระดับโมเลกุล โดยแสดงรายละเอียดข้อมูลทางการแพทย์ตามตารางที่ 1

ทั้งนี้ทางภาควิชาชีวโมเลกุลและพันธุศาสตร์โรคเขตร้อนได้ดำเนินการนำตัวอย่างอุจจาระมนุษย์และลำไส้ของพยาธิผสมกับสารละลายไลซิสบัฟเฟอร์ (Lysis buffer) ที่อุณหภูมิ -80°C เพื่อทำลายเชื้อจุลชีพ ก่อนดำเนินการส่งตัวอย่างให้แก่หน่วยปฏิบัติการวิจัยจุลชีววิทยาเชิงระบบ คณะแพทยศาสตร์ จุฬาลงกรณ์มหาวิทยาลัย ในการศึกษาทางห้องปฏิบัติการต่อไป

ตารางที่ 1 แสดงรายละเอียดทางการแพทย์ของอาสาสมัครในจังหวัดตากที่มีการระบาดของพยาธิไส้เดือน

หมวดหมู่	หมู่บ้านที่ศึกษา		
	แม่สลิดหลวง	เกร๊ะคี	
จำนวนอาสาสมัครทั้งหมด	18	12	
เพศของอาสาสมัคร	ชาย	11	5
	หญิง	7	7
ช่วงวัยของอาสาสมัคร	วัยเด็กถึงวัยรุ่น (2-18 ปี)	13	6
	วัยหนุ่มสาว (19-24 ปี)	5	6
สถานะการติดเชื้อพยาธิไส้เดือน	รุนแรงมาก	2	1
	รุนแรงปานกลาง	7	2
	รุนแรงน้อย	ไม่พบ	1
	ไม่ติดเชื้อ	9	8

### การวิเคราะห์ทางห้องปฏิบัติการ

การดำเนินการทดลองสามารถแบ่งออกได้ 3 ขั้นตอนหลัก ได้แก่

1. การศึกษาสังคมแบคทีเรียด้วยวิธีเมตาจีโนมิกส์
2. การศึกษาเมแทบอลิซึมด้วยวิธีเมแทโบโลมิกส์
3. การศึกษาปฏิสัมพันธ์ระหว่างสังคมแบคทีเรียและเมแทบอลิซึมในลำไส้ของหนอนพยาธิ

#### 1. การศึกษาสังคมแบคทีเรียด้วยวิธีเมตาจีโนมิกส์

ประกอบด้วย 8 ขั้นตอนหลัก ได้แก่

- 1.1 การสกัดดีเอ็นเอจากตัวอย่างชิ้นส่วนลำไส้ของพยาธิและอุจจาระของมนุษย์
- 1.2 การวิเคราะห์ความบริสุทธิ์และความเข้มข้นของดีเอ็นเอ
- 1.3 การเตรียมคลังดีเอ็นเอต้นแบบของแบคทีเรียบริเวณยีน 16S rRNA
- 1.4 การวิเคราะห์คุณภาพของคลังดีเอ็นเอต้นแบบ

- 1.5 การทำให้คลังดีเอ็นเอต้นแบบบริสุทธิ์
- 1.6 การวิเคราะห์ความเข้มข้นของคลังดีเอ็นเอต้นแบบ
- 1.7 การหาลำดับเบสด้วยเทคโนโลยีวิเคราะห์ลำดับเบสยุคใหม่
- 1.8 การวิเคราะห์ข้อมูลลำดับเบสของแบคทีเรียด้วยเครื่องมือทางชีวสารสนเทศ

### 1.1 การสกัดดีเอ็นเอจากตัวอย่างชิ้นส่วนลำไส้ของพยาธิและอุจจาระของมนุษย์

สกัดดีเอ็นเอด้วยชุดสกัด GenUP™ gDNA extraction kit ที่ขั้นตอนเริ่มต้นสกัดมีความแตกต่างแล้วแต่ชนิดของตัวอย่าง โดยตัวอย่างลำไส้ของหนอนพยาธิจะเริ่มจากการโฮโมจีไนซ์ (Homogenization) ด้วยเครื่อง TissueLyser LT ร่วมกับ Buffer LYSIS LG ปริมาตร 400  $\mu$ L และ 5 mm Stainless Steel Beads ที่ความถี่ 50 Hz เป็นเวลา 5 นาที ก่อนนำสารละลายไปผสมกับ Proteinase K ปริมาตร 25  $\mu$ L และ RNase A ปริมาตร 3  $\mu$ L ในขณะที่ตัวอย่างอุจจาระของมนุษย์สามารถนำไปผสมร่วมกับสาร Buffer LYSIS LG, Proteinase K และ RNase A ปริมาตร 400, 25 และ 3  $\mu$ L ตามลำดับ ได้โดยไม่ต้องผ่านการโฮโมจีไนซ์ด้วยเครื่อง TissueLyser LT ดังที่กล่าวไปข้างต้น หลังจากบ่มที่อุณหภูมิ 50°C เป็นเวลา 60 นาที และเติม Buffer BINDING BD ปริมาตร 200  $\mu$ L ถ่ายสารละลายทั้งหมดลงใน Mini Filter แล้วปั่นเหวี่ยงด้วยความเร็ว 12,000 รอบต่อนาที เป็นเวลา 2 นาที จากนั้นนำ Mini Filter สวมกับ collection tube ใหม่ แล้วเติม Buffer WASH C ปริมาตร 700  $\mu$ L แล้วนำไปปั่นเหวี่ยงด้วยความเร็ว 12,000 รอบต่อนาที เป็นเวลา 1 นาที และทำซ้ำอีกครั้ง จากนั้นนำ Mini Filter สวมกับ collection tube ใหม่ โดยทำการปั่นเหวี่ยงด้วยความเร็ว 12,000 รอบต่อนาที เป็นเวลา 2 นาที เพื่อกำจัดสารละลายอื่นแล้วทำให้คอลัมน์แห้ง ก่อนนำ Mini Filter ใส่ลงใน 1.5 ml microcentrifuge tube แล้วเติม Buffer ELUTION ปริมาตร 50  $\mu$ L โดยบ่มที่อุณหภูมิห้องเป็นเวลา 5 นาที ก่อนปั่นเหวี่ยงที่ความเร็ว 8,000 รอบต่อนาที เป็นเวลา 1 นาที สารสกัดดีเอ็นเอที่ได้นำไปเก็บไว้ที่ -80°C จนกว่าจะนำออกมาใช้

### 1.2 การวิเคราะห์ความบริสุทธิ์และความเข้มข้นของดีเอ็นเอ

นำสารสกัดดีเอ็นเอไปวัดความเข้มข้นผ่านความสามารถในการดูดกลืนแสงด้วยเครื่อง NanoPhotometer C40 โดยใช้อัตราส่วนของความยาวคลื่น 260 ต่อ 280 nm ในการประเมินความบริสุทธิ์ หากอัตราส่วนดังกล่าวมีค่าน้อยกว่า 1.8 หรือมากกว่า 2.0 จะบ่งชี้ถึงการความปนเปื้อนของโปรตีนและอาร์เอ็นเอสูงตามลำดับ

### 1.3 การเตรียมคลังดีเอ็นเอต้นแบบของแบคทีเรียบริเวณยีน 16S rRNA

การศึกษาในขั้นนี้เริ่มจากเพิ่มปริมาณดีเอ็นเอบริเวณ V4 บนยีน 16S rRNA ของแบคทีเรีย ด้วยปฏิกิริยาลูกโซ่พอลิเมอเรส ที่เป็นการเพิ่มปริมาณดีเอ็นเอหลายเท่าตัวผ่านการจำลองสายดีเอ็นเอ (DNA replication) ในสภาวะเลียนแบบการสังเคราะห์ในสิ่งมีชีวิต โดยใช้สารเคมีและคู่ไพรเมอร์ที่มีลำดับจำเพาะต่อบริเวณที่ 4 บนยีน 16S rRNA (ตารางที่ 2) ที่ความเข้มข้นและปริมาตรดังแสดงใน ตารางที่ 3 เมื่อผสมสารเคมีทั้งหมดลงในหลอด 0.2 mL microcentrifuge จะทำการเพิ่มจำนวนสารพันธุกรรมด้วยเครื่อง Thermocycler ที่อุณหภูมิและจำนวนรอบอย่างจำเพาะดังแสดงรายละเอียดใน ตารางที่ 4

ตารางที่ 2 แสดงลำดับไพรเมอร์ที่ใช้ในปฏิกิริยาลูกโซ่พอลิเมอเรสบริเวณ V4 บนยีน 16S rRNA

ไพรเมอร์	ทิศทาง	ลำดับนิวคลีโอไทด์ (5' → 3')
16S V4_ F515_SP1	Forward	AATGATACGGCGACCACCGAGATCTACACTCTTTCCCTACACGAC GCTCTTCCGATCTTCGCATAGTGCCAGCMGCCGCGGTAA
16S V4_ R806_SP1	Reverse	GTGACTGGAGTTCAGACGTGTGCTCTTCCGATCTGGACTACHVGG GTWTCTAAT

\*ลำดับนิวคลีโอไทด์ที่ขีดเส้นใต้แสดงส่วนที่จำเพาะกับบริเวณ V4 บนยีน 16S rRNA

ตารางที่ 3 แสดงสารเคมีที่ใช้ในปฏิกิริยาลูกโซ่โพลีเมอเรสบริเวณ V4 บนยีน 16S rRNA

สารเคมี	ความเข้มข้นสุดท้าย	ปริมาตร (µl)
10X Reaction buffer	1X	2.5
50 mM MgCl <sub>2</sub>	1.5 mM	0.75
10 mM dNTPs	0.2 mM	0.5
10 µM Forward primer (16S 515F_sp1)	0.2 µM	0.5
10 µM Reverse primer (16S 806R_sp1)	0.2 µM	0.5
5 U/µl <i>Taq</i> DNA Polymerase	0.5 U	0.1
Distilled water	-	18.15
DNA template	-	2.0
รวม		25

ตารางที่ 4 แสดงสภาวะที่ใช้ในปฏิกิริยาลูกโซ่โพลีเมอเรสบริเวณ V4 บนยีน 16S rRNA

ขั้นตอน	อุณหภูมิ (°C)	เวลา	จำนวนรอบ
Initial denaturation	98	30 sec	1
Denaturation	98	10 sec	25
Annealing	53	30 sec	
Extension	72	45 sec	
Final extension	72	10 min	1

เมื่อสังเคราะห์ดีเอ็นเอบริเวณ 16S rRNA อย่างจำเพาะในขั้นก่อน จึงนำสายดีเอ็นเอต้นแบบมาเชื่อมปลายด้วยคู่มือไพรเมอร์อะแดปเตอร์ (Dual-index (8x12) primers) ที่เปรียบเหมือนบาร์โค้ด แสดงความจำเพาะต่อชุดสายดีเอ็นเอนั้น ๆ กับลำดับอะแดปเตอร์ในเครื่องอัลลูมินา ด้วยปฏิกิริยาลูกโซ่โพลีเมอเรส โดยความเข้มข้นของสารเคมีและสภาวะในการเกิดปฏิกิริยาดังกล่าวด้วยเครื่อง

Thermocycler แสดงรายละเอียดในตารางที่ 5 และตารางที่ 6 ตามลำดับ เมื่อดำเนินการเรียบร้อยแล้ว  
แล้วจึงสามารถเก็บคลังดีเอ็นเอต้นแบบไว้ที่อุณหภูมิ  $-20^{\circ}\text{C}$  จนกว่าจะนำมาใช้

ตารางที่ 5 แสดงสารเคมีที่ใช้ในปฏิกิริยาลูกโซ่โพลีเมอเรสต่อการเชื่อมปลายด้วยอะแดปเตอร์

สารเคมี	ความเข้มข้นสุดท้าย	ปริมาตร ( $\mu\text{l}$ )
10X Reaction buffer	1X	7.5
50 mM $\text{MgCl}_2$	1.5 mM	2.25
10 mM dNTPs	0.2 mM	1.5
10 $\mu\text{M}$ Forward primer index	0.2 $\mu\text{M}$	1.5
10 $\mu\text{M}$ Reverse primer index	0.2 $\mu\text{M}$	1.5
5 U/ $\mu\text{l}$ <i>Taq</i> DNA Polymerase	0.5 U	0.3
Distilled water	-	54.45
DNA template	-	6
รวม		75

ตารางที่ 6 แสดงสภาวะที่ใช้ในปฏิกิริยาลูกโซ่โพลีเมอเรสต่อการเชื่อมปลายด้วยอะแดปเตอร์

ขั้นตอน	อุณหภูมิ ( $^{\circ}\text{C}$ )	เวลา	จำนวนรอบ
Initial denaturation	98	30 sec	1
Denaturation	98	10 sec	25
Annealing	55	30 sec	
Extension	72	30 sec	
Final extension	72	10 min	1

#### 1.4 การวิเคราะห์คุณภาพของคลังดีเอ็นเอต้นแบบ

เตรียม 2% agarose gel จากการผสมระหว่างผง agarose น้ำหนัก 2 กรัม กับสารละลาย 1X TBE buffer ปริมาตร 100 ml ลงในขวดรูปชมพู่ จากนั้นเติม Redsafe™ nucleic acid staining solution (Boca Scientific, USA) ปริมาตร 5 µl คนให้เข้ากันแล้วนำไปเข้าไมโครเวฟที่อุณหภูมิ 130°C เป็นเวลา 2 นาที ก่อนเทลงในถาดพร้อมกับหวีเสียบเมื่อเจลแข็ง นำหวีเสียบออกและแช่เจลลงในแทงค์ (Electrophoresis chamber) ที่มี 1X TBE buffer คลุมผิวหน้าเจล จากนั้นนำดีเอ็นเอผสมกับ 6X loading dye ในอัตราส่วน 1:5 และทำการปิเปต 100 bp DNA ladder ลงในแต่ละหลุมเจลก่อนนำไปเปิดใช้กระแสไฟฟ้าที่ 100 volts เป็นเวลา 45 นาที เมื่อครบเวลานำผลเจลไปส่องภายใต้แสงยูวีด้วยเครื่อง Gel Doc 1000 เพื่อสังเกตแถบดีเอ็นเอที่คาดหวัง

#### 1.5 การทำให้คลังดีเอ็นเอต้นแบบบริสุทธิ์

ทำคลังดีเอ็นเอต้นแบบให้บริสุทธิ์ด้วยชุดสกัด QIAquick gel extraction kit โดยเริ่มจากนำชิ้นส่วนเจลบริเวณแถบที่คาดหวังจากกระบวนการอะโรสเจลอิเล็กโทรโฟรีซิส มาใช้เป็นสารตั้งต้นในการผสมกับ Buffer QG ปริมาตร 300 µl ที่อุณหภูมิ 50°C ด้วยความเร็ว 500 รอบต่อนาที เป็นเวลา 10 นาที ก่อนทำผสมด้วย Isopropanol ปริมาตร 100 µL จากนั้นนำสารละลายทั้งหมดเติมลงใน QIAquick column เพื่อปั่นเหวี่ยงด้วยความเร็ว 13,000 รอบต่อนาที เป็นเวลา 1 นาที แล้วเทสารละลายใน collection tube ออก ทำการเติม Buffer QG ปริมาตร 500 µL พร้อมทั้งปั่นเหวี่ยงด้วยความเร็ว 13,000 รอบต่อนาที เป็นเวลา 1 นาที แล้วเทสารละลายใน collection tube ออก จากนั้นทำการเติม Buffer PE ปริมาตร 700 µL ตั้งทิ้งไว้ 3 นาที แล้วนำไปปั่นเหวี่ยงด้วยความเร็ว 13,000 รอบต่อนาที เป็นเวลา 1 นาที ก่อนเทสารละลายใน collection tube ออก และสุดท้ายทำการปั่นเหวี่ยงด้วยความเร็ว 13,000 รอบต่อนาที เป็นเวลา 2 นาที เพื่อให้คอลัมน์แห้งรวมถึงกำจัดสารละลายที่ติดค้าง จากนั้นนำ QIAquick column ใส่ลงใน 1.5 ml microcentrifuge tube แล้วเติม Buffer EB ปริมาตร 30 µL ตั้งทิ้งไว้ 5 นาที แล้วนำไปปั่นเหวี่ยงด้วยความเร็ว 13,000 รอบต่อนาที เป็นเวลา 1 นาที นำสารสกัดบริสุทธิ์ของคลังดีเอ็นเอต้นแบบไว้ที่อุณหภูมิ -80°C จนกว่าจะนำมาใช้

#### 1.6 การวิเคราะห์ความเข้มข้นของคลังดีเอ็นเอต้นแบบ

ตรวจวัดปริมาณคลังดีเอ็นเอต้นแบบผ่านการเพิ่มจำนวนดีเอ็นเออย่างจำเพาะตั้งแต่เริ่มต้นจนกระทั่งสิ้นสุดปฏิกิริยาด้วยเทคนิคการตรวจวัดแบบเรียลไทม์พีซีอาร์ (real-time PCR; Real Time polymerase chain reaction) ในการทดลองนี้ใช้ชุดสำเร็จรูป KAPA Library Quantification Kit ที่ประกอบไปด้วยสารเคมีและคู่มือที่มีลำดับจำเพาะ (ตารางที่ 7) ที่ความเข้มข้นและปริมาตรดัง



แสดงในตารางที่ 8 เมื่อผสมสารเคมีทั้งหมดลงใน 0.1 mL qPCR 8-strip with attached flat caps จะทำการเพิ่มจำนวนสารพันธุกรรมด้วยเครื่อง StepOnePlus™ Real-Time PCR ที่อุณหภูมิและจำนวนรอบดังแสดงรายละเอียดในตารางที่ 9 ซึ่งปริมาณแสงที่วัดได้จะเป็นตัวบ่งชี้ในเชิงปริมาณที่เพิ่มขึ้นของดีเอ็นเอในแต่ละรอบปฏิกิริยา ปริมาณของดีเอ็นเอจะถูกคำนวณความเข้มข้นเทียบกับตัวอย่างดีเอ็นเอมาตรฐาน (DNA standard) จำนวน 6 ความเข้มข้นจากชุดสำเร็จรูปที่กล่าวไปข้างต้น เมื่อเครื่องดำเนินการเรียบร้อยแล้วนำสารคลั่งดีเอ็นเอต้นแบบไปเก็บที่อุณหภูมิ -80°C จนกว่าจะนำมาใช้ รวมถึงนำผลความเข้มข้นที่ได้ไปวิเคราะห์เพื่อทำการปรับความเข้มข้นให้เหมาะสมต่อการอ่านลำดับเบส (6 pM) ด้วยเครื่องอิลลูมินา

ตารางที่ 7 แสดงลำดับไพรเมอร์ที่ใช้ในการวิเคราะห์ความเข้มข้นของคลั่งดีเอ็นเอต้นแบบ

ไพรเมอร์	ทิศทาง	ลำดับนิวคลีโอไทด์ (5' → 3')
KAPA_F	Forward	AATGATACGGCGACCACCGA
KAPA_R	Reverse	CAAGCAGAAGACGGCATAACGA

ตารางที่ 8 แสดงสารเคมีที่ใช้ในปฏิกิริยาเรียลไทม์พีซีอาร์

สารเคมี	ปริมาตร (μl)
KAPA SYBR® FAST qPCR Master Mix (2X) Universal	10
10 μM KAPA_F	0.4
10 μM KAPA_R	0.4
DEPC	5.2
10000X diluted DNA library	4
รวม	20

ตารางที่ 9 แสดงสถานะที่ใช้ในปฏิกิริยาเรียลไทม์พีซีอาร์

ขั้นตอน	อุณหภูมิ (°C)	เวลา	จำนวนรอบ
Initial denaturation	95	5 min	1
Denaturation	95	30 sec	35
Annealing	60	45 sec*	

\*มีการตรวจวัดการเรืองแสงที่ช่องสัญญาณ SYBR Green ทุกรอบของการเพิ่มจำนวน

### 1.7 การหาลำดับเบสด้วยเทคโนโลยีวิเคราะห์ลำดับเบสยุคใหม่

ทำการวิเคราะห์ลำดับเบสโดยใช้เครื่องอิลลูมินารุ่น MiSeq ที่อาศัยหลักการสังเคราะห์สายดีเอ็นเอแบบสองทาง (Paired-end) จำนวน 250x2 รอบ โดยอาศัยชุดสำเร็จรูป MiSeq Reagent Kit v2 (500-cycles) ที่ประกอบด้วยเอนไซม์ดีเอ็นเอพอลิเมอเรส และนิวคลีโอไทด์ทั้งสี่ชนิดที่ผ่านการดัดแปลงให้มีคุณสมบัติในการคืนสภาพในการสังเคราะห์สายดีเอ็นเอกลับขึ้นมา และมีการติดฉลากสารเรืองแสงด้วยสีที่แตกต่างกันที่บริเวณเบส โดยงานวิจัยนี้ได้ใช้ 20% PhiX spike-in control ในการควบคุมความผิดพลาดอันเกิดจากการตรวจวัดความยาวคลื่นแสงที่ได้จากการกระตุ้นด้วยเลเซอร์ ซึ่งลำดับเบสที่ได้จากการบันทึกค่าความยาวคลื่นจะถูกรวบรวมอยู่ในรูปข้อมูล FASTQ ที่บ่งบอกถึงลำดับและคุณภาพของสายดีเอ็นเอ

### 1.8 การวิเคราะห์ข้อมูลลำดับเบสของแบคทีเรียด้วยเครื่องมือทางชีวสารสนเทศ

ข้อมูลสายลำดับเบสที่ได้จากเครื่องอิลลูมินารุ่น MiSeq จะอยู่ในรูปข้อมูล FASTQ ที่ผ่านการแยกเพื่อระบุตัวอย่างของคลัสเตอร์ดีเอ็นเอต้นแบบที่ผสมรวมกัน (Demultiplexed) ด้วยโปรแกรม MiSeq reporter v2.6.2.3 โดยข้อมูล FASTQ ที่เก็บข้อมูลช่วงลำดับเบสสองทิศทาง (paired-end read) จะถูกนำมาวิเคราะห์ตามขั้นตอนผ่านโปรแกรม QIIME2 v2019.7 (36) โดยเริ่มจากการตัดชิ้นส่วนของอะแดปเตอร์ และกรองสายลำดับเบสคุณภาพต่ำออก (<Q30) จากนั้นนำสายลำดับเบสคุณภาพสูงไปจัดกลุ่มที่คล้ายคลึงกัน (มากกว่าร้อยละ 97) ให้อยู่ในหน่วยอนุกรมวิธานเชิงปฏิบัติการ (OTUs; Operational taxonomic units) เดียวกันด้วยอัลกอริทึม VSEARCH (37) พร้อมทั้งกำจัดสายลำดับเบสลูกผสม (Chimera read) ออกด้วยอัลกอริทึม UCHIME (38) จากนั้นนำสายลำดับเบสที่เป็นตัวแทนแต่ละ OTU ไปเทียบกับฐานข้อมูลของแบคทีเรีย Greengenes v13.5 (<https://greengenes.secondgenome.com/>) ด้วยอัลกอริทึม VSEARCH เพื่อระบุชนิดและปริมาณสัมพันธ์ของแบคทีเรีย รวมถึงคำนวณหาความหลากหลายทางชีวภาพภายในกลุ่มเดียวกัน

(Alpha diversity) ด้วยดัชนี Chao1 และ Shannon เพื่อระบุความหลากหลายชนิด (Richness) และความสม่ำเสมอ (Evenness) ของแบคทีเรีย รวมไปถึงการหาความหลากหลายทางชีวภาพระหว่างกลุ่ม (Beta diversity) ด้วยดัชนี Bray-Curtis dissimilarity ผ่านโปรแกรม QIIME2 ตลอดจนวิเคราะห์ผลกระทบในการจำแนกกลุ่มเชิงเส้น (LEfSe; Linear discriminant analysis effect size) (39) เพื่อจำแนกแบคทีเรียที่โดดเด่นระหว่างกลุ่มตัวอย่างที่ศึกษาด้วยโปรแกรมที่ทำงานบนเว็บ เบราร์เซอร์ Galaxy server (<https://huttenhower.sph.harvard.edu/galaxy/>) สุดท้ายทำการวิเคราะห์ความสัมพันธ์ทางสถิติของข้อมูลสองกลุ่มที่เป็นอิสระต่อกันด้วย Mann-Whitney U test และการทดสอบข้อมูลมากกว่าสองกลุ่มที่เป็นอิสระต่อกันด้วย Kruskal-Wallis test ผ่านโปรแกรม GraphPad Prism v8 (40)

## 2. การศึกษาเมแทบอลอโลมด้วยวิธีเมแทโบโลมิกส์

ประกอบด้วย 3 ขั้นตอนหลักได้แก่

- 2.1 การสกัดสารเมแทบอลอโลมจากตัวอย่างชิ้นส่วนลำไส้พยาธิ
- 2.2 การระบุชนิดและปริมาณสารเมแทบอลอโลมด้วยเทคโนโลยีอัลตราไฮเพอร์ฟอร์แมนซ์ลิกวิดโครมาโทกราฟี-แมสสเปกโตรเมตรี
- 2.3 การวิเคราะห์ข้อมูลสารเมแทบอลอโลมและแสดงวิธีเมแทบอลิซึมด้วยเครื่องมือทางชีวสารสนเทศ

### 2.1 การสกัดสารเมแทบอลอโลมจากชิ้นส่วนลำไส้พยาธิ

นำตัวอย่างชิ้นส่วนลำไส้พยาธิผสมกับ 100% methanol ปริมาตร 500  $\mu$ L ลงใน Dounce tissue grinder 2 mL เพื่อบดสารให้เข้ากัน จากนั้นทำการแช่แข็งอย่างรวดเร็วด้วยไนโตรเจนเหลว (Liquid nitrogen) ที่ไว้จนละลายก่อนนำไปปั่นเหวี่ยงด้วยความเร็ว 2,800 รอบต่อนาที ที่อุณหภูมิ 4°C เป็นเวลา 1 นาที เก็บสารละลายสกัดลงในหลอดใหม่ จากนั้นนำตะกอนที่เหลือไปทำการสกัดอีกครั้งด้วยน้ำปราศจากไอออน ปริมาตร 250  $\mu$ L แล้วทำการแช่แข็งอย่างรวดเร็วด้วยไนโตรเจนเหลว ที่ไว้จนละลายก่อนนำไปปั่นเหวี่ยงด้วยความเร็ว 17,000 รอบต่อนาที ที่อุณหภูมิ 4°C เป็นเวลา 1 นาที เพื่อเก็บสารที่สกัดใหม่ลงในหลอดผสมสารละลายเดิม ในขั้นสุดท้ายนำสารละลายผสมทั้งหมดไปปั่นเหวี่ยงด้วยความเร็ว 17,000 รอบต่อนาที ที่อุณหภูมิ 4°C เป็นเวลา 1 นาที แล้วย้ายลงหลอดใหม่ เพื่อทำให้แห้งด้วยเครื่องปั่นสุญญากาศ (Speed vacuum) ก่อนเก็บไว้ที่อุณหภูมิ -80°C จนกว่าจะนำมาใช้

## 2.2 การระบุชนิดและปริมาณสารเมแทบอลิต์ด้วยเทคโนโลยีอัลตราไฮเพอร์ฟอร์แมนซ์ลิควิดโครมาโทกราฟี-แมสส์สเปกโตรเมตรี

ในชั้นศึกษาด้วยเครื่องอัลตราไฮเพอร์ฟอร์แมนซ์ลิควิดโครมาโทกราฟี และแมสสเปกโตรมิเตอร์แบบควอดรูโพล-ไทม์ออฟไฟล์ท ได้รับความอนุเคราะห์จากภาควิชาชีวโมเลกุลและพันธุศาสตร์ โรคเขตร้อน คณะเวชศาสตร์เขตร้อน มหาวิทยาลัยมหิดล ที่ดำเนินการตรวจวัดชนิดและปริมาณสารเมแทบอลิต์โดยมีรายละเอียดสถานะที่ใช้ศึกษาแสดงในตารางที่ 10 และดำเนินการส่งข้อมูลให้แก่หน่วยปฏิบัติการวิจัยจุลชีววิทยาเชิงระบบ คณะแพทยศาสตร์ จุฬาลงกรณ์มหาวิทยาลัย ในการศึกษาทางชีวสารสนเทศต่อไป

ตารางที่ 10 แสดงสถานะที่ใช้ในการวิเคราะห์ด้วยเทคโนโลยีอัลตราไฮเพอร์ฟอร์แมนซ์ลิควิดโครมาโทกราฟี-แมสส์สเปกโตรเมตรี

ปริมาตรสารที่ฉีด	5 $\mu$ L
อัตราการไหล	0.3 mL/min
อุณหภูมิคอลัมน์	40°C
ชนิดของคอลัมน์	C18 reversed-phase column (2.1 $\times$ 100 mm, 1.8 $\mu$ M)
ชนิดของเฟสเคลื่อนที่	เฟสเคลื่อนที่ชนิดที่ 1 กรดฟอร์มิกในน้ำกลั่น 0.1% เฟสเคลื่อนที่ชนิดที่ 2 กรดฟอร์มิกในอะซีโตนไตรล์ 0.1%
อุณหภูมิแก๊ส N <sub>2</sub>	450°C
ส่วนผลิตไอออน	อิเล็กโตรสเปย์ไอออนไนเซชัน (ESI) ผลิตทั้งประจุบวกและลบ
ส่วนวิเคราะห์มวล	ชนิดควอดรูโพล-ไทม์ออฟไฟล์ท (Q-TOF)

ทำการผ่านเฟสเคลื่อนที่แบบเกรเดียนท์เพื่อประสิทธิภาพในการแยกที่สมบูรณ์ โดยเมื่อทำการทดลองเพื่อหาอัตราส่วนที่เหมาะสมของเฟสเคลื่อนที่ ณ เวลาต่างๆ จนได้อัตราส่วนที่เหมาะสมดังแสดงในตารางที่ 11

ตารางที่ 11 แสดงอัตราส่วนที่เหมาะสมของเฟสเคลื่อนที่ต่อเวลา

เวลา (min)	กรดฟอร์มิกในน้ำกลั่น 0.1% (%v/v)	กรดฟอร์มิกในอะซีโตไนไตรล์ 0.1% (%v/v)
0.0	95	5
2.0	95	5
2.5	40	60
4.0	20	80
12.0	0	100
17.0	0	100
17.1	95	5
20.0	95	5

### 2.3 การวิเคราะห์ข้อมูลสารเมแทบอลิต์และแสดงวิถีเมแทบอลิซึมด้วยเครื่องมือทางชีวสารสนเทศ

ข้อมูลที่ได้จากเครื่องอัลตราไฮเพอร์ฟอร์แมนซ์ลิควิดโครมาโทกราฟี และแมสสเปกโตรมิเตอร์แบบควอดรูโพล-ไทม์ออฟไฟท์จะอยู่ในรูปข้อมูลสกุล .wiff และ .wiff.scan ซึ่งจะถูกแปลงสกุลเป็น .mzML ด้วยโปรแกรม MSConvert (41) ก่อนทำการระบุชนิดของสารเมแทบอลิต์ผ่านการเทียบแนวพีค (Peak alignment) กับฐานข้อมูล METLIN (<http://metlin.scripps.edu>) ด้วยโปรแกรม XCMS v3.7.1 (42) โดยใช้อัลกอริทึม CentWave (43) เพื่อคัดกรองข้อมูลที่มีความผิดพลาด (Tolerance error) มากกว่า 15 ppm ออก จากนั้นทำการวิเคราะห์ทางสถิติเพื่อเปรียบเทียบปริมาณสารเมแทบอลิต์ที่แตกต่างกันระหว่างกลุ่มตัวอย่างด้วยกราฟ Volcano และวิเคราะห์สหสัมพันธ์หลายตัวแปร (Multivariate analysis) ผ่านการจัดกลุ่มแบบกำลังสองน้อยที่สุดบางส่วน (PLS-DA; Partial least squares-discriminant analysis) ผ่านโปรแกรม MetaboAnalyst v5.0

(44) ทำให้สามารถแสดงวิถีเมแทบอลิซึมผ่านอัลกอริทึม Mummichog (45) โดยเทียบกับข้อมูลวิถีเมแทบอลิซึมของหนอนตัวกลม (*Caenorhabditis elegans*) ในฐานข้อมูล KEGG (Kyoto encyclopedia of genes and genomes) ([www.genome.jp/kegg](http://www.genome.jp/kegg))

### 3. การศึกษาปฏิสัมพันธ์ระหว่างสังคมแบคทีเรียและเมแทบอลิซึมในลำไส้ของหนอนพยาธิ

จากข้อมูลชนิดและปริมาณสัมพันธ์ของแบคทีเรียในระดับสกุล (Genus) และสารเมแทบอลิซึมที่มีความสำคัญต่อตัวแปรในการทดลอง (VIP; Variable importance in projection) จะถูกนำมาศึกษาปฏิสัมพันธ์ผ่านการสร้างเครือข่ายเชิงบูรณาการ (Integrative network) ด้วยโปรแกรมที่ทำงานบนเว็บเบราว์เซอร์ xMWAS v0.552 (<https://kuppal.shinyapps.io/xmwas/>) โดยอาศัยการจำแนกประเภทแบบกำลังสองน้อยที่สุดบางส่วน (PLS-DA) ก่อนทำการศึกษาสหสัมพันธ์แบบเพียร์สัน (Pearson correlation) พร้อมทั้งวิเคราะห์ด้วยการแจกแจงทางสถิติแบบสตีวเดนต์ที (Student's *t*-test) ที่มีนัยสำคัญทางสถิติ ( $P < 0.05$ ) นอกจากนี้ความเป็นศูนย์กลางในเครือข่ายจะถูกนำมาพิจารณาความแตกต่างระหว่างกลุ่มตามอิทธิพลการเชื่อมโยงของจุดยอดแบบไอเกนเวกเตอร์ (Eigenvector centrality) เพื่อช่วยในการจัดกลุ่มตัวอย่างได้อย่างแม่นยำ

## บทที่ 4 ผลการศึกษา

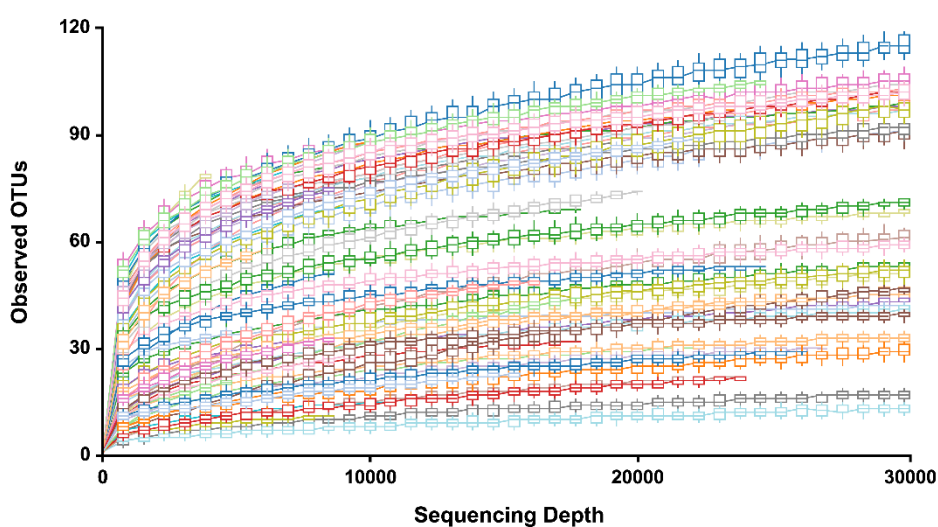
### ข้อมูลจากการหาลำดับเบสด้วยเครื่องอิลลูมินา

หลังจากหาลำดับเบสของยีน 16S rRNA ด้วยเทคโนโลยีวิเคราะห้ลำดับเบสยุคใหม่ ชุดข้อมูลดิบของสายลำดับเบส (Raw read) ของตัวอย่างชิ้นส่วนลำไส้พยาธิและตัวอย่างอุจจาระมนุษย์มีทั้งหมด 2,343,769 สาย คิดเป็นค่าเฉลี่ยต่อตัวอย่างอยู่ที่ 34,467 สาย แสดงรายละเอียดในเชิงปริมาณของชุดข้อมูลลำดับเบสโดยสรุปในตารางที่ 12 โดยชุดข้อมูลดิบของสายลำดับเบสจะถูกตัดชิ้นส่วนของอะแดปเตอร์ และกรองสายลำดับเบสคุณภาพต่ำออก ก่อนนำไปเทียบกับฐานข้อมูลเพื่อระบุชนิดของแบคทีเรียในระบบอนุกรมวิธาน ซึ่งจำนวนชุดสายข้อมูลดังกล่าวให้ข้อมูลที่เพียงพอการนำไปวิเคราะห์ในระดับต่อไปดังแสดงในภาพที่ 8

ตารางที่ 12 แสดงรายละเอียดในเชิงปริมาณของข้อมูลสายลำดับเบส

ชนิดตัวอย่าง	จำนวน	จำนวนสายข้อมูลดิบของลำดับเบสต่อตัวอย่าง*	จำนวนสายข้อมูลลำดับเบสที่ผ่านการกรองต่อตัวอย่าง*	%ระบุชนิดแบคทีเรีย
ลำไส้พยาธิ	38	32,806 ± 21,490	32,746 ± 21,425	91.49
อุจจาระมนุษย์	30	36,571 ± 23,599	36,451 ± 23,525	93.85

\*ข้อมูลในตารางแสดงเป็นค่าเฉลี่ย ± SD

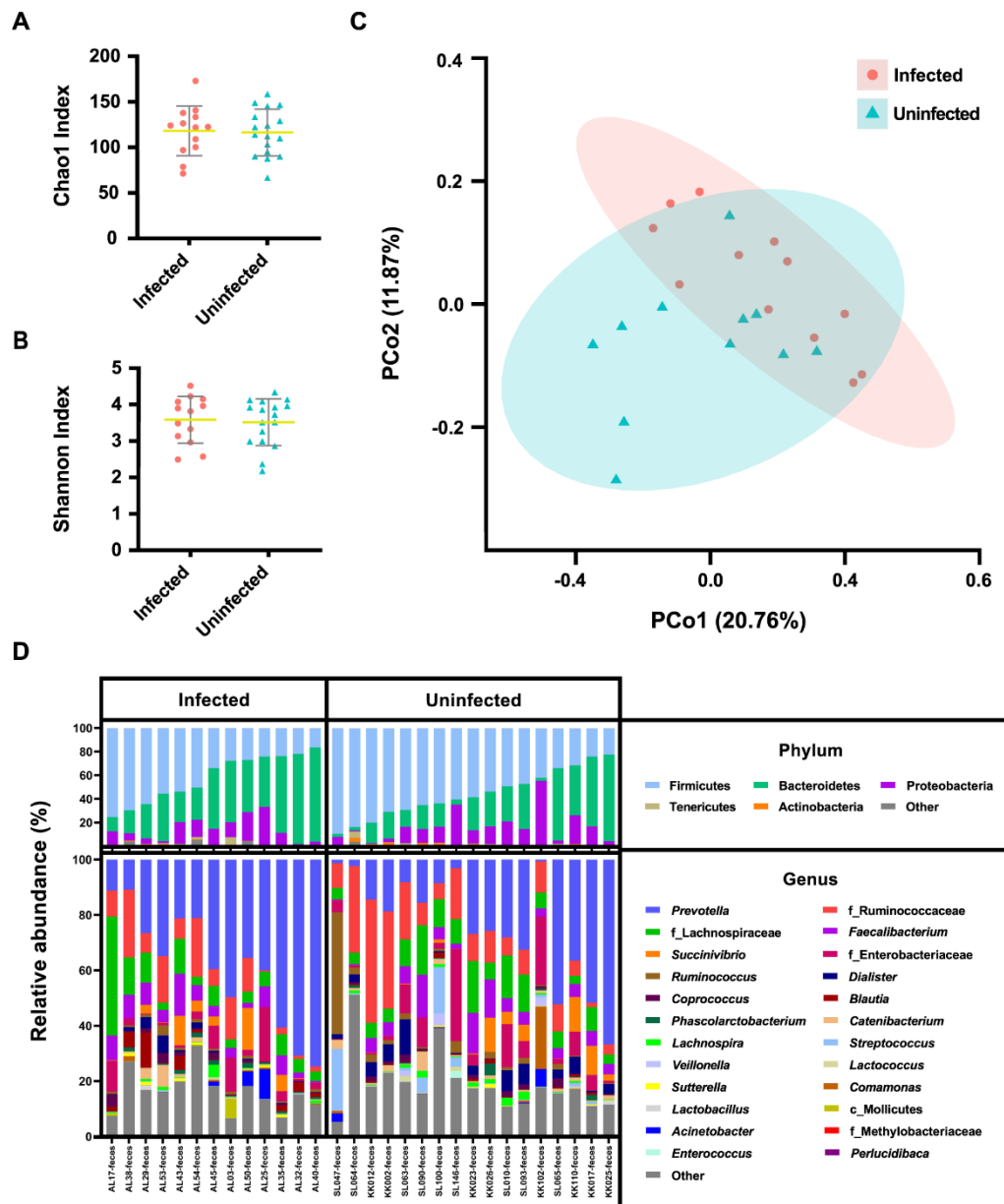


ภาพที่ 8 แสดงจำนวนชุดข้อมูลดิบของสายลำดับเบสในแต่ละตัวอย่างด้วยสีที่แตกต่างกัน โดยสายลำดับเบสดังกล่าวสามารถจัดกลุ่มเพื่อระบุชนิดของแบคทีเรียในระบบอนุกรมวิธาน

### ชนิดและความหลากหลายของสังคมแบคทีเรียในลำไส้มนุษย์

จากวิเคราะห์ความหลากหลายของแบคทีเรียภายในกลุ่มเดียวกันด้วยดัชนี Chao1 และ Shannon สังคมแบคทีเรียในลำไส้ระหว่างผู้ป่วยโรคพยาธิไส้เดือนกับมนุษย์ที่ไม่ติดเชื้อ ไม่พบความแตกต่างที่มีนัยสำคัญ (ภาพที่ 9A-B) อย่างไรก็ตามความหลากหลายของแบคทีเรียระหว่างกลุ่มที่วิเคราะห์จากองค์ประกอบหลักของข้อมูล (PCoA; Principal coordinate analysis) โดยอิงจากดัชนี Bray-Curtis dissimilarity พบความแตกต่างของสังคมแบคทีเรียในอุจจาระมนุษย์ระหว่างอาสาสมัครที่ติดเชื้อและไม่ติดเชื้อพยาธิไส้เดือน (ภาพที่ 9C) เมื่อวิเคราะห์ชนิดและปริมาณสัมพันธ์ของแบคทีเรียที่พบในอุจจาระมนุษย์ เผยให้เห็นถึงชนิดของแบคทีเรียที่โดดเด่นในระดับไฟลัมโดเนเรียจมากไปน้อย ได้แก่ Firmicutes, Bacteroidetes และ Proteobacteria ตามลำดับ อย่างไรก็ตามเมื่อวิเคราะห์ชนิดและปริมาณของแบคทีเรียในระดับสกุล พบแบคทีเรีย *Prevotella* โดดเด่นในผู้ป่วยโรคพยาธิไส้เดือนถึงร้อยละ 16.6% ซึ่งมากกว่าอาสาสมัครที่ไม่ติดเชื้อ (13.1%) อย่างมีนัยสำคัญทางสถิติ (Mann-Whitney U test,  $P < 0.05$ ) นอกจากนี้การศึกษาแบคทีเรียในระดับวงศ์ (Family) พบการลดลงของแบคทีเรีย Ruminococcaceae และ Lachnospiraceae ในลำไส้ของผู้ป่วยโรคพยาธิไส้เดือนดังแสดงในภาพที่ 9D





ภาพที่ 9 แสดงชนิดและความหลากหลายของสิ่งมีชีวิตที่เรียในลำไส้มนุษย์ โดยการวิเคราะห์ความหลากหลายภายในกลุ่มเดียวกันเทียบกับอาสาสมัครที่ติดเชื้อและไม่ติดเชื้อโรคพยาธิไส้เดือนด้วยดัชนี Chao1 (A) และ Shannon (B) แสดงผลเป็นกราฟการกระจายโดยมีแทบความคลาดเคลื่อนที่คำนวณจากค่าเบี่ยงเบนมาตรฐาน รวมไปถึงแสดงความแตกต่างทางสถิติด้วย Mann-Whitney U test ( $P < 0.05$ ) และการวิเคราะห์ความหลากหลายระหว่างกลุ่มเทียบกับอาสาสมัครที่ติดเชื้อและไม่ติดเชื้อโรคพยาธิไส้เดือนโดยอิงจากดัชนี Bray-Curtis dissimilarity ที่อธิบายช่วงความเชื่อมั่นสูงภายในรูปวงกลมสี (C) กราฟแท่งแสดงชนิดและปริมาณสัมพัทธ์ของแบคทีเรียในระดับไฟลัมและสกุลที่โดดเด่นในลำไส้อาสาสมัครที่ติดเชื้อและไม่ติดเชื้อโรคพยาธิ (D)

### ชนิดและความหลากหลายของสังคมแบคทีเรียในพยาธิไส้เดือน

จากการศึกษาสังคมแบคทีเรียในลำไส้พยาธิไส้เดือนบริเวณส่วนต้น (Anterior gut) กับส่วนปลาย (Posterior gut) ด้วยเทคโนโลยีวิเคราะห์ลำดับเบส จากการวิเคราะห์ความหลากหลายภายในกลุ่มเดียวกันด้วยดัชนี Chao1 และ Shannon ไม่พบความแตกต่างของแบคทีเรียในลำไส้พยาธิบริเวณส่วนต้นกับปลายอย่างมีนัยสำคัญ (ภาพที่ 10A-B) อย่างไรก็ตามความแตกต่างทางสถิติระหว่างกลุ่มข้อมูลที่วิเคราะห์ด้วยดัชนี Bray-Curtis dissimilarity เผยให้เห็นความใกล้ชิดกันของแบคทีเรียในลำไส้พยาธิทั้งสองส่วนที่บริเวณความชื้นสูง (95%) (ภาพที่ 10E) และการวิเคราะห์ชนิดและปริมาณสัมพันธ์ของแบคทีเรียในลำไส้พยาธิไส้เดือนบริเวณส่วนต้นและปลายดังแสดงในภาพที่ 11 พบแบคทีเรียไฟลัม Firmicutes (71.5%) และ Proteobacteria (23.5%) มากในลำไส้พยาธิ เมื่อพิจารณาในระดับสกุลพบแบคทีเรีย *Streptococcus* (27.9%) และ *Lactococcus* (26.4%) เจริญอยู่ในลำไส้พยาธิอย่างโดดเด่น

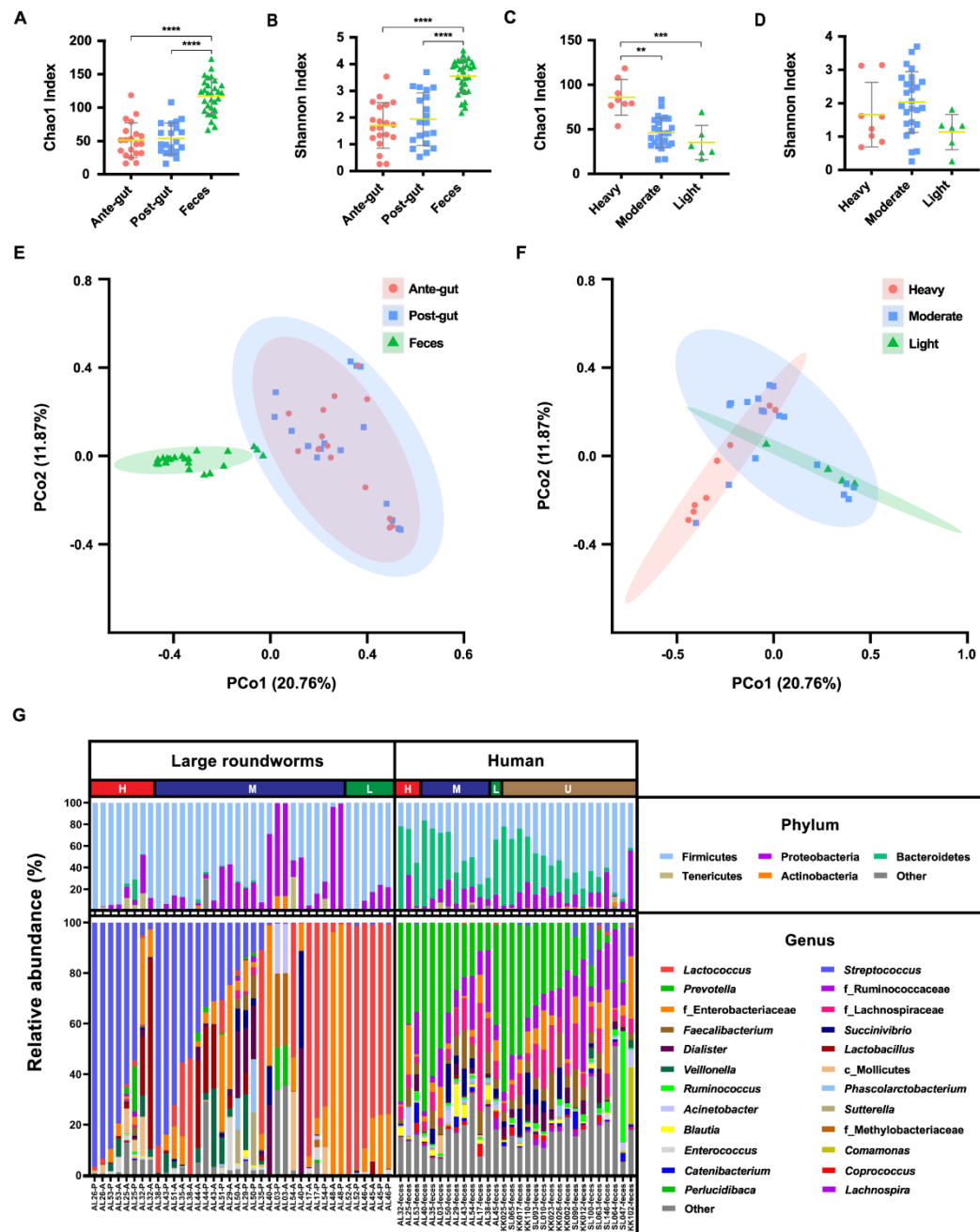
### เปรียบเทียบชนิดและความหลากหลายของสังคมแบคทีเรียระหว่างมนุษย์กับพยาธิไส้เดือน

จากการศึกษาความหลากหลายภายในกลุ่มเดียวกันด้วยดัชนี Chao1 และ Shannon แสดงให้เห็นถึงความหลากหลายของแบคทีเรียในอุจจาระมนุษย์สูงกว่าในลำไส้พยาธิไส้เดือนอย่างมีนัยสำคัญทางสถิติ (Kruskal-Wallis test,  $P < 0.05$ ) ดังแสดงในภาพที่ 10A-B โดยผลจากการวิเคราะห์ความหลากหลายชนิดของแบคทีเรียในลำไส้พยาธิด้วยดัชนี Chao1 พบความแตกต่างอย่างมีนัยสำคัญในพยาธิที่สถานะติดเชื้อรุนแรงมาก (Heavy infected) เมื่อเทียบกับสถานะอื่น ๆ (ภาพที่ 10C) ในขณะที่ดัชนี Shannon ไม่พบความแตกต่างระหว่างสถานะการติดเชื้อ (ภาพที่ 10D) อย่างไรก็ตามการวิเคราะห์ทางสถิติระหว่างกลุ่มข้อมูลด้วยดัชนี Bray-Curtis dissimilarity แสดงให้เห็นถึงการความแตกต่างระหว่างแบคทีเรียในอุจจาระมนุษย์กับลำไส้พยาธิไส้เดือนอย่างชัดเจน ในขณะที่สัดส่วนของแบคทีเรียในลำไส้พยาธิบริเวณส่วนต้นกับปลาย มีความคล้ายคลึงกัน (ภาพที่ 10E) นอกจากนี้ยังเผยให้เห็นถึงผลกระทบของสถานะการติดเชื้อส่งผลต่อแบคทีเรียในลำไส้พยาธิไส้เดือน โดยพยาธิที่ขับออกผู้ป่วยสถานะการติดเชื้อรุนแรงมากแสดงความแตกต่างทางความหลากหลายของแบคทีเรียมากกว่ากลุ่มที่ติดเชื้อรุนแรงปานกลาง (Moderate infected) และน้อย (Light infected) ดังแสดงในภาพที่ 10F

ชนิดและปริมาณสัมพันธ์ของแบคทีเรียในลำไส้มนุษย์และพยาธิไส้เดือนที่โดดเด่นในลำไส้พยาธิและมนุษย์เทียบกับสถานะการติดเชื้อ (ภาพที่ 10G) พบแบคทีเรียไฟลัม Firmicutes ในลำไส้มนุษย์และพยาธิโดดเด่นมากกว่าแบคทีเรียชนิดอื่น ๆ ถึงร้อยละ 62 อย่างไรก็ตามในลำไส้มนุษย์พบแบคทีเรีย Bacteroidetes (34.3%) โดดเด่นมาก ในขณะที่เดียวกันยังพบแบคทีเรีย Proteobacteria (23.5%) โดดเด่นในลำไส้ของพยาธิ เมื่อทำการเปรียบเทียบความสัมพันธ์ของแบคทีเรียในลำไส้กับ

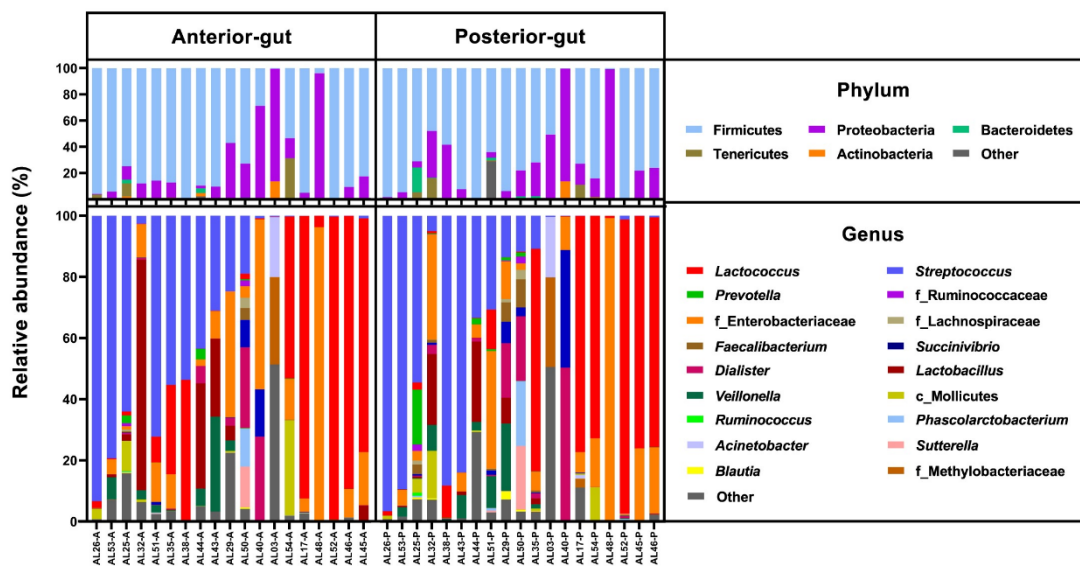
สถานะการติดเชื้อมักไม่พบความแตกต่างของแบคทีเรียในระดับไฟลัม แต่เมื่อพิจารณาชนิดและปริมาณสัมพันธ์ของแบคทีเรียในระดับสกุลในลำไส้ของพยาธิเผยให้เห็นถึงผลกระทบจากสถานะการติดเชื้อพยาธิอย่างเห็นได้ชัด โดยสกุลของแบคทีเรียที่พบได้มากในสถานะการติดเชื้อรุนแรงมาก คือ *Streptococcus* (12.8%) ในขณะที่ผู้ป่วยสถานะการติดเชื้อรุนแรงน้อยจะถูกครอบงำด้วยแบคทีเรียสกุล *Lactococcus* (13.5%) นอกจากนี้แบคทีเรียในระดับสกุลดังกล่าวสามารถพบในผู้ป่วยสถานะการติดเชื้อรุนแรงปานกลางที่อัตราส่วนใกล้เคียงกัน (*Lactococcus* (12.7%) และ *Streptococcus* (15.1%)) ซึ่งเป็นที่น่าสนใจว่าชนิดของแบคทีเรียที่โดดเด่นในลำไส้พยาธิจะมีโอกาสพบในลำไส้มนุษย์ได้น้อยอย่างมีนัยสำคัญ





ภาพที่ 10 แสดงชนิดและความหลากหลายของสิ่งมีชีวิตที่เรียกในลำไส้พยาธิและมนุษย์ โดยการวิเคราะห์ความหลากหลายภายในกลุ่มเดียวกันเทียบกับชนิดของตัวอย่าง (A, B) และสถานะการติดเชื้อในมนุษย์ (C, D) ด้วยคำนวณจากดัชนี Chao1 และ Shannon แสดงผลเป็นกราฟการกระจาย โดยมีแถบความคลาดเคลื่อนที่คำนวณจากค่าเบี่ยงเบนมาตรฐาน รวมไปถึงแสดงความแตกต่างทางสถิติด้วย Kruskal-Wallis test (\*\* $P < 0.01$ , \*\*\* $P < 0.001$ , \*\*\*\* $P < 0.0001$ ) และการวิเคราะห์ความหลากหลายระหว่างกลุ่มศึกษาเทียบกับชนิดของตัวอย่าง (E) และสถานะการติดเชื้อในมนุษย์ (F)

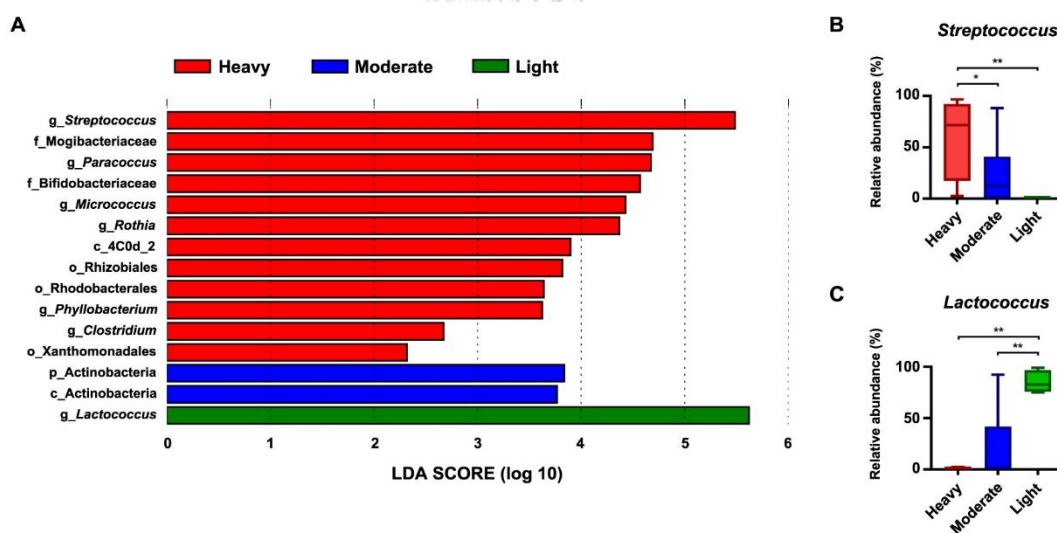
โดยอิงจากดัชนี Bray-Curtis dissimilarity ที่อธิบายช่วงความเชื่อมั่นสูงภายในรูปวงกลมสี (G) กราฟ  
 แท่งแสดงชนิดและปริมาณสัมพัทธ์ของแบคทีเรียในระดับไฟลัมและสกุลที่โดดเด่นในลำไส้พยาธิและ  
 มนุษย์เทียบกับสถานะการติดเชื้อ



ภาพที่ 11 กราฟแท่งแสดงชนิดและปริมาณสัมพัทธ์ของแบคทีเรียในระดับไฟลัมและสกุลที่โดดเด่นใน  
 ลำไส้ของพยาธิไส้เดือนบริเวณส่วนต้นและส่วนปลาย

### ความแตกต่างทางความชุกของสัณฐานแบคทีเรียในลำไส้พยาธิต่อสถานะการติดเชื้อ

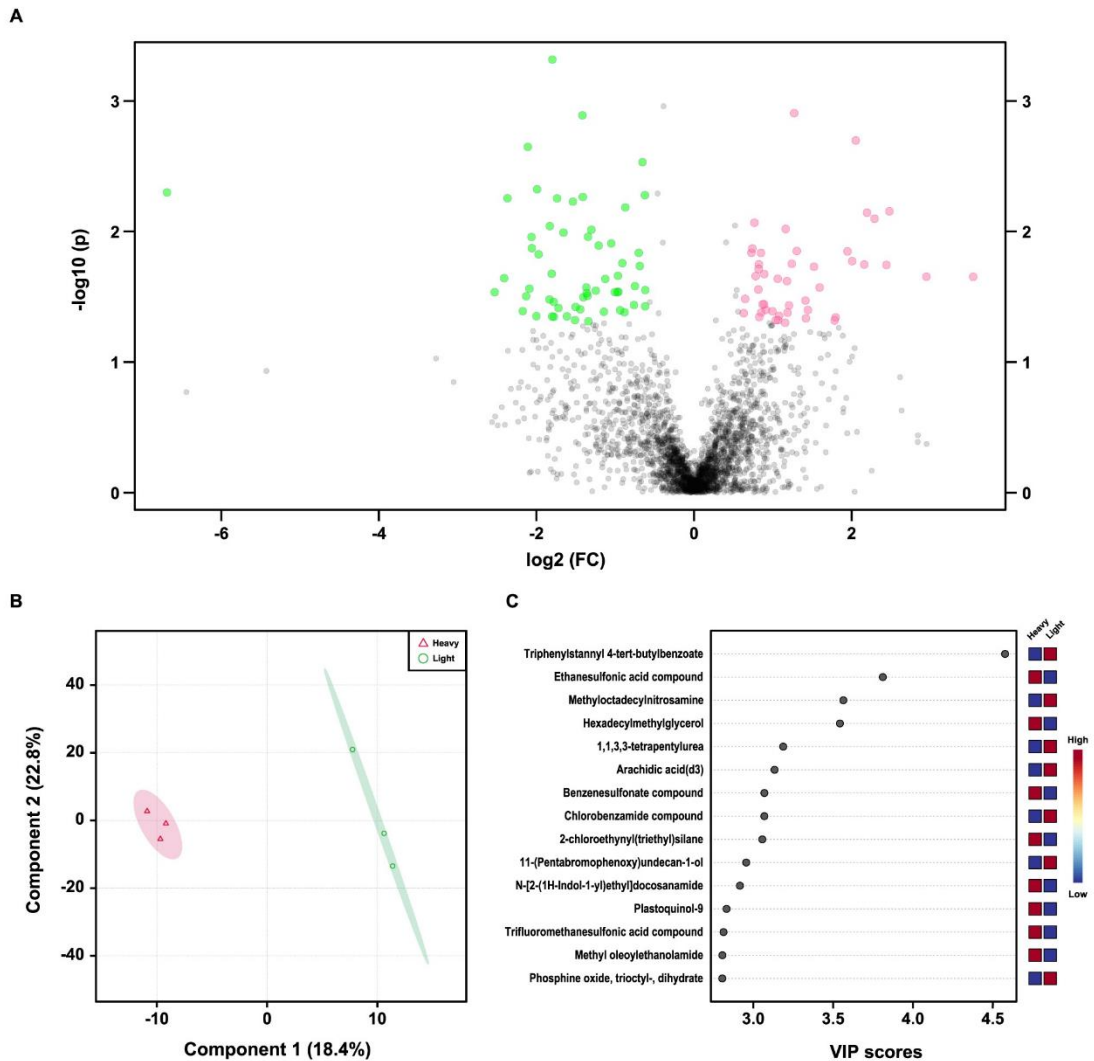
เพื่อให้ได้ข้อมูลเพิ่มเติมเกี่ยวกับความแตกต่างของสัณฐานแบคทีเรียในลำไส้พยาธิด้วยการวิเคราะห์ผลกระทบในการจำแนกกลุ่มเชิงเส้นของสัณฐานแบคทีเรียในลำไส้พยาธิระหว่างสถานะการติดเชื้อแสดงรายละเอียดในภาพที่ 12A โดยแบคทีเรียสกุล *Streptococcus* (ภาพที่ 12B) และ *Lactococcus* (ภาพที่ 12C) พบมากอย่างมีนัยสำคัญในผู้ป่วยติดเชื้อรุนแรงมาก และน้อย ตามลำดับ อธิบายด้วยผลคะแนนในการจำแนกข้อมูลเชิงเส้น (LDA score > 5) อย่างไรก็ตามในผู้ป่วยติดเชื้อรุนแรงมากสามารถพบแบคทีเรียระดับระดับสกุลอื่น ๆ ประกอบด้วย *Paracoccus*, *Micrococcus* และ *Rothia* โดดเด่น นอกจากนี้ยังพบแบคทีเรียไฟลัม Actinobacteria โดดเด่นในผู้ป่วยที่สถานะการติดเชื้อรุนแรงปานกลาง



ภาพที่ 12 แสดงความแตกต่างทางความชุกของสัณฐานแบคทีเรียในลำไส้พยาธิเทียบกับสถานะการติดเชื้อโรคพยาธิไส้เดือนด้วยการวิเคราะห์ผลกระทบในการจำแนกกลุ่มเชิงเส้น (A) และจากผลคะแนนที่ใช้การจำแนกข้อมูลเชิงเส้น (LDA score > 5) แสดงปริมาณสัมพัทธ์ของแบคทีเรียในสกุล *Streptococcus* (B) และ *Lactococcus* (C) ระหว่างสถานะการติดเชื้อด้วยการวิเคราะห์ความแตกต่างทางสถิติ Kruskal-Wallis test (\* $P < 0.1$ , \*\* $P < 0.01$ )

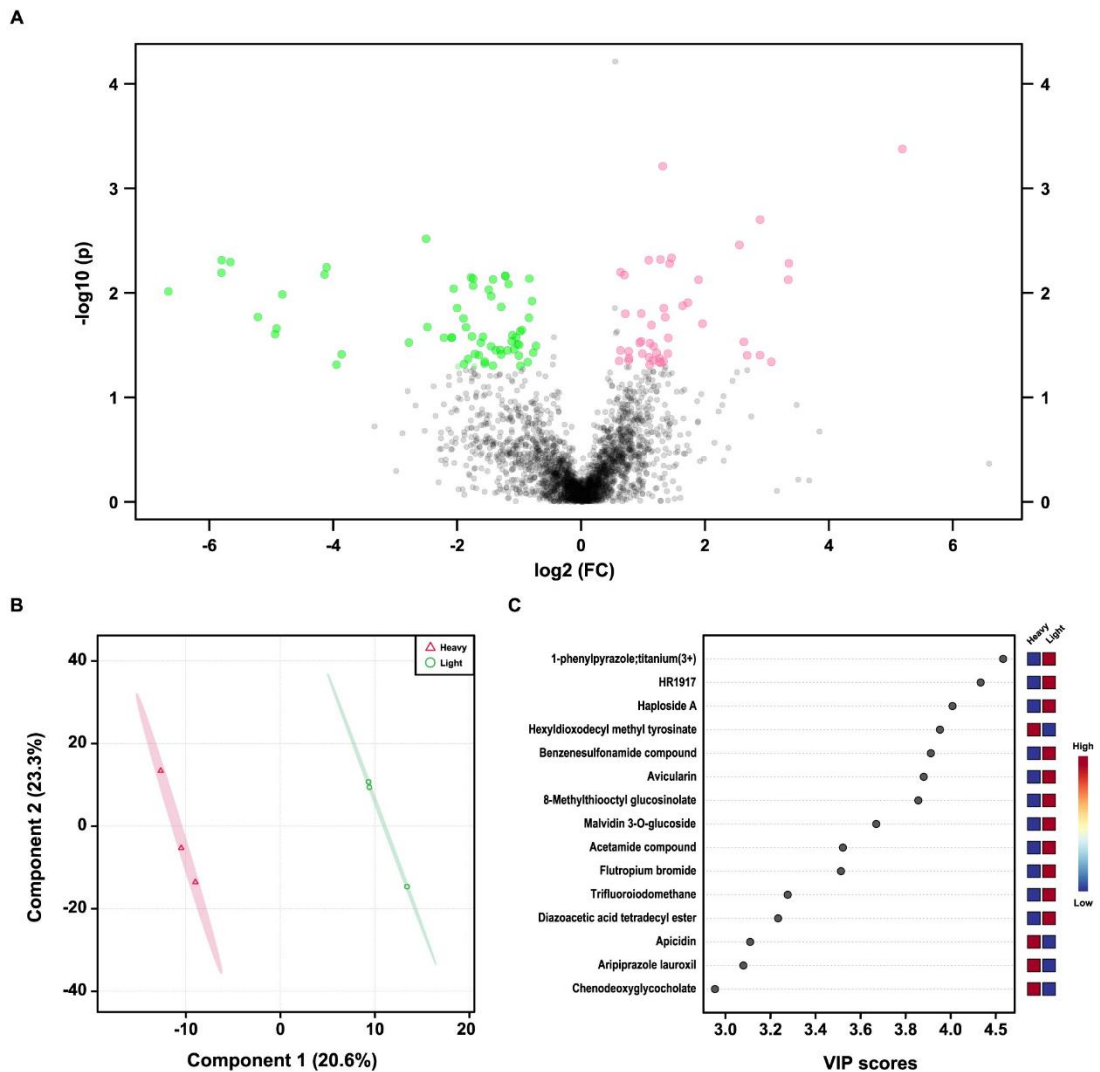
### เมแทบอลิซึมในตัวอย่างลำไส้พยาธิที่ระดับสถานะการติดเชื้อรุนแรงมากและน้อย

จากข้อมูลทางความชุกของสังคมแบคทีเรียในลำไส้พยาธิแสดงให้เห็นถึงความแตกต่างระหว่างสถานะการติดเชื้อรุนแรงมากและน้อย ก่อให้เกิดความสนใจในการวิเคราะห์ทางเมแทบอลิซึม เพื่อเปิดเผยความสัมพันธ์เชิงหน้าที่และผลกระทบของสารเมแทบอลิซึมในลำไส้พยาธิ จากผลวิเคราะห์คุณลักษณะของมวลต่อประจุ ( $m/z$  features) ในประจวบและลบ 4,988 จำนวน พบคุณลักษณะที่มีนัยสำคัญทางสถิติ (Fold changes > 1.5,  $P < 0.05$ ) ของลำไส้พยาธิที่สถานะการติดเชื้อรุนแรงมากและน้อย จำนวน 91 และ 121 ตามลำดับ (ภาพที่ 13A และ 14A) เมื่อทำการจำแนกประเภทของตัวอย่างลำไส้ระหว่างสถานะการติดเชื้อด้วยวิธีการจัดกลุ่มแบบกำลังสองน้อยที่สุดบางส่วน พบแนวโน้มที่แสดงความแตกต่างกันระหว่างสถานะการติดเชื้อด้วยเมแทบอลิซึมประจวบและประจวบ (ภาพที่ 13B และ 14B) โดยปัจจัยทางคุณลักษณะของมวลต่อประจุจะถูกประเมินด้วยคะแนนความสำคัญต่อตัวแปรในการทดลอง (VIP score; Variable importance in projection score) ก่อนนำไประบุชนิดของสารเมแทบอลิซึมด้วยฐานข้อมูล Metlin โดยกลุ่มของสารเมแทบอลิซึม อาทิ Ethanesulfonic acid compound, Hexadecyl methyl glycerol, Benzenesulfonate compound, 2 -chloro-ethynyl(triethyl)silane, Hexyldioxydecyl methyl tyrosinate, Apicidin และ Aripiprazole lauroxil มีปริมาณสูงในตัวอย่างลำไส้พยาธิที่สถานะการติดเชื้อรุนแรงมาก อย่างไรก็ตามกลับพบกลุ่มของสารเมแทบอลิซึม ได้แก่ Triphenylstannyl 4-tert-butylbenzoate, Methyloctadecylnitro-samine, 1,1,3,3 -tetrapentylurea, Arachidic acid( $d_3$ ), Chlorobenzamide compound, 1-phenylpyrazole;titanium(3+), HR1 9 1 7, Haploside a, Benzenesulfonamide compound, Avicularin, 8 -methylthiooctyl glucosinolate, Malvidin 3-o-glucoside, Acetamide compound, Flutropium bromide, Trifluoroiodomethane และ Diazoacetic acid tetra-decyl ester มีปริมาณสูงในตัวอย่างลำไส้พยาธิที่สถานะการติดเชื้อรุนแรงน้อยทั้งในเมแทบอลิซึมประจวบและประจวบ ดังแสดงรายละเอียดในภาพที่ 13C และ 14C ตามลำดับ



ภาพที่ 13 แสดงผลวิเคราะห์เมแทบอลิซึมของตัวอย่างลำไส้พยาธิที่สถานะการติดเชื้อโรครุนแรงมากและน้อย (A) การวิเคราะห์เชิงสถิติของคุณลักษณะมวลต่อประจุที่มีนัยสำคัญทางสถิติ (Fold changes > 1.5,  $P < 0.05$ ) ระหว่างสถานะการติดเชื้อโรคพยาธิไส้เดือนหนักและเบาด้วยจุดวงกลมสีแดงและเขียวตามลำดับ (B) กราฟแสดงความสัมพันธ์ระหว่างระยะห่างของกลุ่มตัวอย่างลำไส้พยาธิที่สถานะการติดเชื้อหนักและเบาด้วยการจัดกลุ่มแบบกำลังสองน้อยที่สุดบางส่วน (C) กราฟแสดงสารเมแทบอลิต์ในลำไส้พยาธิระหว่างสถานะการติดเชื้อรุนแรงมากและน้อย 15 ชนิดแรกที่มีคะแนนความสำคัญต่อตัวแปรในการทดลองสูงสุด



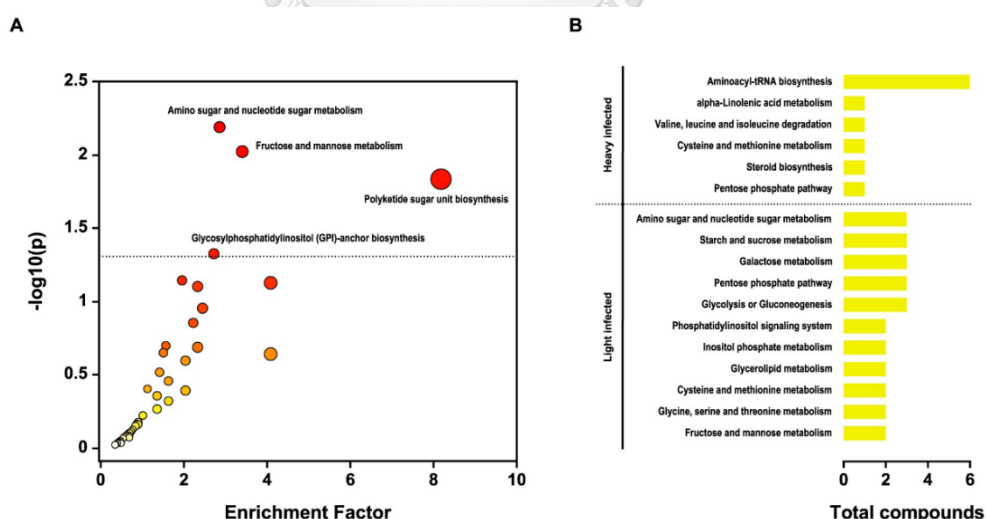


ภาพที่ 14 แสดงผลวิเคราะห์เมแทบอลิซึมประกอบในตัวอย่างลำไส้พยาธิที่สถานะการติดเชื้อโรครุนแรงมากและน้อย (A) การวิเคราะห์เชิงสถิติของคุณลักษณะมวลต่อประจุที่มีนัยสำคัญทางสถิติ (Fold changes > 1.5,  $P < 0.05$ ) ระหว่างสถานะการติดเชื้อโรคพยาธิไส้เดือนหนักและเบาด้วยจุดวงกลมสีแดงและเขียวตามลำดับ (B) กราฟแสดงความสัมพันธ์ระหว่างระยะห่างของกลุ่มตัวอย่างลำไส้พยาธิที่สถานะการติดเชื้อหนักและเบาด้วยการจัดกลุ่มแบบกำลังสองน้อยที่สุดบางส่วน (C) กราฟแสดงสารเมแทบอลิไตน์ในลำไส้พยาธิระหว่างสถานะการติดเชื้อรุนแรงมากและน้อย 15 ชนิดแรกที่มีคะแนนความสำคัญต่อตัวแปรในการทดลองสูงสุด

### วิถีเมแทบอลิซึมในลำไส้ของพยาธิไส้เดือนที่สถานะการติดเชื้อรุนแรงมากและน้อย

จากการวิเคราะห์วิถีเมแทบอลิซึมที่พิจารณาจากชนิดและปริมาณของเมแทบอลิต์ในลำไส้พยาธิไส้เดือนในสถานะการติดเชื้อรุนแรงมากและน้อย พบวิถีเมแทบอลิซึมทั้งหมด 52 วิถี โดยมีเพียง 4 วิถีที่สามารถระบุหน้าที่ได้อย่างมีนัยสำคัญ (Enrichment factor > 1 และ  $P < 0.05$ ) ได้แก่ Amino sugar and nucleotide sugar metabolism, Fructose and mannose metabolism, Polyketide sugar unit biosynthesis และ glycosylphosphatidylinositol (GPI)-anchor biosynthesis ซึ่งแสดงผลรายละเอียดในภาพที่ 15A

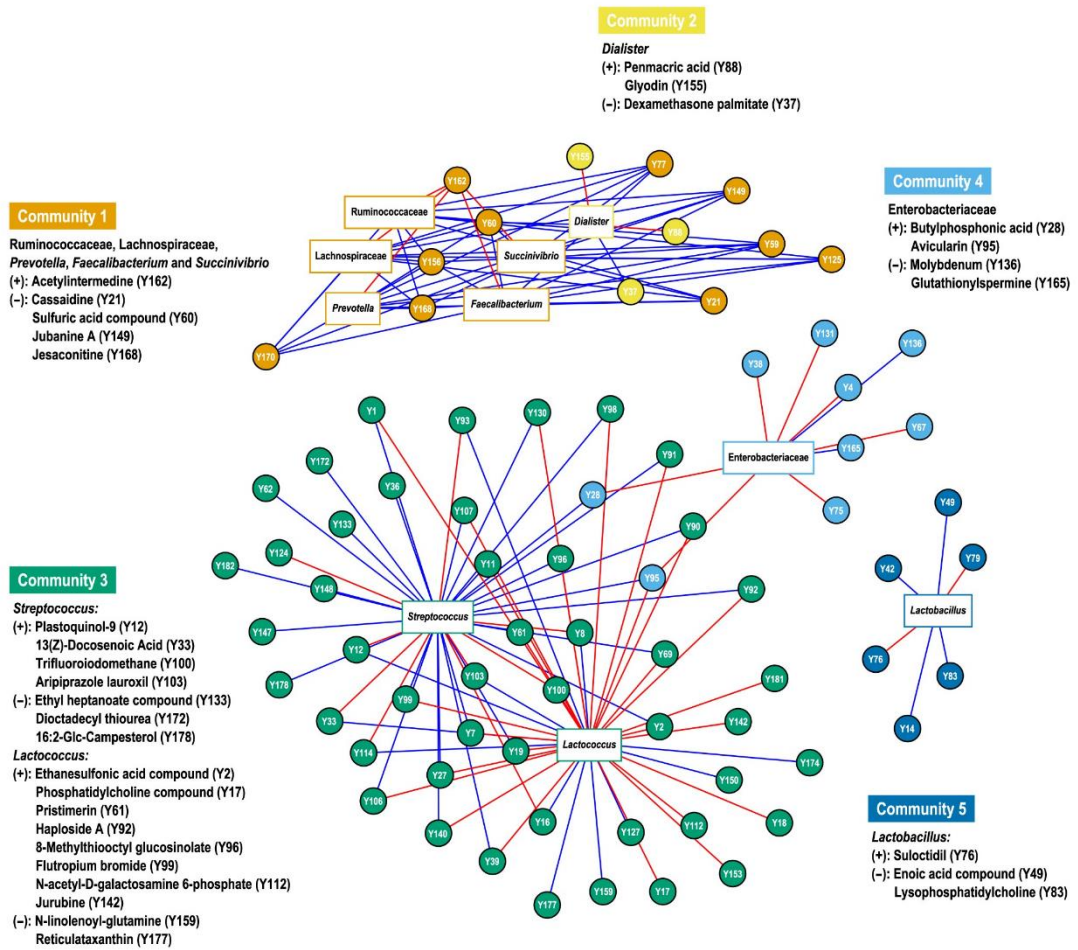
เมื่อทำการวิเคราะห์วิถีเมแทบอลิซึมในลำไส้พยาธิจากสารเมแทบอลิต์ที่พบมากในแต่ละระดับการติดเชื้ออย่างมีนัยสำคัญทางสถิติ (Fold changes > 1.5 และ  $P < 0.05$ ) แสดงให้เห็นถึงอิทธิพลของสถานะการติดเชื้อต่อวิถีเมแทบอลิซึม โดยลำไส้พยาธิที่สถานะติดเชื้อรุนแรงมากพบวิถีเมแทบอลิซึม Aminoacyl-tRNA biosynthesis, Alpha-Linolenic acid metabolism, (Val, Leu and Ile) degradation, (Cys and Met) metabolism, Steroid biosynthesis และ Pentose phosphate pathway ซึ่งตรงข้ามกับวิถีเมแทบอลิซึมที่พบในลำไส้พยาธิที่สถานะติดเชื้อรุนแรงน้อย อันประกอบด้วย Amino sugar and nucleotide sugar metabolism, Starch and sucrose metabolism, Galactose metabolism, Pentose phosphate pathway, Glycolysis or gluconeogenesis, Phosphatidylinositol signaling system, Inositol phosphate metabolism, Glycerolipid metabolism, (Gly, Ser and Thr) metabolism และ (Fructose and mannose) metabolism ตามรายละเอียดที่แสดงในภาพที่ 15B



ภาพที่ 15 แสดงผลการวิเคราะห์วิถีเมแทบอลิซึมในลำไส้ของพยาธิไส้เดือน (A) กราฟแสดงวิถีเมแทบอลิซึมในลำไส้ของพยาธิที่ติดเชื้อรุนแรงมากและน้อย (B) กราฟแท่งแสดงวิถีเมแทบอลิซึมและจำนวนสารเมแทบอลิต์ที่พบมากระหว่างสถานะติดเชื้อรุนแรงมากและน้อย

### ปฏิสัมพันธ์แบบเครือข่ายระหว่างสังคัมแบคทีเรียและเมแทบอลิซึมในลำไส้ของหนอนพยาธิ

ผลวิเคราะห์เครือข่ายเชิงบูรณาการที่แสดงความสัมพันธ์ของจุดยอดตามอิทธิพลการเชื่อมโยงอย่างมีนัยสำคัญทางสถิติ ( $|r| > 0.4$  และ  $P < 0.05$ ) ระหว่างแบคทีเรียที่มีชนิดและปริมาณสัมพันธ์สูงสุด 10 ชนิด และสารเมแทบอลิไตต์ 200 อันดับแรกที่มีความสำคัญต่อการทดลองสูงสุด พบกลุ่มของเครือข่ายดังกล่าว 5 กลุ่ม (ภาพที่ 16) ประกอบด้วย กลุ่มเครือข่ายที่ 1 พบกลุ่มของแบคทีเรีย *Prevotella*, *Faecalibacterium*, *Succinivibrio*, Ruminococcaceae และ Lachnospiraceae แสดงความสัมพันธ์เชิงลบกับกลุ่มของสารเมแทบอลิไตต์ Cassaidine, Jubanine a, Jesaconitine และ Sulfuric acid compound ขณะที่กลุ่มเครือข่ายที่ 2 พบสารเมแทบอลิไตต์ Glyodin และ Penmacric acid แสดงความสัมพันธ์เชิงบวกกับแบคทีเรียสกุล *Dialister* แต่กลับแสดงความสัมพันธ์เชิงลบกับสารเมแทบอลิไตต์ Dexamethasone palmitate อย่างไรก็ตามกลุ่มเครือข่ายที่ 3 พบแบคทีเรียสกุล *Streptococcus* แสดงความสัมพันธ์เชิงลบกับกลุ่มของสารเมแทบอลิไตต์ Ethyl heptanoate compound, Dioctadecyl thiourea และ 16:2-Glc-campesterol ในขณะที่แบคทีเรียสกุล *Lactococcus* แสดงความสัมพันธ์เชิงบวกกับกลุ่มของสารเมแทบอลิไตต์ N-acetyl-D-galactosamine 6-phosphate, Jurubine และ Phosphatidylcholine compound นอกจากนี้ยังพบกลุ่มของสารเมแทบอลิไตต์บางชนิด อาทิ Trifluoroiodomethane, Aripiprazole lauroxil, Plastoquinol-9 และ 13(Z)-Docosenoic acid มีความสัมพันธ์เชิงลบกับแบคทีเรียสกุล *Lactococcus* แต่กลับพบความสัมพันธ์เชิงบวกกับแบคทีเรียสกุล *Streptococcus* ในทำนองเดียวกันสารเมแทบอลิไตต์ในกลุ่ม Haploside a, Pristimerin, Ethanesulfonic acid compound, 8-methylthiooctyl glucosinolate และ Flutropium bromide มีความสัมพันธ์เชิงบวกกับแบคทีเรียสกุล *Lactococcus* แต่กลับพบความสัมพันธ์เชิงลบกับแบคทีเรียสกุล *Streptococcus* เมื่อมองส่วนคาบเกี่ยวระหว่างกลุ่มเครือข่ายที่ 3 และ 4 พบสารเมแทบอลิไตต์ Avicularin และ butylphosphonic acid compounds มีความสัมพันธ์เชิงลบกับแบคทีเรียสกุล *Streptococcus* ซึ่งตรงข้ามกับแบคทีเรีย *Lactococcus* และ Enterobacteriaceae ที่แสดงความสัมพันธ์เชิงบวก นอกจากนี้สารเมแทบอลิไตต์ของ Molybdenum และ Glutathionylspermine มีความสัมพันธ์เชิงลบกับ Enterobacteriaceae สุดท้ายแบคทีเรียสกุล *Lactobacillus* แสดงความสัมพันธ์เชิงลบกับสารเมแทบอลิไตต์ Enoic acid compound และ Lysophosphatidylcholine ในทางตรงข้ามพบความสัมพันธ์เชิงบวกกับสารเมแทบอลิไตต์ Suloctidil ที่แสดงในกลุ่มเครือข่ายที่ 5



ภาพที่ 16 แสดงปฏิสัมพันธ์แบบเครือข่ายระหว่างสังคมแบคทีเรียและเมแทบอลิซึมในลำไส้ของพยาธิ ที่อธิบายด้วยสีของเส้นเชื่อมและรูปทรงทางเรขาคณิต (สีแดงแทนความสัมพันธ์ในเชิงบวก, สีน้ำเงินแทนความสัมพันธ์ในเชิงลบ, สีเหลี่ยมแทนแบคทีเรีย และวงกลมแทนเมแทบอลิต์)

## บทที่ 5 สรุปผลการวิจัยและอภิปรายผลการทดลอง

โรคพยาธิไส้เดือน คือภาวะที่ร่างกายติดเชื้อพยาธิไส้เดือนในลำไส้ส่งผลกระทบต่อกลไกการตอบสนองพื้นฐาน หรือระบบภูมิคุ้มกันในมนุษย์ (46) อย่างไรก็ตามข้อมูลเกี่ยวกับผลกระทบของสังคมแบคทีเรียในลำไส้ของมนุษย์ต่อการติดเชื้อพยาธิยังมีข้อจำกัดทางความรู้ รวมไปถึงการศึกษาสังคมแบคทีเรียในลำไส้ของพยาธิไส้เดือนในปัจจุบันที่ยังไม่พบรายงาน ส่งผลให้งานวิจัยนี้มุ่งเน้นที่จะศึกษาความหลากหลายของแบคทีเรียในลำไส้มนุษย์และพยาธิไส้เดือน รวมไปถึงการศึกษาทางเมตาโบโลมของลำไส้พยาธิเพื่อเปิดเผยความสัมพันธ์เชิงหน้าที่ระหว่างมนุษย์และพยาธิไส้เดือนในแต่ละระดับการติดเชื้อ

### การศึกษาชนิดและความหลากหลายของสังคมแบคทีเรียในลำไส้มนุษย์และพยาธิไส้เดือน

จากการศึกษาความหลากหลายทางชีวภาพของสังคมแบคทีเรียแสดงให้เห็นถึงความแตกต่างระหว่างมนุษย์และพยาธิไส้เดือนอย่างชัดเจน รวมไปถึงผลกระทบจากสถานะการติดเชื้อที่ส่งผลในลำไส้พยาธิ โดยการวิเคราะห์เพื่ออธิบายความแตกต่างทางสถิติระหว่างกลุ่มข้อมูลด้วยดัชนี Bray-Curtis dissimilarity เผยให้เห็นถึงความแตกต่างระหว่างแบคทีเรียในอุจจาระมนุษย์ที่ติดเชื้อและไม่ติดเชื้อโรคพยาธิ ซึ่งสอดคล้องกับการศึกษาในพยาธิไส้เดือนในสุกร (*Ascaris suum*) ที่อธิบายถึงผลกระทบจากการติดเชื้อส่งผลต่อการเปลี่ยนแปลงสังคมแบคทีเรียและวิถีเมแทบอลิซึมในสุกร (47)

ผลวิเคราะห์ชนิดและปริมาณสัมพันธ์ของสังคมแบคทีเรียในลำไส้พบแบคทีเรียไฟลัม Firmicutes มีความโดดเด่นมากที่สุดทั้งในมนุษย์และพยาธิไส้เดือน นอกจากนี้ยังพบแบคทีเรียไฟลัม Bacteroidetes และ Proteobacteria โดดเด่นในลำไส้มนุษย์และพยาธิตามลำดับ โดยอัตราส่วนของแบคทีเรียไฟลัม Firmicutes และ Bacteroidetes ในลำไส้มีบทบาทสำคัญต่อสุขภาพมนุษย์ ซึ่งปัจจุบันสามารถประยุกต์ใช้เพื่ออธิบายภาวะผิดปกติของร่างกายอันเกิดจากการขาดสมดุลของแบคทีเรีย (Dysbiosis) ได้เป็นอย่างดี (48) โดยการเพิ่มขึ้นของแบคทีเรียไฟลัม Proteobacteria ยังสัมพันธ์กับการลดลงของแบคทีเรียไฟลัม Firmicutes ในมนุษย์ ที่ภาวะดังกล่าวจะกระตุ้นให้เกิดความผิดปกติต่อลำไส้และระบบเผาผลาญ (49) ซึ่งจากรายงานในปัจจุบันพบแบคทีเรียไฟลัม Proteobacteria ในโฮสต์ที่ติดเชื้อพยาธิแส้ม้า (*Trichuris muris*) (50) โดยการพบแบคทีเรียดังกล่าวมากอาจส่งผลให้แบคทีเรียชนิดนี้เป็นตัวแปรหนึ่งที่รบกวนการทำงานของลำไส้มนุษย์ รวมไปถึงความสามารถในการเจริญทั้งในภาวะที่มีหรือไม่มีออกซิเจน (Facultative anaerobe) ที่อาจเป็นสาเหตุหนึ่งที่พบแบคทีเรียไฟลัม Proteobacteria มากในลำไส้ของพยาธิไส้เดือนเนื่องจากการปรับสภาพแวดล้อมให้อำนวยต่อการเจริญของแบคทีเรียที่ไม่ใช้ออกซิเจน (Obligate anaerobe) เมื่อพิจารณาผลของชนิดและปริมาณสัมพันธ์ของสังคมแบคทีเรียในระดับสกุลพบ *Prevotella* โดดเด่นใน

ลำไส้ผู้ป่วยโรคพยาธิไส้เดือน ซึ่งสอดคล้องกับงานวิจัยที่ศึกษาผลกระทบของสังคมแบคทีเรียต่อโรคจากกลุ่มพยาธิที่ติดต่อผ่านดินในหมู่บ้านไลบีเรียและประเทศอินโดนีเซีย (51) เป็นที่ทราบกันดีว่าแบคทีเรียสกุล *Prevotella* มีบทบาทสำคัญต่อการเผาผลาญคาร์โบไฮเดรต ซึ่งการเพิ่มขึ้นของแบคทีเรียดังกล่าวเกี่ยวข้องกับการติดเชื้อจากพยาธิใบไม้ในลำไส้ (*Schistosoma haematobium*) (52) ผลลัพธ์ทั้งหมดตามที่กล่าวไปข้างต้นสอดคล้องกับงานวิจัยในปัจจุบันที่ศึกษาผลกระทบของการติดเชื้อพยาธิต่อสังคมแบคทีเรียในลำไส้ในมนุษย์ (53-55) อย่างไรก็ตามผลความหลากหลายของแบคทีเรียในลำไส้ระหว่างส่วนต้นและส่วนปลายของพยาธิไส้เดือนกลับไม่พบความแตกต่าง ซึ่งอาจบ่งชี้ถึงสภาพแวดล้อมของพยาธิไส้เดือนมีความคล้ายคลึงกันตลอดช่วงของลำไส้ และจากการศึกษาเชิงเปรียบเทียบของสังคมแบคทีเรียในลำไส้พยาธิไส้เดือนต่อสถานะการติดเชื้อ พบแบคทีเรียสกุล *Streptococcus* โดดเด่นในลำไส้พยาธิที่สถานะการติดเชื้อรุนแรงมาก ในขณะที่แบคทีเรียสกุล *Lactococcus* เจริญได้มากที่สถานะการติดเชื้อรุนแรงน้อย โดยแบคทีเรียทั้งสองเกี่ยวข้องกับกระบวนการหมักน้ำตาลให้เกิดกรดแลคติก และมีบทบาทสำคัญต่อการส่งเสริมภาวะสุขภาพดีในมนุษย์ (56) รวมไปถึงแบคทีเรียสกุล *Streptococcus* สามารถลดภาวะอักเสบของเนื้อเยื่อในลำไส้มนุษย์อย่างมีนัยสำคัญ (57) ซึ่งอาจบ่งชี้ว่าสถานะการติดเชื้ออาจเป็นสาเหตุหนึ่งของการเปลี่ยนแปลงสังคมแบคทีเรียในลำไส้พยาธิไส้เดือน

#### การศึกษาชนิดและวิถีเมแทบอลิซึมของเมแทบอลิซึมในลำไส้พยาธิไส้เดือน

จากการวิเคราะห์เมแทบอลิซึมแบบไม่จำเพาะเพื่อทำความเข้าใจเชิงผลกระทบและหน้าที่ของแบคทีเรียต่อพยาธิไส้เดือนในลำไส้ผู้ป่วยที่ติดเชื้อ พบจำนวนคุณลักษณะมวลต่อประจุที่มีนัยสำคัญทางสถิติทั้งหมด 91 และ 121 ในลำไส้ที่มีสถานะการติดเชื้อรุนแรงมากและน้อยตามลำดับ เมื่อนำผลคุณลักษณะดังกล่าวไประบุชนิดของสารเมแทบอลิซึมและวิถีเมแทบอลิซึมเพื่อเปิดเผยกลไกการทำงาน พบวิถี Aminoacyl-tRNA biosynthesis, Alpha-Linolenic acid metabolism, (Val, Leu and Ile) degradation, (Cys and Met) metabolism, Steroid biosynthesis และ Pentose phosphate pathway โดดเด่นในลำไส้พยาธิที่สถานะการติดเชื้อหนัก โดย Aminoacyl-tRNA synthetases (ARSs) มีบทบาทสำคัญต่อการสังเคราะห์โปรตีนบนไรโบโซมด้วย tRNA ซึ่งเกี่ยวข้องกับการเจริญเติบโต และพัฒนาการของเซลล์ภูมิคุ้มกัน (58, 59) ในขณะที่วิถี Pentose phosphate pathway สร้าง NADPH และน้ำตาลเพนโทสซึ่งเป็นสารตั้งต้นสำหรับการสังเคราะห์นิวคลีโอไทด์ (60) จึงอาจบ่งชี้ได้ว่าวิถีเมแทบอลิซึมดังกล่าวที่พบในลำไส้พยาธิไส้เดือนที่สถานะการติดเชื้อรุนแรงมากจะสนับสนุนกระบวนการสังเคราะห์กรดอะมิโน, สารตั้งต้นของนิวคลีโอไทด์, กรดไขมัน และสารชีวโมเลกุลที่จำเป็น ก่อให้เกิดสภาวะที่เหมาะสมต่อการผลิตไข่พยาธิที่เป็นสาเหตุของโรคพยาธิไส้เดือน อย่างไรก็ตามเมแทบอลิซึมของลำไส้พยาธิที่สถานะการติดเชื้อรุนแรงน้อยพบวิถีเมแทบอลิซึม

เกี่ยวข้องกับกระบวนการเผาผลาญคาร์โบไฮเดรตอันประกอบด้วย Amino sugar and nucleotide sugar metabolism, Starch and sucrose metabolism, Galactose metabolism glycolysis or gluconeogenesis, Phosphatidylinositol signaling system, Inositol phosphate metabolism และ Fructose and mannose metabolism โดยวิธีเมแทบอลิซึมดังกล่าวอาจส่งผลต่อการสังเคราะห์พลังงานมากกว่าการผลิตไข่ของพยาธิไส้เดือน

### การศึกษาปฏิสัมพันธ์ระหว่างสังคัมแบคทีเรียและเมแทบอลิซึมในลำไส้ของพยาธิ

จากการวิเคราะห์เครือข่ายเชิงบูรณาในลำไส้ของพยาธิไส้เดือนเพื่อศึกษาความสัมพันธ์ระหว่างแบคทีเรีย 10 ชนิดที่มีความอุดมสมบูรณ์สัมพันธ์สูงสุด และสารเมแทบอลิต์ 200 ชนิดแรกที่มีความสำคัญต่อการทดลองสูงสุด พบความสัมพันธ์ที่น่าสนใจในกลุ่มเครือข่ายที่ 3 โดยแบคทีเรียสกุล *Streptococcus* มีความสัมพันธ์เชิงบวกกับสารเมแทบอลิต์ Trifluoroiodomethane, aripiprazole lauroxil, Plastoquinol-9 และ 13(Z)-Docosenoic acid โดยงานวิจัยในปัจจุบันยังขาดข้อมูลสนับสนุนเกี่ยวกับสารเมแทบอลิต์ในพยาธิไส้เดือน อย่างไรก็ตามเราอาจอนุมานหน้าที่ของสารดังกล่าวจากหน้าที่พื้นฐาน อาทิ Plastoquinone ที่ทำหน้าที่สำคัญในระบบขนส่งอิเล็กตรอนของกระบวนการสังเคราะห์ด้วยแสง (61) หรือสาร 13(Z)-Docosenoic acid ที่เกี่ยวข้องกับการสังเคราะห์กรดไขมันโอเลอิก (62) และสารสื่อประสาทที่อยู่ในรูปกรดไขมันโดโคซีโนอิก (63)

สำหรับแบคทีเรียสกุล *Lactococcus* มีความสัมพันธ์เชิงบวกกับสารเมแทบอลิต์ N-acetyl-D-galactosamine 6-phosphate, Jurubine, Phosphatidylcholine compound, Haploside a, Pristimerin, Ethanesulfonic acid compound, 8-methylthiooctyl glucosinolate และ Flutropium bromide ซึ่งกลุ่มสารเมแทบอลิต์ที่พบส่วนใหญ่ยังไม่พบรายงานในลำไส้ของพยาธิ อย่างไรก็ตามสารเมแทบอลิต์ Jurubine เป็นสารอัลคาลอยด์ที่มีคุณสมบัติต้านอนุมูลอิสระ (64) และสามารถพบได้ในไส้เดือนฝอยรากปม (Root-knot nematode) (65) นอกจากนี้ยังพบว่าสาร Pristimerin ที่มีบทบาทสำคัญในเชิงเภสัชวิทยาตั้งแต่การเป็นสารต้านอนุมูลอิสระไปจนถึงยับยั้งการอักเสบ (66) ด้วยเหตุนี้เองสาร Jurubine และ Pristimerin อาจส่งผลต่อการต้านอนุมูลอิสระและต้านการอักเสบในลำไส้ของพยาธิไส้เดือน

### ข้อเสนอแนะ

ด้วยข้อจำกัดทางการแพทย์ที่จำเป็นต่อการศึกษาได้แก่ ประวัติการบริโภคอาหารและยาปฏิชีวนะ รวมไปถึงประวัติการติดเชื้อโรคชนิดต่าง ๆ อาจทำให้การวินิจฉัยผลการทดลองคลาดเคลื่อน อย่างไรก็ตามการศึกษานี้ได้สร้างสมมติฐานใหม่ประกอบด้วยข้อมูลเชิงลึกเพื่อพัฒนาความเข้าใจเกี่ยวกับความสัมพันธ์ระหว่างสังคมแบคทีเรียและเมแทบอลิซึมในลำไส้มนุษย์และพยาธิไส้เดือน ซึ่งในปัจจุบันยังไม่มีการศึกษาใดที่แสดงผลกระทบของการติดเชื้อโรคพยาธิไส้เดือนต่อสังคมแบคทีเรียในลำไส้พยาธิ และแม้ว่าการศึกษานี้จะพบความสัมพันธ์ระหว่างสารเมแทบอลิต์กับชนิดของแบคทีเรียในลำไส้พยาธิไส้เดือน แต่ความสัมพันธ์ดังกล่าวไม่สามารถทำนายได้อย่างถูกต้องแม่นยำเนื่องจากข้อจำกัดของการศึกษาเมแทบอลิซึมแบบไม่จำเพาะ อย่างไรก็ตามการค้นพบเหล่านี้ได้ให้ข้อมูลและสมมติฐานที่เป็นประโยชน์ โดยตัวผู้วิจัยมีความคาดหวังให้มีการศึกษาเมแทบอลิซึมแบบจำเพาะร่วมกับการวิเคราะห์ด้วยเครื่องมือทางชีวสารสนเทศ เพื่อพิสูจน์กลไกในเชิงลึกเพื่อนำมาประยุกต์ใช้รักษาโรคอันเกิดจากพยาธิในอนาคตได้อย่างมีประสิทธิภาพ





### ภาคผนวก

ตารางแสดงรายละเอียดของสารสารเมแทบอลิต์ที่ผ่านการระบุชนิดของประจุบวกและลบ 30 ตัวแรกที่มีคะแนนความสำคัญต่อตัวแปรในการทดลองสูงสุดด้วยฐานข้อมูล Metlin

ชื่อสารเมแทบอลิต์	ค่า VIP	ประจุ	เลขมวล/ประจุ
Triphenylstannyl 4-tert-butylbenzoate	4.577	[M+H] <sup>+</sup>	528.1111
1-phenylpyrazole;titanium(3+)	4.2326	[M+Cl] <sup>-</sup>	477.1307
HR1917	4.1329	[M-H] <sup>-</sup>	569.1345
Haploside A	4.0079	[M-H] <sup>-</sup>	536.1166
Hexyldioodecyl methyl tyrosinate	3.9524	[M-H] <sup>-</sup>	447.2985
N-[3-(2-amino-4-chloro-6-phenylpyrimidin-5-yl)propyl]-4-methyl-N-phenylbenzenesulfonamide	3.9118	[M+Cl] <sup>-</sup>	492.1387
Avicularin	3.8803	[M+Cl] <sup>-</sup>	434.0849
8-Methylthiooctyl glucosinolate	3.856	[M+Cl] <sup>-</sup>	477.1161
Ethanesulfonic acid, 2-(cyclohexyl(1-oxohexadecyl)amino)-, sodium salt	3.8112	[M+H] <sup>+</sup>	439.2732
Malvidin 3-O-glucoside	3.6695	[M+Cl] <sup>-</sup>	492.1268
Methyloctadecylnitrosamine	3.5638	[M+H] <sup>+</sup>	312.3141
Hexadecylmethylglycerol	3.5425	[M+H] <sup>+</sup>	330.3134
N-(4-chlorophenyl)-2-[[5-[(2,6-dimethylphenoxy)methyl]-4-(4-methylphenyl)-1,2,4-triazol-3-yl]sulfonyl]acetamide	3.5213	[M+Cl] <sup>-</sup>	492.1387

Flutropium bromide	3.5127	[M+Cl]-	477.1315
Trifluoroiodomethane	3.2763	[M-H]-	195.8997
Diazoacetic acid tetradecyl ester	3.2334	[M-H]-	282.2307
1,1,3,3-tetrapentylurea	3.1872	[M+H]+	340.3454
Arachidic acid(d3)	3.1332	[M+Na]+	315.3217
Apicidin	3.1094	[M+Cl]-	623.3683
Aripiprazole lauroxil	3.0796	[M-H]-	659.3257
Benzenesulfonate;tetrakis-decylazanium	3.0694	[M+Na]+	735.6563
N-Methyl-N-octadecyl-3-nitro-4-chlorobenzamide	3.0689	[M+H]+	467.3040459
2-chloroethynyl(triethyl)silane	3.0562	[M+H]+	174.0632
11-(Pentabromophenoxy)undecan-1-ol	2.9555	[M+Na]+	653.7615
Chenodeoxyglycocholate	2.9534	[M-H]-	449.3141
N-[2-(1H-Indol-1-yl)ethyl]docosanamide	2.9159	[M+H]+	482.4124
Plastoquinol-9	2.8322	[M+Na]+	750.6315
Trifluoromethanesulfonic acid 2,3-bis(octadecyloxy)propyl ester	2.8132	[M+H]+	728.56
Methyl oleoylethanolamide	2.8061	[M+H]+	339.3137
Phosphine oxide, trioctyl-, dihydrate	2.8055	[M+Na]+	422.3889

ตารางแสดงรายละเอียดวิถีเมแทบอลิซึมในลำไส้ของพยาธิไส้เดือนตืดเขื่อนักและเบาโดยเรียงความสำคัญจากจำนวนสารประกอบที่พบในวิถี

ชื่อวิถีเมแทบอลิซึม	จำนวนสาร เมแทบอไลต์	ค่า <i>P</i>	ค่า Enrichment factor
Amino sugar and nucleotide sugar metabolism	20	0.006516	2.863688
Fructose and mannose metabolism	12	0.009559	3.409013
Polyketide sugar unit biosynthesis	2	0.014748	8.181967
Glycosylphosphatidylinositol (GPI)-anchor biosynthesis	12	0.047509	2.727211
Glycosaminoglycan degradation	25	0.07222	1.963608
Glycosaminoglycan biosynthesis - heparan sulfate / heparin	4	0.075003	4.0909
Lysine degradation	14	0.079413	2.337678
Pentose and glucuronate interconversions	10	0.11171	2.45459
Galactose metabolism	11	0.14052	2.231479
Steroid biosynthesis	26	0.20134	1.573416
Arachidonic acid metabolism	26	0.20134	1.573416
Starch and sucrose metabolism	7	0.2062	2.33765
Glycosaminoglycan biosynthesis - chondroitin sulfate / dermatan sulfate	7	0.2062	2.33765
Pentose phosphate pathway	27	0.22463	1.515152

Glycosphingolipid biosynthesis - lacto and neolacto series	2	0.22936	4.090983
Glycosphingolipid biosynthesis - globo and isoglobo series	2	0.22936	4.090983
Glycerolipid metabolism	8	0.25413	2.04545
Porphyrin and chlorophyll metabolism	23	0.30521	1.422931
Phosphatidylinositol signaling system	10	0.34995	1.636393
Purine metabolism	65	0.3959	1.132873
Phosphonate and phosphinate metabolism	4	0.40657	2.04545
Glycolysis or Gluconeogenesis	12	0.44149	1.363605
Inositol phosphate metabolism	12	0.44149	1.363605
alpha-Linolenic acid metabolism	5	0.4794	1.636367
Sulfur metabolism	5	0.4794	1.636367
Ascorbate and aldarate metabolism	6	0.54339	1.363643
Caffeine metabolism	6	0.54339	1.363643
Phenylalanine, tyrosine and tryptophan biosynthesis	6	0.54339	1.363643
Drug metabolism - cytochrome P450	16	0.60103	1.022704
Terpenoid backbone biosynthesis	18	0.66716	0.9090909
Arginine and proline metabolism	28	0.68646	0.8766291
Phenylalanine metabolism	9	0.69227	0.9090909

Sphingolipid metabolism	29	0.71013	0.8464056
N-Glycan biosynthesis	21	0.74966	0.7792107
Glycerophospholipid metabolism	22	0.77302	0.7437986
Mannose type O-glycan biosynthesis	12	0.79297	0.6818027
Drug metabolism - other enzymes	23	0.79448	0.7114653
One carbon pool by folate	13	0.81867	0.6293662
Aminoacyl-tRNA biosynthesis	35	0.82447	0.7012951
Folate biosynthesis	25	0.83216	0.6545359
Fatty acid degradation	14	0.84121	0.5844194
Nicotinate and nicotinamide metabolism	14	0.84121	0.5844194
Pyrimidine metabolism	47	0.85032	0.6963303
Glyoxylate and dicarboxylate metabolism	15	0.86097	0.5454645
Metabolism of xenobiotics by cytochrome P450	17	0.89349	0.4812783
Alanine, aspartate and glutamate metabolism	18	0.9068	0.4545455
Retinol metabolism	19	0.91847	0.4306261
Cysteine and methionine metabolism	33	0.92845	0.4958719
Tryptophan metabolism	20	0.92869	0.4090983
Pantothenate and CoA biosynthesis	22	0.94548	0.3718993
Glycine, serine and threonine metabolism	23	0.95235	0.3557326

ตารางแสดงรายละเอียดของกลุ่มเชื้อข่าระหว่างชนิดและปริมาณสัมพัทธ์ของแบคทีเรียสูงสุด 10 ชนิดและสารเมแทบอไลต์ที่สำคัญต่อการหาปฏิสัมพันธ์ในลำไส้ของหนอนพยาธิ

ลำดับกลุ่มเชื้อข่า	ชื่อแบคทีเรีย	รหัสแทนสารเมแทบอไลต์	ชื่อเมแทบอไลต์
1	<i>Prevotella</i> <i>Faecalibacterium</i> <i>Succinivibrio</i> Ruminococcaceae Lachnospiraceae	Y125	2-Octylundecane-1,11-diol
		Y149	Jubanine A
		Y156	Diethyl (2R,3R)-2-bromo-3-fluorobutanedioate
		Y162	Acetylintermedine
		Y168	Jesaconitine
		Y170	(4R)-4-Benzyl-3-[(2R,3S,4R,5S,6S)-3-[[tert-butyl(dimethyl)silyloxy]-2,4,6-trimethyl-5-[(triethylsilyloxy)deca-7,9-dienoyl]-1,3-oxazolidin-2-one
		Y21	Cassaidine
		Y59	Pro Glu Arg Val Lys
		Y60	Sulfuric acid, monoctadecyl ester, compd. with 2-(diethylamino)ethanol (1:1)
		Y77	5-[[3-(Octadecyloxy)propyl]carbamoyl]benzene-1,2,3-triyl triacetate
2	Enterobacteriaceae	Y131	2-hexyldodecanoic acid
		Y136	Molybdenum, compd. with nickel (1:8)

		Y165	Glutathionylspermine
		Y28	Butylphosphonic acid diphenyl ester
		Y38	(+/-)N-(1-methyl-2-hydroxy-2-phenyl-ethyl) arachidonyl amine
		Y4	Hexadecylmethylglycerol
		Y67	3,6-Di(ethanesulfonyl)pyridazine
		Y75	N-Methyl-N,N-dioctyloctan-1-aminium trifluoroacetate
		Y95	avicularin
3	<i>Streptococcus Lactococcus</i>	Y133	Ethyl 7-(2,4,5-trichlorophenoxy)heptanoate
		Y147	Thiobenzoic acid S-hexyl ester
		Y148	Leu Leu Val Val Tyr
		Y172	Dioctadecyl thiourea
		Y178	16:2-Glc-Campesterol
		Y182	LPA(0:0/16:0)
		Y36	L-Phenylalanylglycyl-L-leucyl-L-alanyl-L-lysyl-L-leucine
		Y62	Gln Ile Gln Val
		Y124	Arg Val Ile Trp Gly
		Y127	PE(16:0/24:0)
		Y150	6,7-Dihydro-8-phenyl-9-(4-(2-(dimethylamino)ethoxy)phenyl)-5-H-benzocycloheptene
		Y159	N-linolenoyl-glutamine

		Y174	Selenophene-2-carbonyl azide
		Y177	Reticulataxanthinz
		Y112	N-Acetyl-D-galactosamine 6-phosphate
		Y142	Jurubine
		Y153	Urea, N-(2,6-bis(1-methylethyl)phenyl)-N'-((1-(1,3-dimethyl-1H-indol-2-yl)cyclopentyl)methyl)-
		Y17	PC(20:3(8Z,11Z,14Z)/16:1(9Z))
		Y18	Propanoic acid, 3-mercapto-, octadecyl ester
		Y181	2,3,4,5-Tetraiodo-6-[(naphthalen-1-yl)carbamoyl]benzoic acid
		Y100	Trifluoriodomethane
		Y103	Aripiprazole lauroxil
		Y114	Arg Arg Arg His
		Y12	Plastoquinol-9
		Y16	2-Phenyl-4-tetradecyl-1,3,2-dioxaborolane
		Y33	13(Z)-Docosenoic Acid
		Y8	N-Methyl-N-octadecyl-3-nitro-4-chlorobenzamide
		Y93	Hexyldioxodecyl methyl tyrosinate
		Y90	1-phenylpyrazole;titanium(3+)
		Y91	4',4''-Di-2-imidazolin-2-yl-2-nitroterephthalanilide dihydrochloride



		Y92	Haploside A
		Y7	Benzenesulfonate; tetrakis-decylazanium
		Y69	3-[3,4-Bis(decyloxy)phenyl]-2-(ethoxymethyl)prop-2-enenitrile
		Y61	Pristimerin
		Y39	Azelaic acid, potassium salt
		Y27	(3beta)-3-[[[(2Z)-3-(4-Hydroxyphenyl)prop-2-enoyl]oxy]urs-12-en-28-oic acid
		Y2	Ethanesulfonic acid, 2-(cyclohexyl(1-oxohexadecyl)amino)-, sodium salt
		Y19	Lupeol acetate
		Y140	2,4-Bis(4-methylpiperazin-1-yl)-3H-1,5-benzodiazepine
		Y130	3-(4-Methylpyridin-1-ium-1-yl)cholest-5-ene 4-methylbenzene-1-sulfonate
		Y11	N-[2-(1H-Indol-1-yl)ethyl]docosanamide
		Y107	Idarubicin hydrochloride
		Y106	Malvidin 3-O-glucoside
		Y1	Triphenylstannyl 4-tert-butylbenzoate
		Y96	8-Methylthiooctyl glucosinolate
		Y98	N-(4-chlorophenyl)-2-[[5-[(2,6-dimethylphenoxy)methyl]-4-(4-

			methylphenyl)-1,2,4-triazol-3-yl]sulfanyl]acetamide
		Y99	Flutropium bromide
4	<i>Dialister</i>	Y155	Glyodin
		Y37	Dexamethasone palmitate
		Y88	Penmacric acid
5	<i>Lactobacillus</i>	Y14	(4e)-4-(hexadecylimino) pentanoic acid
		Y42	Trp Leu Arg Arg
		Y49	3-Oxo-octadec-4-enoic acid
		Y76	Suloctidil
		Y79	Asp Arg Arg Arg
		Y83	Lysophosphatidylcholine (22:2)

### บรรณานุกรม

1. Organization WH. Bench aids for the diagnosis of intestinal parasites: World Health Organization; 2019.
2. Bharti B, Bharti S, Khurana S. Worm infestation: Diagnosis, treatment and prevention. *The Indian Journal of Pediatrics*. 2018;85:1017-24.
3. Krücken J, Fraundorfer K, Mugisha JC, Ramünke S, Sifft KC, Geus D, et al. Reduced efficacy of albendazole against *Ascaris lumbricoides* in Rwandan schoolchildren. *International Journal for Parasitology: Drugs and Drug Resistance*. 2017;7:262-71.
4. Levecke B, Easton AV, Cools P, Albonico M, Ame S, Gilleard JS, et al. The optimal timing of post-treatment sampling for the assessment of anthelmintic drug efficacy against *Ascaris* infections in humans. *International Journal for Parasitology: Drugs and Drug Resistance*. 2018;8:67-9.
5. Shreiner AB, Kao JY, Young VB. The gut microbiome in health and in disease. *Current opinion in gastroenterology*. 2015;31:69.
6. Choi BS-Y, Daoust L, Pilon G, Murette A, Tremblay A. Potential therapeutic applications of the gut microbiome in obesity: from brain function to body detoxification. *International Journal of Obesity*. 2020;44:1818-31.
7. Chen MX, Wang S-Y, Kuo C-H, Tsai I-L. Metabolome analysis for investigating host-gut microbiota interactions. *Journal of the Formosan Medical Association*. 2019;118:S10-S22.
8. Tang Z-Z, Chen G, Hong Q, Huang S, Smith HM, Shah RD, et al. Multi-omic analysis of the microbiome and metabolome in healthy subjects reveals microbiome-dependent relationships between diet and metabolites. *Frontiers in Genetics*. 2019;10:454.
9. Carding S, Verbeke K, Vipond DT, Corfe BM, Owen LJ. Dysbiosis of the gut microbiota in disease. *Microbial ecology in health and disease*. 2015;26:26191.
10. Koh JH, Kim W-U. Dysregulation of gut microbiota and chronic inflammatory disease: from epithelial defense to host immunity. *Experimental & Molecular Medicine*. 2017;49:e337-e.
11. Roberts LS, Janovy Jr J, Gerald D, Schmidt e Larry S. Roberts' foundations of

- parasitology. Gerald D Schmidt e Larry S Roberts' foundations of parasitology. 2000;18:670-xviii.
12. Jiraamonninit C, Wongkamchai S, Santabutr W, Loymek S, Monkong N, Nochot H, et al. The prevalence of intestinal parasitic infections among schoolchildren with annual anthelmintic treatment in Narathiwat province, Thailand. *Age*. 2006;11:12.
  13. Waikagul J, Krudsood S, Radomyos P, Radomyos B, Chalemrut K, Jonsuksuntigul P, et al. A cross-sectional study of intestinal parasitic infections among schoolchildren in Nan Province, Northern Thailand. *Southeast Asian journal of tropical medicine and public health*. 2002;33:218-23.
  14. LÓw P, Molnár K, Kriska G. Atlas of animal anatomy and histology: Springer; 2016.
  15. Zeibig E. Clinical parasitology: A practical approach: Elsevier Health Sciences; 2014.
  16. Murray PR, Rosenthal KS, Pfaller MA. Medical microbiology E-book: Elsevier Health Sciences; 2020.
  17. Martel AJ. Tropical and geographical medicine. *JAMA*. 1991;266:1704-5.
  18. Read A, Sharping A. The evolution of tissue migration by parasitic nematode larvae. *Parasitology*. 1995;111:359-71.
  19. Price J, Leung J. Ultrasound diagnosis of *Ascaris lumbricoides* in the pancreatic duct: the “four-lines” sign. *The British Journal of Radiology*. 1988;61:411-3.
  20. Hesse AA, Nouri A, Hassan HS, Hashish AA, editors. Parasitic infestations requiring surgical interventions. *Seminars in pediatric surgery*; 2012: Elsevier.
  21. Katzung BG, Trevor AJ. Basic & clinical pharmacology. 2012.
  22. Sekirov I, Russell SL, Antunes LCM, Finlay BB. Gut microbiota in health and disease. *Physiological reviews*. 2010.
  23. Zheng D, Liwinski T, Elinav E. Interaction between microbiota and immunity in health and disease. *Cell research*. 2020;30:492-506.
  24. Rubel MA, Abbas A, Taylor LJ, Connell A, Tanes C, Bittinger K, et al. Lifestyle and the presence of helminths is associated with gut microbiome composition in Cameroonians. *Genome biology*. 2020;21:1-32.
  25. Slatko BE, Taylor MJ, Foster JM. The Wolbachia endosymbiont as an anti-filarial nematode target. *Symbiosis*. 2010;51:55-65.
  26. Janda JM, Abbott SL. 16S rRNA gene sequencing for bacterial identification in the

- diagnostic laboratory: pluses, perils, and pitfalls. *Journal of clinical microbiology*. 2007;45:2761-4.
27. Mestan KK, Ilkhanoff L, Mouli S, Lin S. Genomic sequencing in clinical trials. *Journal of Translational Medicine*. 2011;9:1-10.
28. Mardis ER. Next-generation DNA sequencing methods. *Annu Rev Genomics Hum Genet*. 2008;9:387-402.
29. Son MS, Taylor RK. Preparing DNA Libraries for Multiplexed Paired-End Deep Sequencing for Illumina GA Sequencers: Emerging Technologies. *Current protocols in microbiology*. 2011;20:1E. 4.1-E. 4.13.
30. Nicholson JK, Lindon JC. Metabonomics. *Nature*. 2008;455:1054-6.
31. Castro-Puyana M, Herrero M. Metabolomics approaches based on mass spectrometry for food safety, quality and traceability. *TrAC Trends in Analytical Chemistry*. 2013;52:74-87.
32. Ren S, Hinzman AA, Kang EL, Szczesniak RD, Lu LJ. Computational and statistical analysis of metabolomics data. *Metabolomics*. 2015;11:1492-513.
33. Horváth C. High-performance liquid chromatography: advances and perspectives. 2013.
34. Dass C. *Fundamentals of contemporary mass spectrometry*: John Wiley & Sons; 2007.
35. Allen DR, McWhinney BC. Quadrupole time-of-flight mass spectrometry: a paradigm shift in toxicology screening applications. *The Clinical Biochemist Reviews*. 2019;40:135.
36. Bolyen E, Rideout JR, Dillon MR, Bokulich NA, Abnet CC, Al-Ghalith GA, et al. Reproducible, interactive, scalable and extensible microbiome data science using QIIME 2. *Nature biotechnology*. 2019;37:852-7.
37. Rognes T, Flouri T, Nichols B, Quince C, Mahé F. VSEARCH: a versatile open source tool for metagenomics. *PeerJ*. 2016;4:e2584.
38. Edgar RC, Haas BJ, Clemente JC, Quince C, Knight R. UCHIME improves sensitivity and speed of chimera detection. *Bioinformatics*. 2011;27:2194-200.
39. Segata N, Izard J, Waldron L, Gevers D, Miropolsky L, Garrett WS, et al. Metagenomic biomarker discovery and explanation. *Genome biology*. 2011;12:1-18.

40. Swift ML. GraphPad prism, data analysis, and scientific graphing. *Journal of chemical information and computer sciences*. 1997;37:411-2.
41. Adusumilli R, Mallick P. Data conversion with ProteoWizard msConvert. *Proteomics: Springer*; 2017:339-68.
42. Tautenhahn R, Patti GJ, Rinehart D, Siuzdak G. XCMS Online: a web-based platform to process untargeted metabolomic data. *Analytical chemistry*. 2012;84:5035-9.
43. Tautenhahn R, Böttcher C, Neumann S. Highly sensitive feature detection for high resolution LC/MS. *BMC bioinformatics*. 2008;9:1-16.
44. Pang Z, Chong J, Zhou G, de Lima Morais DA, Chang L, Barrette M, et al. MetaboAnalyst 5.0: narrowing the gap between raw spectra and functional insights. *Nucleic acids research*. 2021;49:W388-W96.
45. Li S, Park Y, Duraisingham S, Strobel FH, Khan N, Soltow QA, et al. Predicting network activity from high throughput metabolomics. *PLoS computational biology*. 2013;9:e1003123.
46. McSorley HJ, Maizels RM. Helminth infections and host immune regulation. *Clinical microbiology reviews*. 2012;25:585-608.
47. Wang Y, Liu F, Urban Jr JF, Paerewijck O, Geldhof P, Li RW. *Ascaris suum* infection was associated with a worm-independent reduction in microbial diversity and altered metabolic potential in the porcine gut microbiome. *International journal for parasitology*. 2019;49:247-56.
48. Vaiserman A, Romanenko M, Piven L, Moseiko V, Lushchak O, Kryzhanovska N, et al. Differences in the gut Firmicutes to Bacteroidetes ratio across age groups in healthy Ukrainian population. *BMC microbiology*. 2020;20:1-8.
49. Shin N-R, Whon TW, Bae J-W. Proteobacteria: microbial signature of dysbiosis in gut microbiota. *Trends in biotechnology*. 2015;33:496-503.
50. White EC, Houlden A, Bancroft AJ, Hayes KS, Goldrick M, Grencis RK, et al. Manipulation of host and parasite microbiotas: Survival strategies during chronic nematode infection. *Science advances*. 2018;4:eaap7399.
51. Rosa BA, Supali T, Gankpala L, Djuardi Y, Sartono E, Zhou Y, et al. Differential human gut microbiome assemblages during soil-transmitted helminth infections in Indonesia and Liberia. *Microbiome*. 2018;6:1-19.

52. Kay GL, Millard A, Sergeant MJ, Midzi N, Gwisai R, Mduluza T, et al. Differences in the faecal microbiome in *Schistosoma haematobium* infected children vs. uninfected children. *PLoS neglected tropical diseases*. 2015;9:e0003861.
53. Jenkins TP, Rathnayaka Y, Perera PK, Peachey LE, Nolan MJ, Krause L, et al. Infections by human gastrointestinal helminths are associated with changes in faecal microbiota diversity and composition. *PLoS One*. 2017;12:e0184719.
54. Giacomini P, Zakrzewski M, Jenkins TP, Su X, Al-Hallaf R, Croese J, et al. Changes in duodenal tissue-associated microbiota following hookworm infection and consecutive gluten challenges in humans with coeliac disease. *Scientific reports*. 2016;6:1-10.
55. Cooper P, Walker AW, Reyes J, Chico M, Salter SJ, Vaca M, et al. Patent human infections with the whipworm, *Trichuris trichiura*, are not associated with alterations in the faecal microbiota. *PloS one*. 2013;8:e76573.
56. Perdigon G, Maldonado Galdeano C, Valdez J, Medici M. Interaction of lactic acid bacteria with the gut immune system. *European journal of clinical nutrition*. 2002;56:S21-S6.
57. Vitetta L, Llewellyn H, Oldfield D. Gut dysbiosis and the intestinal microbiome: *Streptococcus thermophilus* a key probiotic for reducing uremia. *Microorganisms*. 2019;7:228.
58. Kim S, You S, Hwang D. Aminoacyl-tRNA synthetases and tumorigenesis: more than housekeeping. *Nature Reviews Cancer*. 2011;11:708-18.
59. Park SG, Schimmel P, Kim S. Aminoacyl tRNA synthetases and their connections to disease. *Proceedings of the National Academy of Sciences*. 2008;105:11043-9.
60. Alfarouk KO, Ahmed S, Elliott RL, Benoit A, Alqahtani SS, Ibrahim ME, et al. The pentose phosphate pathway dynamics in cancer and its dependency on intracellular pH. *Metabolites*. 2020;10:285.
61. Van Eerden FJ, Melo MN, Frederix PW, Periole X, Marrink SJ. Exchange pathways of plastoquinone and plastoquinol in the photosystem II complex. *Nature communications*. 2017;8:1-8.
62. Hulan H, Kramer J, Mahadevan S, Sauer F, Corner A. Relationship between erucic acid and myocardial changes in male rats. *Lipids*. 1976;11:9-15.

63. Cravatt BF, Prospero-Garcia O, Siuzdak G, Gilula NB, Henriksen SJ, Boger DL, et al. Chemical characterization of a family of brain lipids that induce sleep. *Science*. 1995;268:1506-9.
64. Innih SO, Agu KC, Eze GI. Immunomodulatory and hepatoprotective properties of *Solanum torvum* (Turkey berry). *Sahel Medical Journal*. 2018;21:13.
65. García-Gaytán V, Sánchez-Rodríguez E, Ordaz-Ortiz JJ, Montero-Vargas JM, Alonso-Pérez O, Rojas-Abarca L, et al. Novel determination on root-knot nematodes; microspace, mineral profile and transduction of metabolic signals in tomato. *bioRxiv*. 2019:851832.
66. Jeller AH, Silva DHS, Lião LM, da Silva Bolzani V, Furlan M. Antioxidant phenolic and quinonemethide triterpenes from *Cheiloclinium cognatum*. *Phytochemistry*. 2004;65:1977-82.





## ประวัติผู้เขียน

ชื่อ-สกุล	ปวิช กลมเกลียว
วัน เดือน ปี เกิด	23 มกราคม 2539
สถานที่เกิด	กรุงเทพมหานคร
วุฒิการศึกษา	วิทยาศาสตรบัณฑิต (วท.บ.)
ที่อยู่ปัจจุบัน	เลขที่ 197 ซอยนราธิวาสราชนครินทร์ 6 แขวงยานนาวา เขตสาทร กรุงเทพมหานคร 10120
ผลงานตีพิมพ์	นำเสนอผลงานวิจัยในรูปแบบตีพิมพ์ในวารสารทางการแพทย์ PLOS Neglected Tropical Diseases เรื่อง "Gut Bacteriome and metabolome of <i>Ascaris lumbricoides</i> in patients"

